

РД 13678

14. IX 1990.

UNIVERZITET U BEOGRADU  
PRIRODNO-MATEMATIČKI FAKULTET

SVOJSTVA *in vitro* KONSTRUI SANIH ELEMENATA DNK ODGOVORNIH ZA AKTIVNOST GENA KLONIRANIH U *Escherichia coli*

-osobine novog *Pstl* promotora-

DOKTORSKA DISERTACIJA



Miroslav Konstantinović

BEOGRAD, 1990.

## *Veci i deci*

Съществува и мнение, че въвеждането на нови закони ще създава проблеми за съдебната система и ще доведе до погрешни решения от съдите.

Д-р Михаил Сакаров: Всички правни позиции, които са дадени, са правдиви и обосновани. Съдът е обявен за независим, а неговите решения трябва да са правдиви и обосновани. Това не е право, което да се приема, а е фундаментална принципиална концепция на правосъдието.

Д-р Симеон Симеонов: Ние сме склонни да съгласим с тези изказвания, но също така съществува и друга точка на гледане. Единствено външните съдии трябва да са независими.

Д-р Георги Георгиев: Съдът е обявен за независим, но това не означава, че той е независим от всички, които са съдии.

Д-р Георги Георгиев: Съдът е обявен за независим, но това не означава, че той е независим от всички, които са съдии.

Д-р Георги Георгиев: Съдът е обявен за независим, но това не означава, че той е независим от всички, които са съдии.

Д-р Георги Георгиев: Съдът е обявен за независим, но това не означава, че той е независим от всички, които са съдии.

Д-р Георги Георгиев: Съдът е обявен за независим, но това не означава, че той е независим от всички, които са съдии.

Д-р Георги Георгиев: Съдът е обявен за независим, но това не означава, че той е независим от всички, които са съдии.

mogućnost je da se gen sa sopstvenim inicijacionim kodonom ubaci pored prirodnog mesta vezivanja ribozoma iz *E. coli* ili sintetisanog RBS (Backman et al., 1976; Jay et al., 1981).

Kako strukturne odlike koje utiču na stabilnost proteina u *E. coli* nisu dovoljno poznate, daleko je teže kontrolisati proteinsku modifikaciju i stabilnost. Pokazano je da se eukariotske signalne sekvene prepoznaju u *E. coli* i da NH<sub>2</sub>-terminalna fuzija eukariotskog polipeptida sa signalnom sekvenom *E. coli* rezultuje u sekreciji proteina u periplazmu posle čega dolazi do isecanja signalne sekvene (Talmadge et al., 1980a, 1980b). Postoje takođe podaci da su kratki strani polipeptidi nestabilni u *E. coli* (Itakura et al. 1977; Goeddel et al., 1979). Ovaj značajan nedostatak je otklonjen fuzionisanjem peptida za veći protein *E. coli*.

Efikasna ekspresija kloniranih gena najpre zahteva efikasnu specifičnu transkripciju DNK, zatim translaciju iRNK, i konačno u nekim slučajevima, post-translacionu modifikaciju rezultujućeg proteina. U ovom radu najviše pažnje ćemo posvetiti elementima i faktorima koji kontrolišu transkripciju kloniranog gena. Transkripcija je prvi događaj u lancu preko kojeg se genetička informacija eksprimira kao molekul novosintetisanog proteina. Događaji koji učestvuju u dobijanju transkripta nekog gena mogu se podeliti na: inicijaciju transkripcije, produženje transkripta i terminaciju transkripcije.

## 1.2. TRANSKRIPCIJA

Regulacija formiranja transkripta je najdirektniji put selektivne kontrole genske ekspresije. Ona postoji kako na nivou inicijacije transkripcije tako i u kasnijim događajima transkripcionog procesa.

Od sve tri faze procesa transkripcije, inicijacija je najbolje razjašnjena i uopšteno predstavlja sledeće korake:

Eksperimenti prikazani u ovoj tezi urađeni su u Laboratoriji za genetičko inženjerstvo RO Galenika i Institutu za molekularnu genetiku i genetičko inženjerstvo pod neposrednim rukovodstvom dr Vladimira Glišina.

Dr Vladimiru Glišinu dugujem posebnu zahvalnost zbog pomoći i dragocenih saveta, a naročito zbog kritičke analize rezultata od početka izrade ovog rada pa, do konačne redakcije disertacije. Takodje mu zahvaljujem što me je uveo u izazovnu oblast genetičkog inženjerstva.

Dr Dragutinu Saviću zahvaljujem na angažovanju, korisnim sugestijama, primedbama i savetima tokom pisanja ove disertacije.

Dr Radomiru Crkvenjakovu dugujem zahvalnost za dragocene savete i pomoć u prvim fazama izrade ovog rada.

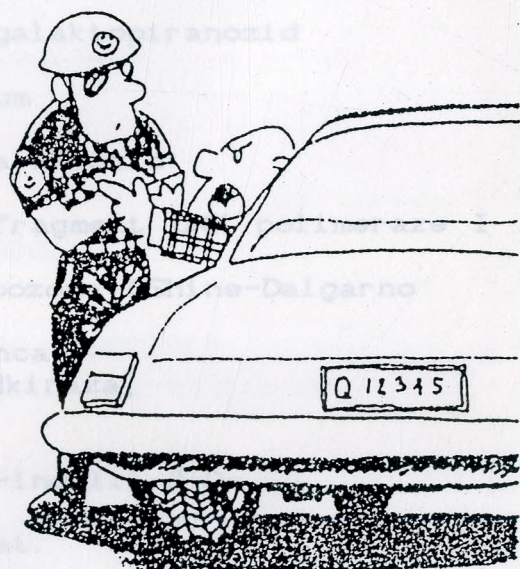
Koleginici mr Vesni Maksimović dugujem posebnu zahvalnost za nesebično angažovanje oko realizacije prvih eksperimenata i neprekidne podrške za dovršenje ovog rada.

Kolegi dr Radoju Drmancu toplo zahvaljujem na korisnim savetima tokom izrade ovog rada kao i na pomoći oko prikupljanja literature.

Iskreno zahvaljujem koleginici dr Zvezdani Popović za konstruktivne razgovore koji su ubrzali završavanje ovog rada, kao i na stvaranju dobre naučne atmosfere u Laboratoriji za Čelijsku diferencijaciju.

Posebno želim da se zahvalim koleginici mr Gordani Nikčević bez čijeg eksperimentalnog izvođenja testa za dokazivanje prisustva interferona, tumačenje dela rezultata iznesenih u ovom radu ne bi bilo izvodljivo.

Dugujem zahvalnost i svim ostalim koleginicama i kolegama koji su mi na bilo koji način pomogli u izradi i finalizaciji ovog rada.



1988 Wilas

"I had absolutely no idea that it was a  
stop sign."

Skracenice:

$\beta$ -Gal,  $\beta$ -galaktozidaza  
bla,  $\beta$ -laktamaza  
bp, bazni par  
 $\beta$ ME,  $\beta$ -merkaptetoetanol  
CAP, katabolički aktivirajući faktor  
CIAP, alkalna fosfataza iz creva teleta (calf intestinal alkaline phosphatase)  
DMS, dimetilsulfat  
DMSO, dimetilsulfoksid  
DTT, ditiotreitol;  
EDTA, etileniamintetrasircetna kiselina  
EGTA, etilenbis(oksietilenitriilo)tetrasircetna kiselina  
IF,  $\beta$ -interferon;  
IPTG, isopropil- $\beta$ -D-tiogalaktopiranozid  
iRNK, informaciona RNK  
LB, Luria Bertani medijum  
NTP, nukleotidtrifosfat  
ONPG, o-nitrofenil- $\beta$ -D-galaktozid  
ori, origin replikacije  
PolIk, Klenow (veliki) fragment DNK polimeraze I iz *E. coli*;  
RBS, mesto vezivanja ribozoma (Shine-Dalgarno sekvenca)  
SD, Shine-Dalgarno sekvenca  
T4 PNK, T4 polinukleotidkinaza;  
Tc, tetraciklin;  
*t*, terminator;  
X-Gal, 5-bromo-4-hloro-3-indolil- $\beta$ -D-galaktopiranozid;  
SDS, natrijumdodecilsulfat.

1.	<b>UVOD</b>	1
1.1.	PROBLEMI KOJI SE SREĆU KOD EKSPRESIJE EUKARIOTSKE DNK U <i>E. coli</i>	1
1.2.	<b>TRANSKRIPCIJA</b>	4
1.2.1.	<u>Vezivanje polimeraze RNK (stvaranje otvorenog kompleksa promotor-polimeraza)</u>	5
1.2.2.	<u>Pozitivna regulacija</u>	7
1.2.3.	<u>Negativna regulacija</u>	9
1.2.4.	<u>Kontrola inicijacije transkripcije represorom</u>	10
1.2.5.	<u>Producenje transkripta</u>	11
1.2.6.	<u>Terminacija transkripcije</u>	13
1.3.	<b>TRANSLACIJA</b>	14
1.4.	<b>PROMOTORI</b>	16
1.4.1.	<u><i>lacUV5</i> promotor</u>	16
1.4.2.	<u><i>P<sub>L</sub></i> promotor faga lambda</u>	18
1.4.3.	<u><i>trp</i> promotor</u>	19
1.4.4.	<u>Hibridne konstrukcije promotora</u>	19
1.5.	<b>KONSTRUISANJE EFIKASNOG EKSPRESIONOG SISTEMA</b>	21
1.5.1.	<u>Osnovni dizajn ekspresionog vektora</u>	22
1.5.2.	<u>Uklapanje mesta vezivanja ribozoma</u>	23
1.5.3.	<u>Formiranje restrikcionih mesta u tački fuzije</u>	24
1.5.4.	<u>Delecijska specifičnih sekvenci DNK pomoću eqzonukleaze Bal 31</u>	24
2.	<b>CILJ ISTRAŽIVANJA</b>	25
3.	<b>MATERIJAL I METODE</b>	27
3.1.	<b>MATERIJAL</b>	27
3.1.1.	<u>Sojevi <i>E. coli</i> i plazmidi</u>	27
3.1.2.	<u>DNK</u>	28
3.1.3.	<u>Restrikcioni enzimi</u>	28
3.1.4.	<u>Radioizotopi</u>	28
3.1.5.	<u>Enzimi</u>	29
3.1.6.	<u>Hemikalije</u>	29

<b>3. 2.</b>	<b>METODE</b>	<b>30</b>
<b>3. 2. 1.</b>	<u>Uzgajanje bakterijskih kultura</u>	30
<b>3. 2. 2.</b>	<u>Izolovanje plazmidne DNK</u>	30
<b>3. 2. 2. 1.</b>	<u>Izolovanje manjih količina plazmidne DNK za analitičke svrhe = "Mini Prep" (1-20 µg)</u>	30
<b>3. 2. 2. 2.</b>	<u>Preparativno izolovanje plazmidne DNK u većim količinama za konstruisanje vektora i kloniranje</u>	31
<b>3. 2. 2. 3.</b>	<u>Modifikovana metoda izolovanja plazmidne DNK pomoću gradijenta sa cezijumhloridom</u>	33
<b>3. 2. 3.</b>	<u>Digestija plazmidne DNK restrikcionim endonukleazama</u>	34
<b>3. 2. 4.</b>	<u>Digestija DNK nukleazom Bal 31</u>	34
<b>3. 2. 5.</b>	<u>Defosforilacija 5' krajeva DNK alkalnom fosfatazom</u>	35
<b>3. 2. 6.</b>	<u>Popunjavanje uvučenih 3' krajeva DNK pomoću velikog fragmenta polimeraze I DNK (Klenow fragment)</u>	36
<b>3. 2. 7.</b>	<u>Ligacija DNK</u>	36
<b>3. 2. 8.</b>	<u>Transformacija <i>E. coli</i> plazmidnom DNK</u>	37
<b>3. 2. 9.</b>	<u>Elektroforeza DNK na gelu od agaroze</u>	38
<b>3. 2. 10.</b>	<u>Izolovanje i prečišćavanje DNK elektroforezom na gelu od poliakrilamida</u>	39
<b>3. 2. 10. 1.</b>	<u>Prečišćavanje sintetisanih deoksioligonukleotida na gelu od poliakrilamida</u>	41
<b>3. 2. 11.</b>	<u>Prečišćavanje DNK</u>	42
<b>3. 2. 11. 1</b>	<u>Sephadex G-50</u>	42
<b>3. 2. 11. 2.</b>	<u>Prečišćavanje DNK adsorpcijom na staklenim vlaknima</u>	43
<b>3. 2. 12.</b>	<u>Radioaktivno obeležavanje DNK</u>	44
<b>3. 2. 13.</b>	<u>Autoradioografija</u>	45
<b>3. 2. 14.</b>	<u>Određivanje primarne strukture (sekvenciranje) DNK</u>	46
<b>3. 2. 15.</b>	<u>Hemiska sinteza oligodeoksinukleotida</u>	47
<b>3. 2. 16.</b>	<u>Određivanje aktivnosti β-galaktozidaze</u>	47
<b>3. 2. 17.</b>	<u>Određivanje biološke aktivnosti humanog β-interferona</u>	49

4.	<b>REZULTATI</b>	50
4. 1.	<u>Deleci ja egzonukleazom Bal 31 5' uvodnog regulatornog regiona i regiona koji kodira za signal peptid <math>\beta</math>-interferona</u>	50
4. 2.	<u>Analiza klonova ekspresionog vektora s tac promotorom</u>	52
4. 3.	<u>Konstruisanje ekspressionog plazmida s tac promotorom, genom za <math>\beta</math>-interferon i trpA terminatorom.</u>	55
4. 4.	<u>Konstruisanje ekspressionog plazmida sa novim hibridnim P<sub>L</sub>l promotorom</u>	56
4. 5.	<u>Ekspresija gena za humani <math>\beta</math>-interferon pod kontrolom hibridnih tac i P<sub>L</sub>l promotora</u>	58
4. 6.	<u>Ekspresija <math>\beta</math>-interferon-lacZ genskih fuzija pod kontrolom hibridnih tac i P<sub>L</sub>l promotora</u>	60
4. 7.	<u>Efekat temperature na nivo ekspresije kloniranih gena</u>	64
5.	<b>DISKUSIJA</b>	66
5. 1.	<u>Obrada kloniranog gena humanog <math>\beta</math>-interferona za konstrukciju ekspressionog vektora</u>	67
5. 2.	<u>Ekspresija gena za humani <math>\beta</math>-interferon</u>	68
5. 3.	<u>Ekspresija <math>\beta</math>-interferon-lacZ genskih fuzija</u>	71
5. 4.	<u>Uticaj orijentacije kloniranog c1857 gena na nivo aktivnosti <math>\beta</math>-galaktozidaze pod kontrolom P<sub>L</sub>l promotora</u>	75
5. 5.	<u>Efekat temperature na nivo ekspresije kloniranih gena</u>	78
6.	<b>ZAKLJUČCI</b>	80
7.	<b>LITERATURA</b>	82
8.	<b>DODATAK</b>	94
8. 1.	<u>Fizičke mape plazmida</u>	
8. 2.	<u>Sekvence DNK</u>	

## 1. UVOD

Tehnika *in vitro* rekombinacije DNK i mogućnost transformacije i transfekcije pogodne ćelije domaćina sa rekombinantrnim vektorima omogućila je da se za nепune dve decenije prikupe značajna saznanja neophodna za razjašnjavanje strukture i funkcije genoma mnogih organizama. Zahvaljujući ovim potpuno novim tehnikama, postalo je sasvim izvodljivo da se neki gen ne samo prenese u novi organizam, već da se i efikasno eksprimira ukoliko se stavi pod kontrolu genetičkih regulatornih elemenata novog domaćina.

Ovim rezultatima su omogućeni novi pristupi fundamentalnim istraživanjima. Visoka efikasnost tehnika kloniranja i ekspresije gena je učinila dostupnim da se, osim fundamentalnih aspekata, sagleda i komercijalna strana mogućnosti proizvodnje velikih količina specifičnih proteinâ u različitim ćelijama domaćinima.

### 1.1. PROBLEMI KOJI SE SREĆU KOD EKSPRESIJE EUKARIOTSKE DNK U *E. coli*

*Escherichia coli* je najviše korišćena za ekspresiju stranih gena jer se o njenim mehanizmima kontrole genske ekspresije daleko više zna nego što je to slučaj kod drugih organizama.

Zadovoljavajuća ekspresija eukariotskog gena u *E. coli* podrazumeva da je ćelijska mašinerija tako organizovana da omogući bar isti ili i bolji nivo ekspresije nego kod prirodne varijante. Za razliku od gena poreklom iz prokariota, postojanje interventnih (intronskih) sekvenci kod eukariota koje prekidaju kodirajuće sekvence, zahteva mehanizam obrade primarnog transkripta, pri čemu se dobija

obradena iRNK pogodna za translaciju. Kod prokariotskih gena nema introna, pa enzimi koji obavljaju funkciju obrade primarnog transkripta i ne postoje. Prema tome, genomska DNK eukariota u opštem smislu i ne može da se direktno koristi za ekspresiju u bakterijskoj ćeliji.

Dalje, transkripcioni signali kod eukariota se razlikuju od prokariota tako da ih bakterijska polimeraza RNK najčešće ne raspoznaje (Corden et al. 1980; Breathnach i Chambon, 1981).

Takođe se i struktura iRNK eukariota razlikuje od bakterijske. Eukariotska iRNK je poliadenilovana na 3' kraju i obično "kapovana" (capped) na 5' kraju - karakteristike koje mogu da utiču na stabilnost iRNK i vezivanje ribozoma (Breathnach i Chambon, 1981). Pored toga, iRNK kod eukariota izgleda da nema ekvivalent za SD sekvencu (Shine-Dalgarno) koja je prisutna kod iRNK prokariota (Kozak, 1981).

Dodatni problem predstavlja upotreba kodona. Kodoni informacione RNK, koji šifruju za dobro eksprimiran gen kod prokariota, nisu slučajni. Postoji značajan prioritet za određene kodone nekih aminokiselina (Grantham et al., 1981, Grosjean i Fiers 1982, Gouy i Gautier, 1982). Ikemura je 1981. pokazao korelaciju između zastupljenosti kodona kod iRNK i nivoa određenih tRNK u ćeliji. Kako je prioritet za kodone različit kod gena poreklom iz eukariota, moguće je da će nivo određenih tRNK uticati na efikasnost translacije tih gena u sistemu prokariota.

Konačno, poznato je da mnogi eukariotski proteini podležu posttranslacionoj modifikaciji od koje uveliko može da zavisi stabilnost ili aktivnost datog proizvoda. Većina tih modifikacija ne postoji u prokariotskom sistemu.

Da bi se prebrodili svi ti problemi primenjene su mnoge taktike. Kada je poznata sekvenca aminokiselina, moguće je hemijski sintetisati sekvencu DNK koja će kodirati za protein, a da interventne sekvene nisu uključene, pri čemu treba imati u vidu prioritet za određene kodone. Primer je

hemijjska sinteza gena za  $\alpha$ -interferon dužine od 514 bp koji kodira za protein od 166 aminokiselina (Edge et al., 1981). Mada teoretski ne postoji ograničenje za veličinu gena koji može da se hemijski sintetiše, za prevelike gene je jednostavnije izolovati dvolančanu DNK (cDNK), kopiju iRNK i klonirati u plazmidni vektor. Danas je svakako moguće dobiti oligodeoksinukleotid i od 250 baza upotrebljom novih CPG (controlled pore glass) kolona automatizovanom hemijskom sintezom u dobrom prinosu, pa je hemijska sinteza nekog gena čak i od 2kb sasvim izvodljiva.

Transkripcija ovakvih gena je kontrolisana ubacivanjem DNK uz jak prokariotski promotor u ekspresionom vektoru. Sekvence DNK nazvane promotorima predstavljaju one regije na molekulima DNK koji signaliziraju početak transkripcije informacione RNK - omogućavaju interakciju DNK i polimeraze RNK. Promotori koji su najčešće eksploatisani za ekspresiju kloniranih gena, to jest, osnovni elementi njihove kontrole, biće kasnije pojedinačno opisani. Najčešći korišćeni promotori za ovakve svrhe su: lac promotor iz *E. coli* lac operona, trp promotor iz *E. coli* trp operona i PL promotor faga lambda.

Transkripciona terminacija se može omogućiti postavljanjem transkripcionog terminadora iza kloniranog gena (Nakamura i Inouye, 1982). Mada posledice neprekinute transkripcije na malim cirkularnim plazmidima nisu poznate, verovatno mogu da budu štetne jer većina ekspresionih vektora sadrži i druge gene kao što je, recimo, gen za rezistenciju na antibiotik. Poznato je da trp promotor negativno utiče na transkripciju gena faga lambda ukoliko mu je orijentacija usmerena ka transkriptu koji dolazi sa PL promotora (Hopkins et al., 1976).

Problemi translacije su donekle rešeni na dva načina. Strani gen može da se fuzioniše sa prokariotskim genom u korektnom okviru čitanja tako da se inicijacija translacije obavlja preko postojećeg mesta vezivanja ribozoma. Druga

a) vezivanje polimeraze RNK prepoznavanjem određene sekvene, obično smeštene na početku operona, koja se zove promotor, b) "relaksiranje" dela promotora (odmotava se dvolančana DNK) da bi se omogućio odgovarajući kontakt polimeraze RNK sa lancem DNK koji služi kao matrica i c) polimerizacija prvih nekoliko nukleotida nascentne RNK.

#### 1.2.1. Vezivanje polimeraze RNK (stvaranje otvorenog kompleksa promotor-polimeraza)

Fiziološki korektan transkripcioni događaj nastaje kada polimeraza (holoenzim) prepozna sekvenu na promotoru, posle čega sledi parcijalno odvijanje promotora i kao rezultat tog procesa nastaje otvoreni kompleks promotor-polimeraza. Opseg odvijenog regiona može da varira među promotorima i prosečne je dužine oko 12 nukleotida, približno u regionu -9 do +3 (Kirkegaard et al. 1983).

Od trenutka stvaranja otvorenog kompleksa, polimeraza počinje da spaja nukleotide i da formira nascentni transkript. Ova faza u transkripciji je poznata kao faza "odbacivanja", jer u zavisnosti od promotora kod enzima može da postoji čak i 50% verovatnoće da će proces polimerizacije biti prekinut. To se događa ili odvajanjem sa DNK ili vraćanjem u stanje otvorenog kompleksa (Carpousis i Gralla, 1980). Nije poznato zašto polimeraza pokazuje tako jaku tendenciju da prekine proces transkripcije. U funkcionalnom smislu ovaj događaj može da ima regulatornu ulogu (Reznikoff et al., 1982).

Analizom sekvenci DNK 168 definisanih promotora *E. coli* u regionu -50 do +10 (Hawley i McClure, 1983) definisana su dva regiona sa homologijom smeštена približno 35 i 10 baznih parova (" -35" TTGACA i " -10" TATAAT Rosenberg i Court 1979, Siebenlist et al. 1980) uzvodno od početka transkripcije iRNK, a za koje se smatra da predstavljaju regije najtešnje uključene u vezivanje i orijentaciju polimeraze preko sigma faktora, tako da inicijacija sinteze počinje nizvodno. Opšti

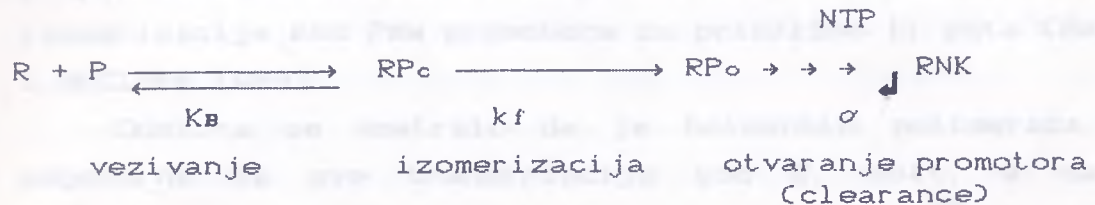
izgled jedne "idealne" konsenzus promotorske sekvene je sledeći:

TTGACA-17bp-TATAAT-5-9bp-iRNK start

Hawley i McClure (1983) definišu "-35" i "-10" regione sa po tri bazna para: TTG--- za "-35" i TA---T za "-10". Mutacije koje daju bolju aktivnost promotora najčešće, umesto nekonsenzus, uspostavljaju konsenzuz sekvencu na datoј poziciji, dok one koje smanjuju njegovu aktivnost, konsenzus sekvene uglavnom pretvaraju u nekonsenzus. Utvrđeno je da rastojanje između "-10" i "-35" regiona ima znatan uticaj na efikasnost promotora (Mandecki i Reznikoff, 1982; Stefano i Gralla, 1982; Russell i Bennett, 1982). Takođe je utvrđeno da kod svih promotora čija je primarna struktura određena, ovo rastojanje iznosi između 15 i 18 bp, a da je ono najčešće 17bp (Siebenlist et al. 1980; Rosenberg i Court, 1979). Frekvenca inicijacije transkripcije kod *E. coli* može da varira za preko četiri reda veličine, od gena koji se transkribuju samo jedanput u generaciji, pa do gena koji se transkribuju jedanput svake sekunde (McClure, 1985).

Utvrđeno je da AT-bogati blokovi uzvodno od "-35" sekvene kod nekih jakih promotora, kao što su *trp*, *lpp*, *P<sub>L</sub>*, znatno utiču na njihovu visoku aktivnost. (Nakamura i Inouye, 1979; Vollenweider et al., 1979; Horn, i Wells, 1981. a i b; Lamond, i Travers, 1983; Gourse, et al. 1986; ; Nishi i Itoh, 1986; Plaskon, i Wartell, 1987; Bauer et al., 1988). Pokazano je, na primer, da prisustvo AT-bogatih regiona kod *trp* promotora u oblasti -55 do -85 takođe može da predstavlja važan faktor koji određuje snagu promotora (De Boer et al., 1979, Nakamura i Inouye, 1979). Drugi autori pokazuju da delecijom ovih sekvenci iz *trp* promotora i ubacivanjem AT bogatih sekvenci poreklom iz *P<sub>L</sub>* promotora faga λ postižu 6 puta viši nivo ekspresije kloniranog gena (Nishi i Itoh, 1986)

Formiranje otvorenog kompleksa se opisuje interakcijom polimeraze RNK sa promotorom (Chamberlin, 1974):



Prvi korak se definiše konstantom ravnoteže  $K_B$ , a drugi, koji je spor, nazvan je izomerizacija i definisan je konstantom brzine  $k_f$  (McClure, 1980). Uopšteno, mutacije na promotoru mogu da utiču na konstantu  $K_B$  ili  $k_f$ , ili na obe (McClure, 1985), ali mutacije u "-10" regionu prvenstveno utiču na brzinu izomerizacije. *In vitro* analizama je pokazano da oba koraka u formiranju otvorenog kompleksa imaju uticaja na jačinu promotora *in vivo*, što navodi na mogućnost da u okviru promotorske sekvence postoji za svaku poziciju hijerarhija prioriteta baznog para (McClure et al., 1983). Jednu ovakvu analizu su pokušali da urade Mulligan et al. (1984) praveći korelaciju stepena homologije sa konsenzus sekvencom i jačinom promotora. Statističkom obradom pojavljivanja određenih baznih parova u svakoj poziciji na promotoru dobijeno je iznenadujuće dobro slaganje.

### 1.2.2. Pozitivna regulacija.

Kada se učešćem nekog faktora povećava aktivnost promotora, govori se o pozitivnoj regulaciji.

Ovaj vid regulacije može da poveća osnovnu jačinu promotora pomoću nekoliko mehanizama: interakcijom sa proteinom aktivatorom, korišćenjem novog  $\sigma$  faktora za polimerazu RNK, menjanjem konformacije DNK, stanjem metilacije DNK, preko interakcije malih molekula sa promotorom ili polimerazom RNK.

Proteini aktivatori se najčešće vezuju u blizini "-35" regiona i povećavaju brzinu formiranja otvorenog kompleksa



polimeraze RNK na promotoru (Raibaud i Schwartz, 1984). Tako je pokazano da aktivator, CI protein faga  $\lambda$ , povećava brzinu izomerizacije kod PRM promotora za približno 11 puta (Hawley i McClure 1983).

Doskora se smatralo da je holoenzim polimeraza RNK odgovorna za sve transkripcije kod *E. coli*, a da je sačinjena od  $\alpha\beta\beta'$ α subjedinica nazvanih E $\sigma^{70}$  i da ih kodiraju geni *rpoA*, *rpoB*, *rpoC* i *rpoD*. Ovakvo gledište je izmenjeno, pošto je utvrđeno da proizvod *htpR* gena funkcioniše združeno sa "core" polimerazom RNK ( $\alpha\beta\beta'$ ) da bi se specifično diktirala sinteza sa promotoru za topotni šok (Grossman et al. 1984).

Što se tiče promene u konformaciji DNK i uticaja na pozitivnu regulaciju transkripcije, postoji primer korelacije između promene konformacije DNK i pozitivnog efekta na jačinu promotora. Bossi i Smith (1984) su izolovali iz bakterije *Salmonella typhimurium* promotor za tRNK<sup>his</sup> sa delecijom od 3 bazna para u poziciji -71 do -73 i dobili smanjenje funkcije promotora za 2,5 puta kako *in vivo* tako i u *in vitro* sistemu. Osim toga utvrdili su i neobična fizička svojstva nemutiranog promotora. Poredeći elektroforetske mobilnosti fragmenata DNK koji sadrže promotore, utvrdili su, da za razliku od mutiranog promotora, koji ima očekivanu mobilnost na gelu od poliakrilamida, promotor divljeg tipa pokazuje neuobičajeno nisku pokretljivost. Takođe je utvrđeno da interakcija CAP sa DNK rezultuje u uvijanju DNK (Wu i Crothers, 1984).

Efekat na određene promotore izazvan je i superspiralizacijom DNK. Iz superspiralizacije DNK može da proistekne povećan ili smanjen afinitet vezivanja proteina aktivatora. Tako je pokazano (Sanzey 1979) da je većina promotora koji se aktiviraju preko CAP-cAMP kompleksa osetljiva na faktore koji inaktiviraju girazu DNK.

Stanjem metilacije DNK se reguliše ekspresija mnogih gena kod *E. coli*, ali je tek nedavno prikazan direktn

efekat metilacije na interakciju polimeraze RNK sa promotorom (Roberts et al. 1985). Utvrđeno je za promotore *E. coli*, koji u "-35" regionu imaju karakterističnu sekvencu "GATC" (*trpR*, *sulA*) podložnu metilaciji (6-meAdE), da je njihova transkripcija povećana dva do šest puta kod *dam*<sup>-</sup> mutanta (deficitarnost za metilaciju adenina) u odnosu na *dam*<sup>+</sup> domaćina. Nasuprot ovome, *mom* promotor koji ne sadrži mesto za *dam* metilaciju, ali se nalazi nizvodno od skupine od tri *dam* mesta, pokazuje dvadeset puta nižu transkripciju kod *dam*<sup>-</sup> mutanta nego kod *dam*<sup>+</sup> domaćina (Sternberg, 1985).

Uloga malih molekula u regulaciji inicijacije transkripcije je otvoreno pitanje. Mada nije pokazano da postoji direktni efekat, ima indikacija o pozitivnom efektu malog ppGpp molekula na neke operone, kao što je *his* operon *S. typhimurium* (Stephens et al. 1975). Travers (1980) pokazuje da u njegovom *in vitro* sistemu 20-40 μM ppGpp stimuliše transkripciju divljeg tipa gena za tRNK<sup>tyr</sup>, ali nije izvesno da li istovremeno postoji stimulacija i u *in vivo* sistemu. Sekvenca GCGC, koja se kod nekih promotora (*CtufB*) nalazi nizvodno od "-10" sekvence u regionu -7 do -4 (u odnosu na početak transkripcije i RNK) može da bude odgovorna za selektivnu inhibiciju transkripcije ppGpp molekulom (Mizushima-Sugano i Kaziro, 1985).

### 1.2.3. Negativna regulacija.

U situacijama kada se učešćem nekog faktora smanjuje aktivnost promotora, govori se o negativnoj regulaciji.

Mehanizmi negativne regulacije kod *E. coli* slični su onima kod pozitivne regulacije. Protein aktivator može da bude i represor ukoliko postoji kompeticija sa polimerazom RNK za istu sekvencu na DNK. Slično aktivatorima, i represori mogu da deluju na formiranje otvorenog kompleksa utičući na K<sub>B</sub> ili k<sub>f</sub>. Proučavajući interakciju CI represora faga λ sa polimerazom RNK na *P<sub>R</sub>* promotoru, pokazano je da CI

smanjuje konstantu vezivanja ( $K_b$ ) polimeraze RNK za promotor (Hawley et al., 1985).

Blizina drugih promotora može da ima ulogu u regulaciji. Čak i sama polimeraza RNK može da odigra ulogu represora na promotoru ukoliko postoji kompeticija dva preklapajuća promotora za istu polimerazu RNK. Primer za to je *immI* region bakteriofaga P22 kod koga se promotori *Pant* i *Pmnt* preklapaju (Sauer et al., 1983).

Metilacija adenina na DNK takođe može da bude uključena u negativnu kontrolu. Braun i Wright (1986) su pokazali da postoje dva mesta *dam* metilacije u okviru "-35" regiona *dnaA* promotora. Posledica toga je sledeća: ako se *dnaA* promotor nalazi u *dam*<sup>+</sup> soju, dobija se dva do tri puta niža ekspresija.

#### 1.2.4. Kontrola inicijacije transkripcije represorom.

Kada smo govorili o negativnoj regulaciji transkripcije, pomenuli smo da proteini aktivatori mogu da budu i represori ukoliko stupaju u kompeticiju sa polimerazom RNK za određenu sekvencu na promotoru. Jedan od takvih primera je CI represor faga λ koji istovremeno služi kao aktivator polimeraze RNK koja inicira transkripciju *cI* gena preko *P<sub>R</sub>M* promotora i blokira vezivanje polimeraze RNK čiji je zadatak da preko *P<sub>R</sub>* promotora inicira transkripciju *cro* gena (Ptashne, 1986). Primer *lexA* represora pokazuje kako jedan represor interreaguje sa operatorima čitavog seta promotora SOS regulona (*recA*, *lexA*, *uvrA*, *uvrB*, *uvrD*, *cloDF13*, *ssb*, *sulA*, *clef-1*) na veoma različitim pozicijama u delu uzvodno od "-35" regiona, pa sve do mesta nizvodno od tačke otpočinjanja transkripcije (Hoopes i McClure, 1987). *lexA*, koji se vezuje uzvodno od "-35" regiona kod *ssb* promotora, moguće je da blokira vezivanje nekog proteina aktivatora (Brandsma et al. 1985). U slučaju vezivanja *lexA* proteina nizvodno od starta transkripcije, represija ne mora uopšte da potiče od interferiranja u formiranju otvorenog

kompleksa, već od interferiranja sa procesom otvaranja (clearance) promotora (Hoopes i McClure, 1987).

Ukoliko ne postoji kontrola transkripcije represorom, konstitutivna ekspresija kloniranog gena može da dovede do usporavanja rasta ćelije domaćina zbog nagomilavanja proizvoda ekspresije, ili toksičnog efekta stranog gena na domaćina (Brosius, 1984, Takagi et al., 1988). Sistem domaćin-vektor, koji ne omogućava dovoljnu kontrolu ekspresije ubaženog gena, doveće do destabilizacije sistema. Tako Remaut et al. (1983) na primeru  $\beta$ -interferona pokazuju da njegova ekspresija značajno usporava rast ćelija domaćina. Takagi et al. (1988) pokazuju da se klonirani gen za subtilizin E (serin proteaza iz organizma *Bacillus subtilis*), koji je pod kontrolom tandem *lpp-lac* promotora, 16 puta bolje eksprimira u *E. coli* ako se količina inducera IPTG-a redukuje sa 2mM na 0.005mM, a temperatura rasta ćelija spusti sa 37° C na 23° C. Pod istim uslovima uočava se i drastično bolji rast ćelija nakon indukcije. Slično tome, toksičan efekat na ćeliju domaćina pokazuje Brosius 1984. na primeru humanog insulina eksprimiranog u *E. coli*.

#### 1.2.5. Producenje transkripta

Autori Yager i von Hippel (1987) na sledeći način posmatraju i opisuju procese produženja transkripta i njegove terminacije kod *E. coli*.

Onog trenutka kada nascentni transkript obrazuje lanac dužine od 8 ili 9 baza, dolazi do odvajanja sigma faktora od transkripcionog kompleksa i gubi se svaka tendencija polimeraze da prekine transkripciju. U tom procesu transkripcioni mehur narasta do svoje konačne veličine. Ovaj dogadjaj obeležava ulazak polimeraze RNK u fazu produžetka transkripta.

Producenje transkripta je u izvesnom smislu enzimatski katalizovana reakcija polimerizacije jer se iz aktiviranih monomera formiraju polimeri visoke molekulske težine



(molekul RNK). U ovoj reakciji polimeraza RNK vrši selekciju monomera NTP-a po poretku koji diktira komplementarna sekvenca lanca matrice na DNK.

S druge strane, produženje transkripta se objašnjava kao topološka reakcija. Kako se polimeraza RNK kreće niz lanac DNK, lokalno relaksirani mehur na DNK putuje zajedno. U okviru tog mehura privremeno se formira RNK-DNK hibrid. Između dva lanca DNK, dva lanca RNK-DNK hibrida i, verovatno, između lanca RNK i dupleksa DNK uzvodno od transkripcionog mehura postoje pre spiralni nego linearni odnosi. Dakle, produžavanje transkripta stalno zahteva rešavanje problema odmotavanja i umotavanja. Tako rezultati Wu *et al.* (1988) ukazuju da je stanje superspiralizacije bakterijske DNK tokom transkripcije znatno izmenjeno, a da su topoizomeraze DNK regularno uključene u fazu produženja transkripta.

Treća moguća varijanta jeste da je proces produženja transkripta, katalizovanog polimerazom RNK, u potpunosti kontinualan. Jeden molekul polimeraze formira potpuni transkript postupnim dodavanjem nukleotida ne disosujući ni sa DNK ni sa nascentne RNK.

Tokom procesa transkripcije mogu se pretpostaviti dva radikalno različita modela interakcije transkripta RNK sa matricom (lancem DNK). Oba uzimaju u obzir činjenicu da su ribonukleotidi, kandidati za inkorporaciju u nascentnu RNK, odabrani po principu komplementarnosti. Zahtev za formiranje nascentne RNK je da 3' kraj hibridizuje za matricu-lanac DNK.

Kod prvog modela, dužina RNK koja je uključena u RNK-DNK hibrid, striktno je konzervirana tokom cele ili gotovo cele reakcije polimerizacije (Jehle, 1965). Ova konzervirana dužina odgovara razdaljini između 3' kraja RNK i mestu odvajanja RNK-DNK hibrida.

Kod drugog modela nema razdvajanja između RNK i matričnog lanca DNK za vreme procesa produžavanja

transkripta: hibridni dupleks dobija u dužini sve dok neki događaj (terminacija) ne izvrši zamenu nascentnog lanca RNK nematričnim lancem DNK.

Sledeće činjenice idu u prilog prvog modela. a) Znatan broj genetičkih i biohemijских podataka govori o bliskoj vezi između transkripcije i translacije (Landick i Yanofsky, 1987), što podrazumeva da RNK odmah uzvodno od polimeraze RNK ostaje slobodna. b) Više eksperimentata je pokazalo da samo ekstremni 3' kraj transkripta tokom transkripcije leži fizički blisko matričnom lancu DNK, da je zaštićen od digestije RNKazom i da je ovaj region RNK dugačak tačno 12 nukleotida (Hanna i Meares, 1983; Stüber i Bujard, 1981). c) Transkripti se iniciraju i produžavaju na populaciji zatvorenih (dvolančanih) krugova DNK u prisustvu topoizomeraze. Ako tokom transkripcije postoji bilo kakva izmena DNK-DNK dupleksa za RNK-DNK hibrid, doći će do ugaonog odmotavanja DNK (Gamper i Hearst, 1982).

Iako nema takvih podataka, može se pretpostaviti da promene u temperaturi nesumnjivo imaju uticaja na proces produžavanja transkripta. Povećanje temperature bi moralo da pojača tendenciju labavljenja krajeva transkripcionog mehura kao i RNK-DNK hibrida (Yager i von Hippel, 1987).

#### 1.2.6. Terminacija transkripcije

Osim faktora koji određuju funkcionalisanje i jačinu promotora, važan činilac za ishod ekspresije je efikasna terminacija transkripcije. Terminacioni događaj je definisan kao jednostavan ako se odvija spontano *in vitro* bez prisustva proteinskih faktora osim polimeraze (core). Za vreme transkripcije polimeraza RNK može privremeno da zastane na određenim sekvencama kao što su GC-bogati regioni (Gilbert, 1976). U jednom od slučajeva zaustavljanje može da proistekne iz osnovne promene svojstava transkripcionog mehura. Terminacija transkripcije je kontrolisana signalima na DNK 3' nizvodno od gena sa karakterističnim regionom

dvostrukе simetrije bogatim GC koji prethode terminaciji, a zatim slede AT-bogati regioni na mestu terminacije (Rosenberg i Court 1979). Ekstremna nestabilnost rUdA sparivanja verovatno omogućava oslobođanje nascentnog transkripta i dovodi do terminacije transkripcije (Christie et al., 1981). Kompleksan proces terminacije ne može da se odvija u "minimalnom" *in vitro* sistemu, već je potrebno sudelovanje jednog ili više proteinskih faktora. Više proteinskih faktora može biti uključeno u kontrolu terminacije, a najznačajniji je  $\rho$  faktor. Antiterminacioni proteini, kao što je proizvod N gena faga lambda, mogu takođe biti uključeni u specijalizovane sisteme (Greenblatt 1981).

### 1.3. TRANSLACIJA

Inicijacija translacije može da se definiše kao zbir pojedinih reakcija koje vode stvaranju stabilnog kompleksa spremnog za produženje faze translacije. Iako se smatra da kompleks između 70S ribozoma, informacione RNK (iRNK) i formilmetionil-tRNK, čiji se poluživot meri satima, (Blumberg et al, 1979; Jay i Kaempfer, 1975) predstavlja krajnji produkt inicijacionog dogadaja, autori Gold i Stormo (1987) smatraju da i drugi kodon GCU može da olakša inicijaciju. Kako je AUG očigledan statistički izbor za inicijaciju (91% AUG, 8% GUG itd., Childs et al. 1985), može se s pravom sumnjati da će iRNK koja koristi druge kodone biti dobro translatovana. Veliki broj mutacija, koje menjaju AUG, daju niži nivo translacije (Childs et al., 1985; Munson et al., 1984). Zapravo, kada se neki AUG kodon van okvira čitanja takmiči sa GUG u fazi čitanja, pobeduje AUG (Shine-Dalgarno et al. u Šampi, Gold i Stormo, 1987).

Efikasna translacija informacione RNK kod ćelije prokariota zahteva prisustvo mesta vezivanja ribozoma (CRBS).

Kod većine informacionih RNK *E. coli* RBS se sastoji od dve komponente: inicijacionog AUG kodona i 3-12 baza uzvodno, sekvence od 3-8 baza nazvane Shine-Dalgarno (SD) sekvenca. Ova sekvenca je komplementarna 3' kraju 16S RNK (5'-GAUCACCUUUA-3' Shine i Dalgarno, 1974 i 1975). Smatralo se da hibridizacija za taj region uključuje prikačinjanje ribozomalne 30S subjedinice za informacionu RNK (Steitz 1979). Mada SD sekvenca nije identična kod svih iRNK, ipak je identifikovana (kao i kod promotorskih sekvenci) semi-konzervirana konsenzus sekvenca (Stormo et al., 1982). Moguće je da razlike u SD sekvencama čine deo translacionog kontrolnog sistema. Osim toga, vezivanje ribozoma je verovatno modulirano sekundarnom strukturom na 5' kraju RNK pošto se najefikasnija translacija dešava ako su AUG i SD sekvence slobodne za 30S ribozomalnu subjedinicu (Iserentant i Fiers 1980). U regionu -20 do +13, ako se izuzme Shine-Dalgarno region, inicijacioni i drugi kodon, A je daleko zastupljenije na račun G. Reč je verovatno o strategiji koja isključuje neodgovarajuće sparivanje sa 3' krajem 16S RNK. G se skoro nikada ne nalazi 5' od inicijacionog kodona (Stormo et al. 1982), a A je veoma često u poziciji -3 kod eukariotskih iRNK (Kozak, 1981).

Jedna od pojava u procesu translacije je i reinicijacija (Steege, 1977). Ukoliko nakon terminacije translacije postoji SD sekvenca i u okviru desetak baza nizvodno AUG kodon, tada može da dođe do reinicijacije translacije.

Terminacija translacije se najčešće javlja kad god se jedan od tri stop kodona sretne na iRNK sa ribozomalnim kompleksom, ukoliko aminoacilovana supresorska tRNK nije prisutna.

#### 1.4. PROMOTORI

Uopšteno, sekvene DNK nazvane promotorima predstavljaju one regione DNK koji signaliziraju početak transkripcije - stimulišu interakciju DNK i polimeraze RNK.

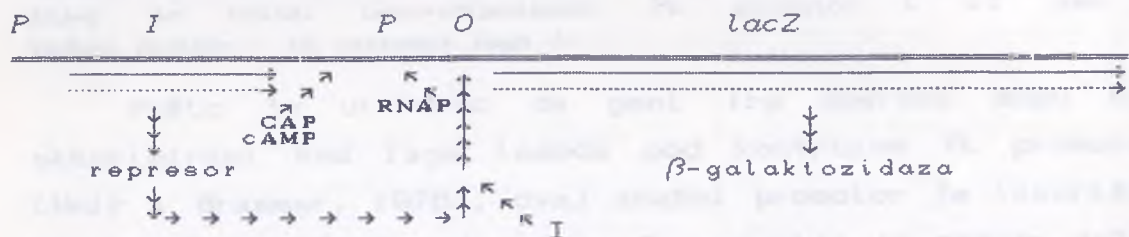
Većina proteina poreklom iz eukariota i prokariota dobijenih u velikim količinama u *E. coli*, transkribovana je sa jednog od sledeća tri promotora ili njihovih derivata: *lacUV5*, *trp* i  $\lambda$  *P<sub>L</sub>*. Razlog zašto su baš ovi promotori korišćeni jeste činjenica što su u periodu otvaranja poglavlja ekspresije eukariotskih gena u *E. coli*, pre jedne decenije, oni bili i najbolje proučeni. Osim toga, ove regulatorne sekvene su bile klonirane na derivate faga  $\lambda$  i plazmida pBR322, a identifikovani su i geni koji kodiraju za represorske proteine kojima su regulisane aktivnosti ovih promotora.

Izbor određenog promotora najviše zavisi od osobine proteina čija se ekspresija želi dobiti. Na primer, pokazano je da je proizvod eukariotskog gena za insulin toksičan za ćeliju *E. coli* (Brosius, 1984), ili da ekspresija humanog  $\beta$ -interferona znatno usporava rast ćelija domaćina (Remaut et al. 1983). U nekim slučajevima nije jedini preduslov da promotor pokazuje visoku aktivnost u indukovanim stanju, već je veoma važno da i u stanju represije pokazuje što nižu aktivnost. Iako su sva tri pomenuta promotora dovoljno jaka za dobijanje visokog nivoa ekspresije proteina u *E. coli*, oni se međusobno znatno razlikuju kako u načinu tako i u amplitudi indukcije.

##### 1.4.1. *lacUV5* promotor

Jedna od najbolje proučenih regulatornih sekvenci *E. coli* je svakako *lac* promotor/operator. *lac* operon funkcioniše pomoću dva tipa kontrole. Negativna regulacija se uspostavlja u odsustvu laktoze (ili nekog drugog inducera). Operon se nalazi isključen zahvaljujući *lac* represoru, proizvodu *lacI* gena koji se vezuje za operator.

Operatorska sekvenca se nalazi nizvodno od "-10" sekvence *lac* promotora. Pozitivna regulacija se odvija preko CAP-a (katabolički aktivator protein). U odsustvu glukoze, CAP formira kompleks sa cikličnim AMP-om i takav kompleks stimuliše transkripciju vezujući se uz promotor. Promotor se aktivira u prisustvu lakoze ili pri dodavanju inducera IPTG-a (izopropil- $\beta$ -D-tiogalaktosid; ) koji za razliku od lakoze ne podleže metabolizmu, a vezuje se za represor. Na njemu stvara alosteričnu promenu konfiguracije i redukuje mu afinitet vezivanja za operatorsku jedinicu i uklanja ga sa operadora (Miller i Reznikoff, 1978).



Slika 1. Prikazan je deo *lac* operona sa *lacZ* genom i njegovim promotorom i genom za *lacI* represor. Strelicama su označena mesta vezivanja RNK polimeraze, CAP-cAMP i represora. Dvostruka linija-DNK; puna linija sa strelicom-iRNK; tačkasta linija sa strelicom-protein.

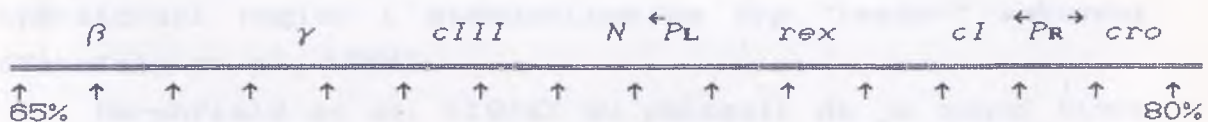
Ako je *lac* promotor kloniran na plazmidu koji se u ćeliji *E. coli* nalazi u više kopija, tada dolazi do titracije *lac* represora koji potiče sa jedne kopije *lacI* gena. Rezultat toga je derepresija preostalih kopija *lac* promotora. Kako je ovakav efekat najčešće nepovaljan, moguće je izbjeći ga korišćenjem domaćina koji hiperprodukuje *lac* represor (*lacI*O).

Među mutacijama u okviru sekvence *lac* promotora/operatora, *lacUV5* je najviše korišćena za regulaciju hiperprodukcije rekombinantnih proteina u *E. coli*. Kod ovog promotora, posledica mutacije u okviru "-10" sekvence ("Pribnow box", Pribnow, 1975) je ne samo povećana snaga promotora, već ono što je još važnije, dobijena je

znatno niža osetljivost na kataboličku represiju u prisustvu glukoze (Silverstone et al, 1970).

#### 1.4.2. P<sub>L</sub> promotor lambda faga

Aktivnost P<sub>L</sub> promotora se odvija za vreme litičkog ciklusa faga λ, a pod represijom ga drži proizvod cI gena uлизogenom stanju.



Slika 2. Eco RI fragment (7500bp) genoma faga λ u okviru kojeg se nalazi levo-orientisani P<sub>L</sub> promotor i cI gen koji kodira protein - CI represor faga λ.

Pošto je utvrđeno da geni trp operona mogu biti eksprimirani kod faga lambda pod kontrolom P<sub>L</sub> promotora (Moir i Brammar, 1976), ovaj snažni promotor je iskorišćen za ekspresiju kloniranih gena. P<sub>L</sub> promotor je moguće držati pod kontrolom represora pomoću proizvoda cI gena iz faga λ. Preim秉stvo P<sub>L</sub> promotora nad lac promotorom je u kontroli aktivacije transkripcije. Dovoljna je samo jedna kopija cI gena da bi se proizveo dovoljan broj kopija CI represora za efikasno blokiranje transkripcije na višestruko kopiranom plazmidu koji sadrži P<sub>L</sub> promotor (Remaut et al, 1981). Ako se upotrebi temperaturno senzitivni mutant cI gena moguće je na temperaturi od 28°C držati promotor pod represijom, a na 42°C potpuno inaktivirati represor. Svakako, mora se imati u vidu da temperaturna aktivacija P<sub>L</sub> promotora u ćelijama koje sadrže cI857 gen nije krajnje specifična, pošto temperaturni pomak na 42°C može takođe da indukuje transkripciju gena koji kodiraju za "heat shock" proteine (Yamamori i Yura, 1982). Kako je pokazano (Phillips et al, 1984) da je "heat shock" protein kodiran lon genom proteaza, to svakako treba imati u vidu ako se za indukciju P<sub>L</sub> promotora koristi povišenje temperature na 42°C. Moguće je efekat proteazne aktivnosti izbegći korišćenjem htpR mutanata

*ChtpR*-pozitivni regulatorni faktor za transkripciju "heat shock" proteina, Grossman, et al., 1984) ili dvostrukih lan *htpR* mutanata (Buell et al., 1985)

#### 1.4.3. *trp* promotor

Ekspresija pet gena *trp* operona kod *E. coli* je dvostruko regulisana: putem represora koji blokira operatorski region i atenuacijom na *trp* "leader" sekvenci (Yanofsky et al., 1984).

Hershfield et al. (1974) su pokazali da je moguć visok nivo ekspresije pet gena *trp* operona kada je operon prebačen u plazmidni vektor. Za razliku od *lac* sistema, samo jedna kopija gena *trp* represora proizvodi dovoljno proteina da drži *trp* operon pod punom represijom. Indukcija *trp* operona se vrši uklanjanjem triptofana iz sistema (Yanofsky et al., 1984). Raniji ekspresioni vektori kod kojih su ubaćeni geni bili pod kontrolom *trp* promotora, sadržali su takođe i *trp* "leader" kao i delove *trpD* i *trpE* gena (Hallewell i Emtage, 1980), a kasnije konstrukcije su zadržale samo *trp* promotor/operator region i mesto vezivanja ribozoma (De Boer et al., 1983, Goeddel et al., 1980).

Ukoliko se *trp* promotor nalazi na plazmidu koji je prisutan u više umnožaka, dolazi do titracije *trp* represora, pa je i konstitutivna aktivnost, čak i u prisustvu viška triptofana, merljiva. Tako se kod *trp-lacZ* promotor-genske fuzije dobija samo dvostruko viši nivo aktivnosti  $\beta$ -galaktozidaze kada se poređi indukovano i neindukovano stanje (Buell i Panayotatos, 1986).

#### 1.4.4. Hibridne konstrukcije promotora

Promotori *lac*, *trp* i *P<sub>L</sub>* ispunjavaju više kriterijuma koji ih čine atraktivnim za ekspresiju kloniranih gena u *E. coli*. Elementi ovih promotora su iskorišteni za dobijanje hibridnih konstrukcija koje poseduju osobine pogodne za određene ekspresione sisteme. Posebno važna karakteristika

jestе kontrola aktivnosti represorima koje je moguće inaktivirati u trenutku kada je poželjno dobiti ekspresiju. Takva vrsta kontrole je veoma važna ukoliko je proizvod gena koji treba da se eksprimira toksičan za ćeliju (Remaut et al., 1983, Brosius, 1984, Takagi et al., 1988). Razlog što znatan broj jakih promotora još nije upotrebljen za ekspresiju kloniranih gena je taj što njihove osobine još nisu u toj meri proučene kao kod *trp*, *lac* i *P<sub>L</sub>* promotora.

Promotor za lipoprotein spoljne membrane (*lpp*) *E. coli*, jak konstitutivni promotor, iskorišćen je za konstruisanje različitih ekspresioneih vektora. Da bi *lpp* promotor mogao da se kontroliše, ubaćen je fragment koji sadrži *lac* promotor/operator između *lpp* promotora i gena za lipoprotein, pa je na taj način omogućena inaktivacija promotora pomoću *lacI* represora, a indukcija sa IPTG-om (Nakamura et al. 1982).

Jak hibridni *lac* promotor je nastao fuzionisanjem djejava sekvenci koje pripadaju *trp* i *lacUV5* promotoru. Region *trp* promotora, koji obuhvata "-35" sekvencu i uzvodno od nje AT bogate blokove, fuzionisan je za sekvene koje sadrže "-10" region *lacUV5* promotora i nizvodnu *lac* operatorsku sekvencu. Prvi su ga konstruisali i opisali De Boer et al., (1982), a iskorišćen je za konstruisanje više ekspresioneih vektora (Russell i Bennet, 1982; Amann et al. 1983, 1985). Ovaj promotor se može regulisati pomoću *lacI* represora, poseduje jačinu *trp* promotora, a pet do deset puta je efikasniji od *lacUV5* promotora. Za razliku od *lacUV5*, *lac* promotoru nedostaje mesto vezivanja za CAP, pa je to najverovatnije jedan od razloga što je daleko manje osetljiv na kataboličku represiju. Ova osobina mu ujedno omogućava visoku aktivnost u medijumu bogatom glukozom.

Sličnu konstrukciju *lac* promotoru objavili su Boros et al.(1986), fuzionisanjem "-10" regiona *lacZ* promotora sa "-35" regionom *rrnB P<sub>Z</sub>* promotora. Rezultujući promotor je

moguće regulisati preko lac represora i indukovati sa IPTG-om.

Nishi i Itoh su 1986. konstruisali promotor kod kojeg su AT regioni trp promotora zamenjeni AT blokovima PL promotora faga λ i dobili višu aktivnost.

Ekspresioni sistem koji se satoji od dva plazmida i funkcioniše na nivou temperaturne regulacije, konstruisali su Shinsky et al. (1981). U ovom sistemu, plazmid koji sadrži lac represor, na temperaturi od 42° C prestaje da se replikuje, dok se plazmid, na kome je gen pod kontrolom lac promotor/operator sistema, istovremeno normalno replikuje u više kopija po ćeliji.

## 1.5. KONSTRUI SANJE EFIKASNOG EKSPRESIONOG SISTEMA

Da bi se dobila hiperprodukcija specifičnih proteina znatan broj radova je bio posvećen konstruisanju optimalnih promotora, operatora, mesta vezivanja ribozoma, transkripcionih terminatara, "origin"-a replikacije itd. Ovakvi eksperimenti su, osim krajnjeg komercijalnog cilja, svakako doprinosili daljem razumevanju molekularnih mehanizama u ćeliji.

Neki plazmidi su stekli široku primenu zahvaljujući svojoj relativno maloj veličini i velikom broju kopija. Zahvaljujući ovim svojstvima, izabrani su kao vektori za kloniranje i ekspresiju gena u bakterijama i kvascima. Slično tome, ekstrahromozomalni elementi zasnovani na virusima, u upotrebi su kod sisarskih ćelija.

Plazmidi koji su predviđeni za kloniranje gena, a konstrukcionalno su jednostavniji, imaju potpuno drugačije karakteristike od onih koji su predviđeni za visoku ekspresiju. Uopšteno, vektori za kloniranje služe kao prevoznici između hromozoma i ekspresionog vektora.

#### 1.5.1. Osnovni dizajn ekspresionog vektora

U ekspresionom vektoru sadržano je nekoliko osnovnih elemenata. Ekspresioni plazmid mora da ima:

1. Region potreban za stabilnu replikaciju i kontrolu broja kopija.

2. Selektioni marker kao što je gen koji čeliji domaćinu pruža rezistenciju na neki antibiotik.

3. Efikasan promotor za inicijaciju i kontrolu transkripcije kloniranog gena.

4. Mesto vezivanja ribozoma (Shine-Dalgarno sekvencu) za inicijaciju translacije 5' uzvodno od odgovarajućeg ATG tripleta.

Svaki od ovih faktora, kako nezavisno tako i zdržano, utiče na ekspresiju. Čak i gen za rezistenciju na antibiotik, koji bi mogao najmanje da ima uticaja na nivo ekspresije, može da dovede do nestabilnosti plazmida i da bitno utiče na ekspresiju. Zato je vrlo važno konstruisati ekspresioni sistem sa najboljom kombinacijom ovih elemenata. Na taj način, ukoliko se odgovarajući promotor, RBS ili neka druga komponenta pokaže kao nepogodna, moguće je izbaciti je i zamjeniti nekom drugom na jednostavan način.

Na žalost, postoji faktor koji se ne može uvek unapred predvideti, a to su svojstva proteina koji treba da se sintetiše. Na primer, veličina proteina, broj cisteina, osetljivost na povišenu temperaturu (recimo, pri indukciji  $P_L$  promotora faga  $\lambda$  na  $42^\circ C$ ), osobine umotavanja, toksični efekat na čelije u kojima se proizvod kloniranog gena sintetiše i rastvorljivost u domaćinu ili medijumu morali bi da se imaju na umu prilikom konstruisanja ekspresionog sistema. Kako to nije moguće kod novih produkata gena, najbolje je da se predviđi fleksibilni vektor stvaranjem jedinstvenih restrikcionih mesta između svih osnovnih kontrolnih elemenata. Konstruisanje promotora čije će osnovne karakteristike omogućavati visok nivo

fleksibilnosti kontrole ekspresije kloniranog gena može da bude od najvećeg značaja.

Konačno, ne treba zaboraviti da odgovarajući uslovi rasta ćelija domaćina (medijum, temperatura, momenat indukcije, itd.) mogu imati značajan uticaj na krajnji rezultat ekspresije kloniranog gena.

Većina ekspresionih sistema koristi *E. coli* kao domaćina, a derivate pBR322 kao vektore (Bolivar et al. 1977, Balbás et al 1986). Ovaj plazmid sadrži kodirajuće regije za rezistenciju na ampicilin i tetraciklin, kao i elemente neophodne za kontrolu replikacije koji omogućavaju da se dobije 20-60 kopija po ćeliji u zavisnosti od domaćina. Bez antibiotičke selekcije ne zapaža se značajan gubitak plazmida kod ćelija koje rastu čak do trideset generacija. To je razlog što rezistencija na antibiotik i region neophodan za kontrolu replikacije kod pBR322 plazmida predstavlja odličan polazni materijal za konstrukciju ekspresionog vektora. Poznata je kompletna sekvenca nukleotida plazmida pBR322 (Sutcliffe, 1978, 1979) što je omogućilo određivanje više jedinstvenih restrikcionih mesta za ubacivanje promotorskih sekvenci i RBS.

#### 1.5.2. Uklapanje mesta vezivanja ribozoma

Pokazano je da efikasnost inicijacije translacije prvenstveno zavisi od stepena komplementarnosti mesta vezivanja ribozoma (RBS) sa 16S rRNK, udaljenosti od start kodona, stepena umoranosti i, konačno, stabilnosti mRNK. Drugi faktori, kao što su dodatne specifične sekvene i opšti sadržaj A + T u datom regionu, mogu da budu od značaja i dalje da komplikuju optimalno konstruisanje mesta vezivanja ribozoma. Osim toga, kako "inicijaciona struktura" translacije obuhvata sekvenu 5' regiona i RNK, efikasnost mesta vezivanja ribozoma će zavisiti od pojedinačnog gena (Buell i Panayotatos 1985). Moguće je svakako startovati sa RBS uzetim od nekog veoma efikasnog gena (na primer, gen

10 T7 faga, Olins et al. 1988). Ishod ovakvog pristupa je uspešna translacija ukoliko se sekvenca RBS dobro "pakuje" sa genom koji treba da se eksprimira.

#### 1.5.3 Formiranje restrikcionih mesta u tački fuzije

Pod veoma srećnim okolnostima dolazi do formiranja jedinstvenog restrikcionog mesta na tački fuzije RBS regiona i kodirajućeg regiona gena tako da dalje manipulacije nisu potrebne. U većini slučajeva restrikciono mesto mora da se ubaci na tačnu poziciju u odnosu na start kodon.

#### 1.5.4. Deleciја specifičnih sekvenci DNK pomoću egzonukleaze Bal 31.

Ukoliko ne postoji pogodno restrikciono mesto u okolini ATG kodona kloniranog gena, željene regione DNK moguće je ukloniti kontrolisano pomoću egzonukleaze Bal 31.

Bal 31 egzonukleaza deluje tako što progresivno uklanja bazne parove linearne DNK sa oba kraja (Gray et al. 1975, Panayotatos i Truong, 1981). Na taj način dobija se familija progresivno skraćenih molekula DNK (na primer, linearizovanog plazmida). Ovakvom obradom molekula DNK moguće je prekrajanje i primicanje sekvencama strukturalnog gena. Ova enzimska reakcija je značajna, jer ukoliko ne postoji pogodno restrikciono mesto u blizini ATG kodona, moguće je izvršiti uklapanje sekvene nekog strukturalnog gena poreklom iz eukariota sa regulatornim sekvencama *E. coli*.

## 2. CILJ ISTRAŽIVANJA

Bakterija *Escherichia coli*, najbolje proučeni mikroorganizam, je kao domaćin za ekspresiju stranih gena umnogome doprinela da se sakupi veliki broj saznanja o regulaciji ekspresije ovih gena.

Poznato je da zadovoljavajuća ekspresija gena kloniranih u *E. coli* najčešće zahteva njihovo prekrajanje i priključivanje uz bakterijske regulatorne elemente.

Takođe se zna da karakteristike regulatornih sekvenci mogu značajno da utiču na ekspresiju kloniranog gena. Kako ne postoji jedna univerzalna regulatorna sekvenca koja sadrži elemente promotora i operatora koja bi efikasno poslužila za ekspresiju bilo kog kloniranog gena, tada se obično u zavisnosti od prirode proizvoda kloniranog gena i bira najpogodnija promotorska sekvenca.

Imajući u vidu navedene činjenice, istraživanja u ovom radu imala su sledeći tok.

Prvo, u našim istraživanjima kao "model gen" za ekspresiju korišćen je gen za humani  $\beta$ -interferon. Prestavljanja ovog gena pod kontrolu bakterijskih regulatornih sekvenci, potrebno je bilo ukloniti prirodne eukariotske regulatorne sekvence koje se nalaze 5' uzvodno od strukturalnog gena.

Drugo, pored već dobro proučenog jakog hibridnog tac promotora, konstruisali smo novi hibridni P<sub>L</sub>tl promoter/operator, sa ciljem da na osnovu pretpostavljenih drugačijih osobina u odnosu na postojeće prirodne ili hibridne promoter/operatorske sekvene, dobijemo fleksibilan promoter koji bi mogao da posluži za dobijanje ekspresije različitih gena čiji se proizvodi razlikuju po svojim karakteristikama.

Dakle, cilj ovoga rada je ispitivanje svojstava *in vitro* konstruisane sekvene DNK (*P<sub>L</sub>tl* promotora/operatora) za koju smo pretpostavili, na osnovu njene primarne strukture, da će kroz aktivnost gena koji se nalaze pod njenom kontrolom pokazati, u poređenju sa osobinama *lac* promotora, drugačije osobine koristeći zajednički "model gen" - strukturalni gen za humani  $\beta$ -interferon i *lacZ* gen kao "reporter gen".

### 3. MATERIJAL I METODE

#### 3.1. MATERIJAL

##### 3.1.1. Sojevi E.coli i plazmidi

Tabela I. Sojevi *E. coli*

Soj	Genotip	Poreklo
DH1	(F-, recA1, endA1, gyrA96, thi-1, hsdR17(r+, m+)supE44, relA1, λ-)	Hanahan 1983.
JM101	Δ(lac-pro), supE, thi, [F' traD36, proAB+, lacI <sup>Q</sup> , lacZΔM15]	Yanisch-Perron et al. 1985.
POP2136	malT, Pr, cI857, malPQ derivat MM294 (F endA1, thi-1, hsdR17, supE44λ)	Dobijen od dr Raibaud-a preko dr Stanley-a

Soj DH1 je korišćen kao recipijent za plazmide pBR322, pIF4 i ptac12; JM101, je korišćen kao recipijent za plazmidne konstrukcije koje sadrže regije za koje se vezuje lacI represor; POP2136 je korišćen kao recipijent za plazmidne konstrukcije koje sadrže P<sub>L</sub>tl promotor-interferon β fuziju, (dobijen je ljubaznošću dr K. Stanley-a).

Plazmid ptac12 ( Amann et al. 1983) je korišćen za izolovanje fragmenta koji sadrži tac promotor; plazmid pFBII (Pharmacia, pFBI plasmid kit Cat. no. 27-4988) je korišćen za kloniranje fragmenta koji sadrži gen za CI<sub>I</sub>c857 represor iz faga λ; plazmid pCON5 ( De Lorenzo et al. 1988) je korišćen za kloniranje promotor-interferon-lacZ fuzija (dobijen je ljubaznošću dr V. de Lorenzo-a); plazmid pBR322 (Bolivar et al 1977, Sutcliffe, 1978, 1979), je korišćen za kloniranje humanog β-interferona, što je opisano u radu Crkvenjakov et al. (1984), a kasnije su ga isti autori

izolovali i identifikovali kao klon pIF4 (nije objavljeno); plazmid pEMBLex2 (Sollazzo et al. 1985) je korišćen za izolovanje *P<sub>L</sub>* promotora faga λ.

### 3.1.2. DNK

DNK faga λ (BRL cat. No. 5250SA) je korišćena za izolovanje temperaturno senzitivnog represora (cI857) ili nakon digestije sa nekim restrikcionim enzimom kao standard za elektroforezu.

Poreklo plazmidne DNK je opisano u prethodnom odeljku (3.1.1.)

### 3.1.3 Restrikpcioni enzimi

Osim komercijalnih enzima nabavljanih preko firmi BRL, Biolabs, Amersham, Pharmacia, Serva i Boeringer, neke od njih (*Eco* RI, *Bgl* II i *Bam* HI) smo izolovali i koristili u toku eksperimenata kloniranja i ekspresije humanog β-interferona.

### 3.1.4. Radioizotopi

Sledeći izotopi su korišćeni za obeležavanje DNK.

Adenozin 5'-[ $\gamma$ -<sup>32</sup>P] trifosfat, trietilamonium so (≈ 3000 Ci/mmol) Amersham (PB.10168),

Deoksiadenozin 5'-[ $\alpha$ -<sup>32</sup>P] trifosfat, trietilamonium so (≈ 3000 Ci/mmol) Amersham (PB.10204),

Deoksicitidin 5'-[ $\alpha$ -<sup>32</sup>P] trifosfat, trietilamonium so (≈ 3000 Ci/mmol) Amersham (PB.10205),

Deoksiguanozin 5'-[ $\alpha$ -<sup>32</sup>P] trifosfat, trietilamonium so (≈ 3000 Ci/mmol) Amersham (PB.10206),

Timidin 5'-[ $\alpha$ -<sup>32</sup>P] trifosfat, trietilamonium so (≈ 3000 Ci/mmol) Amersham (PB.10207),

### 3.1.5. Enzimi

Alkalna fosfataza (CIAP), Bal 31 nukleaza, *E. coli* DNK polimeraza I "Klenow fragment" (POLIK), T4 DNK ligaza, T4 polinukleotid kinaza (PNK), RNKaza su nabavljeni iz sledećih firmi: Amersham, BRL, Biolabs, Pharmacia.

### 3.1.6. Hemikalije

Od inostranih kompanija Serva, Sigma, Aldrich i LKB nabavljane su sledeće hemikalije: adenosintrifosfat, akrilamid, albumin (BSA - bovine serum albumine), amonijumacetat, amonijumsulfat, ampicilin, bisakrilamid, bromfenolplavo, deoksinukleotidtrifosfati (dNTP), dimetildihlorsilan, dimetilsulfat (DMS), dimetilsulfoksid (DMSO), EDTA, hidrazin, ksilencijanol, magnezijumacetat, magnezijumhlorid, natrijumacetat, natrijumhlorid, natrijumdodecilsulfat (SDS), natrijumhidroksid, piperidin, rubidijumhlorid, spermidin, tetraciklin, Tris, Triton X-100, i urea.

Hemikalije koje su nabavljane od domaćih proizvodača Kemika, Alkaloid: amonijumacetat, amonijumsulfat, EDTA, magnezijumacetat, magnezijumhlorid, natrijumacetat, natrijumhlorid, natrijumhidroksid i urea.

Fluorescentne ploče za tankoslojnu hromatografiju, TLC K6F Silica gel, nabavljene su od firme Whatman, (Cat No 4861-620), silikonizovana staklena vuna od firme Serva, (Cat. No 22367), membranski filtri (0,45  $\mu$ ) od firme Sartorius, Mixed bed resine, AG501-X8(DD) od firme Bio Rad, PEI-cellulose (TLC -Ready-Foils Ref. No. 394032) od firme Schleicher & Schüll, film za autoradiografiju - Kodak X-Omat AR (Cat. 150 6955), Film za industrujsku autoradiografiju FIR-10 Fotokemika. Reagensi za sintezu oligodeoksinukleotida su nabavljeni od firme Applied Biosystems.

### 3.2. METODE

#### 3.2.1. Uzgajanje bakterijskih kultura

Bakterijski sajevi su kultivisani u medijumu LB (1% Bacto tryptone (Difco), 1% NaCl, 0,5% Yeast extract (Difco)) u prisustvu ampicilina 40 $\mu$ g/ml ili tetraciklina, 15 $\mu$ g/ml, ili oba (Sigma). Šolje sa čvrstom podlogom su pripremane dodatkom 1,5% Bacto-agara (Difco) u medijum LB. Kolonije koje proizvode  $\beta$ -galaktozidazu su detektovane razmazivanjem na šolju 40 $\mu$ l 2% X-Gal-a u dimetilformamidu i 40 $\mu$ l vodenog rastvora 100mM IPTG-a.

#### 3.2.2. Izolovanje plazmidne DNK

Izolovanje plazmidne DNK za analitičke ili preparativne potrebe rađeno je ili po protokolima koje je objavio Maniatis et al. 1982 ili su korišćene modifikacije metoda koje su opisane u daljem tekstu.

##### 3.2.2.1. Izolovanje manjih količina plazmidne DNK za analitičke potrebe - "mini prep" (1-20 $\mu$ g)

1. Inokulira se 20 ml medijuma (LB) i inkubira preko noći uz snažno mučkanje u prisustvu odgovarajućeg antibiotika
2. 10ml kulture se centrifugira na 1500xg (3000-4000 rpm u kliničkoj centrifugici) 15 min
3. talog se resuspenduje u 1 ml STET pufera (50mM Tris.HCl pH8,0; 50mM EDTA pH7,5-8,0; 8% Saharoza, 5% TritonX-100) i prebac i u "Eppendorf" epruvetu od 1 ml
4. doda se 2-3  $\mu$ l lizozima (10 mg/ml H<sub>2</sub>O) i kuva 3 minuta na 90° C i centrifugira 15 minuta na 12000xg
5. supernatant se pažljivo odlije u drugu epruvetu i doda se 2-3  $\mu$ g RNKaze (RNKaza oslobođena DNKaze)\* i inkubira 15-20 minuta na 37° C
6. doda se 0,67 vol 5M amonijum acetata + 0,60 vol izopropanola, dobro se promeša i nakon 10 minuta

centrifugira na 12000xg ( $\approx$ 12000 rpm u Eppendorf centrifugi)  
7. talog se opere ledenim etanolom, osuši na vazduhu ili kratko u eksikatoru ili "Speed-Vac" centrifugi i resuspenduje se u 500  $\mu$ l 2M amonijum acetata na 4° C i nakon 5 minuta centrifugira 5 minuta na 12000xg ( $\approx$ 12000 rpm u Eppendorf centrifugi)

8. talog se odbaci, a supernatantu se doda 300  $\mu$ l izopropanola i drži 10 min na sobnoj temperaturi

9. centrifugira se 10 minuta na 12000xg (12000 rpm) i talog se opere ledenim etanolom, kratko prosuši i rastvori u 20-50  $\mu$ l TE pufera (10mM Tris.Cl pH 7,5; 1mM EDTA pH 8,0) ili dejonizovane vode i čuva se na -20° C.

Ova modifikovana metoda zahteva nešto više vremena ali obezbeduje više plazmidne (oko 10-20  $\mu$ g) DNK čija je čistoća dovoljna da se efikasno odredi primarna struktura (redosled nukleotida) po metodi Maxama i Gilberta (1980) ili uradi više restripcionih analiza.

\*RNKaza oslobođena prisustva DNKaze :

Rastvoriti RNKazu A (pancreatic RNase) u koncentraciji od 10 mg/ml u 10mM Tris.Cl (pH 7,5), 15mM NaCl. Zagrevati na 100° C 15 minuta i ostaviti da se hlađi sporo do sobne temperature. Raspodeliti na manje alikvote i čuvati na -20° C.

3.2.2.2. Preparativno izolovanje plazmidne DNK u većim količinama za konstruisanje vektora i kloniranje.

1. 500 ml medijuma se inokulira sa 50 $\mu$ l male količine kulture koja je rasla preko noći i snažno mučka u prisustvu određenog antibiotika do optičke gustine od oko 0,5-0,8 A<sub>600</sub>. Kultura se centrifugira na 1600xg (4000 rpm, Sorvall centrifuga, rotor GSA, polikarbonatne epruvete od 250 ml) 20 minuta na 4° C

2. talog se resuspenduje u 16 ml glukoznog pufera (50mM glukoza, 10mM EDTA pH 8,0; 25mM Tris.Cl pH 8,0), doda se 8mg lizozima

3. posle 15 min na 4° C doda se 45 ml 0,2M NaOH, 1% SDS, pažljivo promeša i drži 5 minuta na 4° C
4. uz lagano mešanje dodaje se 35ml 3M Na-acetata pH 4,8 i drži 30-60 minuta na 4° C
5. centrifugira se na 17000xg ( 15000 rpm, Sorvall centrifuga, rotor SS34, polikarbonatne epruvete od 30 ml) 10 min na 4° C
6. supernatantu se doda 0,6 zapremina izopropanola i nakon 20 minuta na sobnoj temperaturi, centrifugira na 8000xg (10000 rpm, Sorvall centrifuga, rotor SS34, Corex epruvete od 30 ml) 10min na 4° C
7. talog se opere ledenim etanolom i osuši u eksikatoru pod vakuumom i rastvori u 12ml TNAC-a (50mM Tris.Cl, 100mM Na-acetat pH 8,0), a zatim se doda se 600 µg RNKase i inkubira 30 minuta na 37° C
8. sa 0,5 zapremina smeše fenol/hloroform\* uradi se ekstrakcija i nakon 10 min centrifugiranja na 2000xg ( 5000 rpm, Sorvall centrifuga, Corex epruveta od 30 ml, rotor SS34) odvoji se vodena faza kojoj se doda 0,1 zapremina 3M Na-acetata i 0,54 zapremina izopropanola i drži 20 minuta na sobnoj temperaturi
9. centrifugira se 10 min na 8000xg (10000 rpm, Sorvall centrifuga, Corex epruvete od 30 ml, rotor SS34), i talog se opere ledenim etanolom, suši i resuspenduje u 5 ml 2M amonijumacetata
10. posle 5 minuta na 4° C, centrifugira se 5 minuta na 4° C na 8000xg (10000 rpm, Sorvall centrifuga, Corex epruvete od 15 ml, rotor SS34)
11. supernatantu se doda 0,54 zapremina izopropanola i drži 20 minuta na sobnoj temperaturi a zatim se 10min centrifugira na 8000xg (10000 rpm, Sorvall centrifuga, Corex epruvete od 15 ml, rotor SS34)
12. talog se inspira ledenim etanolom (-20 °C), suši i rastvara u 100-500 µl dejonizovane H<sub>2</sub>O ili TE pufera (10mMTris.ClpH7,5; 1mM EDTA pH 8,0) . Čuva se na -20 °C.

Na ovaj način moguće je izolovati znatnu količinu plazmidne DNK (~ 300-600 µg DNK/500ml bakterijske kulture), bez kontaminacije sa RNK i hromozomalnom DNK.

\*Hloroform/fenol - smeša se sastoji od 1 zapremine fenola i jedne zapremine smeše hloroform-izoamilalkohol (24:1)

Fenol se koristi predestilovan (sa dodatkom 0,1% 8-hidroksihinolina kao antioksidansa) i zasićen, obično sa 0,1M Tris.Cl pH 8,0.

### 3.2.2.3. Modifikovana metoda izolovanja plazmidne DNK pomoću gradijenta sa cezijum hloridom

1. Inokulira se 500ml medijuma

sa kulturom koja je rasla preko noći i pusti da raste u prisustvu odgovarajućeg antibiotika do 0,7 OD A<sub>600</sub>

2. doda se 100mg hloramfenikola i kultura raste preko noći

3. u rashladrenom rotoru obore se čeliće na 45000 rpm za 15 minuta.

4. talog se resuspenduje u 12 ml glukoznog pufera (50mM glukoza, 10mM EDTA pH 8,0; 25mM Tris.Cl pH 8,0) i prebaci u epruvete za centrifugiranje ("Corex" od 15ml).

5. doda se 2ml lizozima (20mg/ml lizozim u glukoznom puferu) i inkubira 10 minuta na sobnoj temperaturi.

6. doda se 27,6 ml 1% SDS, 0,2M NaOH, promeša pažljivo i rashladi u leđenoj vodi 5 minuta, precipituju se proteini i hromozomalna DNK dodatkom 14 ml K-acetata (60,0ml 5M kalijumacetat; 11,5ml sirčetna kiselina-glacijalna; 28,5ml H<sub>2</sub>O) i inkubira se u leđenoj vodi 15 minuta i centrifugira se 10 minuta na 15000 rpm

7. supernatant se prebaci u dve epruvete od 30 ml i doda se 0,5 zapremina smeše hloroform/fenol i ekstrahuje

8. centrifugira se 10 minuta na 5000 rpm i gornjoj vodenoj fazi se doda 0,6 zapremina izopropanola i precipituje se 15 minuta na ledu

9. centrifugira se 10 minuta na 10000 rpm i talog osuši. Talog se resuspenduje u 2,4 ml TE pufera, pripremi se 43% w/w CsCl (43g CsCl/100g rastvora). Doda se 8ml cezijumhlorida u plastične epruvete "Quick-seal" (Beckman)

10. doda se 4,2g CsCl u 1,2ml TE (sa uzorkom), rastvori i doda 0,4ml 10mg/ml etidijumbromida
11. formira se gradijent ubacivanjem guščeg CsCl na dno
12. epruvete se zatope i centrifugiraju 24hr na 42K, 17hr na 50K, ili 5hr na 60K.

### 3.2.3. Digestija plazmidne DNK restripcionim endonukleazama

Sve reakcije digestije plazmidne DNK su radene prema uputstvima koja su data u laboratorijskom priručniku (Maniatis et al. 1982) ili prema uputstvima proizvodača. Digestija je radena sa količinama DNK od 0,1-100 µg u zapreminama od 10-500 µl pufera sa 1-3 jedinice enzima po 1 µg DNK u vremenu od 1-3 sata. U nekim eksperimentima je digestija radena preko noći pri čemu su količine enzima redukovane deset puta. Uopšteno, u zavisnosti od restrikcione endonukleaze, molarne koncentracije sastojaka pufera su se kretale u sledećim granicama: 10-20mM Tris-HCl pH 7,5-8,0; 0-150mM NaCl; 7-10mM MgCl<sub>2</sub>; 0-7mM βME.

### 3.2.4. Digestija DNK nukleazom Bal31

Kako je u našem slučaju bilo potrebno da se sa linearizovanog pIF4 plazmida sa oba kraja "skine" približno 150bp, uslovi koje smo koristili pri digestiji sa Bal31 nukleazom bili su sledeći:

DNK (pIF4, ~40µg)	225µl
BSA (5µg/µl)	15µ
5xBal31 pufer	60µl
Bal31 nukleaza (Biolabs) (1UD)	1µl

Sastav 5xBal31 pufera je sledeći:

60mM CaCl<sub>2</sub>, 60mM MgCl<sub>2</sub>, 2500mM NaCl, 100mM Tris.Cl pH 8,0  
5mM EDTA

Nakon 4, 6 i 8 minuta digestije, uzimani su alikvoti od 100µl i reakcija je zaustavljana sa 20µl 100mM EGTA\*. Iz pojedinačnih zaustavljenih reakcija su uzimane alikvoti od 4µl, razblaživane do 20µl (finalno 100mM NaCl) i na osnovu

proizvoda Eco RI digestije vršena je procena skraćenja dvolančanog molekula DNK u pojedinim vremenskim intervalima.

\*EGTA gradi helate specifično sa dvovalentnim kalcijumom i inhibira aktivnost Bal31 nukleaze, dok slobodan magnezijumov jon omogućava nesmetano dejstvo restripcionih enzima.

### 3.2.5. Defosforilacija 5' krajeva DNK alkalnom fosfatazom

Defosforilacija je radena sa alkalnom fosfatazom izolovanom iz creva teleta (calf intestinal alkaline phosphatase-CIAP) pre nego sa bakterijskom alkalnom fosfatazom (BAP) jer se inaktivacija CIAP-a uspešno vrši na temperaturi od 68° C u prisustvu SDS-a. Postupak je u potpunosti obavljen prema protokolu koji je dao Maniatis et al. (1982)

DNK \* 45µl  
10xCIAP pufer 5µl

CIAP enzim 0.01 jedinica/ 1pmol 5' kraja DNK

\*500mM Tris.HCl pH 9,0; 10mM MgCl<sub>2</sub>; 1mM ZnCl<sub>2</sub>; 10mM spermidin

Kod DNK sa istureniim 5' krajevima reakcija se odigrava na 37° C 30 minuta, a zatim se doda sveža količina enzima i reakcija ponovi, dok je kod DNK sa poravnatim 5' i 3' krajevima kao i uvučenim 5' krajevima nakon 15 minuta digestije na 37° C potrebno držati uzorak 15 minuta na 56° C i celu operaciju ponoviti sa svežim enzimom.

Inaktivacija enzima se radi 15 minuta na temperaturi od 68° C po dodatku 40µl H<sub>2</sub>O, 10µl 10xSTE pufera (100mM Tris.HCl pH 8,0; 1mM NaCl; 10mM EDTA) i 5µl 10% SDS-a. Uzorak se ekstrahuje dva puta sa smešom fenol/hloroform i dva puta sa hloroformom i propusti kroz Sephadex G-50 kolonu.

3.2.6. Popunjavanje uvučenih 3' krajeva DNK pomoću velikog fragmenta polimeraze I DNK (Klenow fragment)

Popunjavanje uvučenih 3' krajeva lanaca DNK je rađeno primenom protokola koji je dao Maniatis *et al.* 1982,

DNK (~1pmol krajeva)	14 $\mu$ l
10x "Nick"-translacioni pufer	2 $\mu$ l
dATP, dGTP, dCTP, TTP	4 $\mu$ l (10nmola svakog) *

PolIK 1 jedinica  
 Inkubira se na sobnoj temperaturi 30 minuta. Reakcija se zaustavi sa 1 $\mu$ l 500mM EDTA, ekstrahuje dva puta sa smešom fenol/hloroform, dva puta sa hloroformom i propusti kroz Sephadex G-50 kolonu.

\* Sva četiri deoksinukleotida se dodaju samo ako su i zastupljeni u komplementarnom lancu. Takođe, u pojedinim eksperimentima je ubacivan neki od [ $\alpha$ -<sup>32</sup>P]dNTP ukoliko je bila potrebna obeležena DNK.

500mM Tris.Cl pH 7,2; 100mM MgSO<sub>4</sub>, 1mM DTT, 500 $\mu$ g/ml BSA

3.2.7. Ligacija DNK

Ligacija molekula DNK je rađena pomoću enzima T4 DNK ligaze u puferizovanoj sredini u prisustvu Mg<sup>++</sup>, ATP-a i DTT-a:

DNK*	14.4 $\mu$ l (100 fmol)
10x ligacioni pufer	2.0 $\mu$ l
ATP 10mM	2.0 $\mu$ l
DTT 100mM	1.6 $\mu$ l

T4 DNK ligaza (0.1 jedinica)  
 Inkubacija se radi preko noći na 15° C

\* 5' krajevi vektora su defosforilisani a molarni odnos vektor:insert = 1

330mM Tris.Cl pH 7,4; 66mM MgCl<sub>2</sub>

U slučaju kada su 5'i 3' krajevi koji treba da se ligiraju poravnati ("blunt-end"), rađena je ligacija na dva načina:

1) DNK se liofilizuje i rastvori u  $5\mu\text{l}$  smeši koja se sastoji od 33mM Tris. Cl, pH 7,4; 6,6mM MgCl<sub>2</sub>; 0,4mM ATP; 8,0mM DTT. Ligacija je urađena sa 100 jedinica T<sub>4</sub> DNK ligaze u zatopljenoj kapilari na 16°C preko noći.

Molarni odnos (defosforilisan vektor:insert) je bio 1.4, sa ukupno 3pmola "blunt-end" krajeva.

2) DNK (molarni odnos vektor:insert = 1, ukupno 2pmola "blunt-end" krajeva) je liofilizovana i rastvorena u  $16\mu\text{l}$  H<sub>2</sub>O.

DNK	* 16 $\mu\text{l}$
5xligacioni pufer ("Blunt-end")	4 $\mu\text{l}$

T<sub>4</sub> DNK ligaza 1 jedinica

Ligacija obavljena u "Eppendorf" epruveti od 500 $\mu\text{l}$  na temperaturi od 16°C preko noći. Na kraju se ligaciona smeša razblaži dejonizovanom H<sub>2</sub>O do 100 $\mu\text{l}$ .

\* 250mM Tris. HCl pH 7,6; 50mM MgCl<sub>2</sub>; 25%(w/v) polietilenenglikol 8000; 5mM ATP; 5mM DTT

### 3.2.8. Transformacija *E. coli* plazmidnom DNK

Transformacija *E. coli* sa plazmidnom DNK je rađena po modifikovanoj metodi Hanahana (1983).

1. 10ml svežeg medijuma se inokulira sa 10 $\mu\text{l}$  prekonoćne kulture i snažno mučka do 0.2-0.4 OD A<sub>600</sub>. Kultura se rashladi na 4°C. Cela procedura u daljem radu se odvija na 4°C ukoliko nije drugačije naznačeno.

2. 1ml kulture se sedimentira u "Eppendorf" epruveti od 1,5ml 20-30 sekundi na 2500xg (6000rpm u Eppendorf centrifugi).

3. Ćelije se isperu sa 100 $\mu\text{l}$  hladnog transformacionog pufera (Tfb)\* i resuspenduju u 200 $\mu\text{l}$  Tfb.

4. Nakon 20 minuta stajanja na ledu doda se 7 $\mu\text{l}$  DMSO i posle 5 minuta doda se nova količina od 7 $\mu\text{l}$  DMSO.

5. Smeša se blago promučka i stoji 15 minuta, a zatim se doda plazmidna DNK ( $\leq 10\mu\text{l}$ ) i uz povremeno blago mučkanje stoji 20 minuta.

6. Uzorku se tada temperatura podigne na  $42^\circ \text{ C}$  (ukoliko u određenom eksperimentu nije drugačije naznačeno) u periodu od 90 sekundi, a zatim se drži na ledu 60 sekundi.

7. Uzorku se doda  $800 \mu\text{l}$  medijuma i inkubira 40 minuta na  $37^\circ \text{ C}$  uz povremeno mučkanje.

8. Na sveže spravljenе šolje sa odgovarajućim antibiotikom razmazuje se  $100\text{-}200\mu\text{l}$  uzorka i dalje inkubira preko noći na  $37^\circ \text{ C}$ .

\*TRANSFORMACIONI PUFER (Tfb):  $100\text{mM RbCl}$ ;  $45\text{mM MnCl}_2$ ;  $35\text{mM kalijumacetat}$ ;  $80\text{mM CaCl}_2$

K-acetat i  $\text{CaCl}_2$  dodavati iz koncentrovanih rastvora (1MD i regulisati pH na 5.92, zatim dodati  $\text{RbCl}$  i  $\text{MnCl}_2$  u prahu. Nakon ovoga pH treba da bude  $5.8 \pm 0.02$ . Regulacija pH je dozvoljena sa vrlo razblaženim kalijumacetatom i kalijumhidroksidom.

### 3.2.9. Elektroforeza DNK na gelu od agaroze

Razdvajanje molekula DNK (dimenzija od 0.1 kbp do 60 kbp) za analitičke i preparativne svrhe, uspešno se može obaviti na gelu od agaroze ako se koncentracija gela odabere u opsegu od 2,0-0,3%. Sastav pufera za pravljenje gela i elektrolit za elektroforezu je sledeći:

$40\text{mM Tris-acetat pH 7.8}$ ;  $2\text{mM EDTA}$

Pri izboru koncentraciji gela najčešće je korišćena sledeća tabela:

Agaroza %	Efikasno razdvajanje linearnih DNK molekula (kb)
0.3	60-5
0.6	20-1
0.7	10-0.8
0.9	7-0.5
1.2	6-0.4
1.5	4-0.2
2.0	3-0.1

### Pripremanje gela za elektroforezu

1. Odmeri se određena količina agaroze i kuva sa puferom dok se agarozu ne rastvori
2. Rastvorenna agarozu se hlađi do 50° C uz mešanje na magnetnoj mešalici i prebaci u unapred spremljen kalup
3. Kada gel je kompletno očvrstne, pažljivo se izvuče česalj, stavi se gel u kadicu za elektroforezu i nalije pufer preko gela
4. Na pet zapremina uzorka se dodaje jedna zapremina pufera za uzorak (0.25% bromfenol plavo i 40% w/v saharoza u H<sub>2</sub>O).
4. Uslovi elektroforeze: 1-5 V/cm gela
5. Etidijum bromid se dodaje u pufer za elektroforezu (0.5µg/ml H<sub>2</sub>O)

### 3.2.10. Izolovanje i prečišćavanje DNK elektroforezom na gelu od poliakrilamida

Uzorak se seče sa odgovarajućim restrikcionim enzimom nakon čega se vrši deproteinizacija sa istom zapreminom smeše fenol/hloroform dva puta, a zatim još dva puta sa hloroformom. Između svake ekstrakcije smeša se centrifugira 3 minuta na 12000xg (12000 rpm u centrifugiji tipa "Eppendorf"), vodena faza u kojoj je DNK se čuva, a organska faza se baca. Alkoholna precipitacija se radi sa 0,1 zapreminom 3M Na-acetata i 3 volumena 98% etanola. Dobro se promeša i стоји >10 min na -70° C u smeši suvi led etanol. Uzorak se zatim centrifugira 12000xg 10 minuta, opere ledenim etanolom i suši. Uzorak se rastvori u 10-30µl pufera za akrilamid gel elektroforezu i nanese u otvor na gelu površine 30mm<sup>2</sup> na ploču dimenzija 1,5x200x400mm. Koncentracija gela se određuje prema dimenzijama fragmenta koji treba da se izoluje.

Koncentracija poliakrilamida	Dužina lanca polinukleotida koja odgovara migraciji boje		
akrilamid	AA/bis	bromfenol plavo	ksilencijanol
8%	29:1	20	125
5%	19:1	55	170
4%	19:1	83	400
4%	29:1	100	430

Uzorak se rastvara u puferu koji sadrži:

10% glicerol

50 mM Tris-Borat pH 8,3

0,05% xilen cyanol

0,05% bromphenol blue

Uslovi elektroforeze: 40 mA, 10W

Elektroforeza traje dok boja ne pređe određenu razdaljinu.

Pozicija željenih traka DNK se određuje tako što se između ploče za tankoslojnu hromatografiju impregniranu fluorescentnom bojom i UV lampe (254nm) postavi gel.

Traka se iseče i gel sa trakom se fino izmrvi u "Eppendorf" epruveti od 1,5ml dok se ne dobije "pasta", doda se 600µl pufera za eluiranje (500mM amonijumacetat; 10mM magnezijumacetat; 1mM EDTA; 0,1% SDS) i drži preko noći na 37° C.

Smeša se prebaci u plastični špric od 2ml u kome se nalazi čep od silikonizovane staklene vune i supernatant propusti u silikonizovanu\* "Eppendorf" epruvetu od 1,5ml centrifugiranjem na 200xg (Klinička centrifuga, Heraeus Labofuge, 1300rpm) 3 minuta.

Supernatant se 4-5 puta ekstrahuje sa jednakom zapreminom n-butanolom, upari na "speed vac-u" do 100µl i propusti kroz Sephadex G-50 kolonu.

Ovako izolovana i prečišćena DNK može da se upotrebi za sve dalje manipulacije.

\*Smeša za silikonizovanje: 5% dimetildihlorsilan u hloroformu ili ugljentetrahloridu

Zapremine osnovnih komponenti potrebnih za spravljanje poliakrilamidnog (PAA) gela različitih koncentracija.

	% PAA gela									
	3	4	5	6	8	10	12	15	20	
	Zapremine komponenti u ml									
Akrilamid*	15	20	25	30	40	50	60	75	100	
10xTris-Borat <sup>§</sup>	20	20	20	20	20	20	20	20	20	
Dejonizovana voda	163	158	153	148	138	128	118	103	78	
TEMED	0.2	0.2	0.2	0.2	0.2	0.2	0.2	0.2	0.2	
5% amon-persulfat	2	2	2	2	2	2	2	2	2	

\* 40% akrilamid (Akrilamid/bis 19:1)

§ 10xTris-Borat pH 8,3: Tris baza 108g  
Borna kiselina 56g  
500mM EDTA pH 8,0 40ml

### 3.2.10.1. Prečišćavanje sintetisanih deoksioligonukleotida na gelu od poliakrilamida

Sintetisani oligonukleotidi se skidaju sa kolone sa koncentrovanim amonijakom. Uklanjanje zaštitnih grupa sa funkcionalnih grupa na bazama obavlja se u prisustvu koncentrovanog amonijaka u dobro zaptivenim posudama na 55° C najmanje šest sati. Amonijačni rastvor oligonukleotida se uparava do suva na "Speed vac"-u.

Posle skidanja sa CPG kolone i "deprotekcije" sintetisanih oligonukleotida korišćena je metoda prečišćavanja na poliakrilamidnom gelu.

U sastav poliakrilamida ulazi 7M urea, 90mM Tris-borat pH 8,3 i 2mM EDTA. Izbor koncentracije akrilamida se određuje prema sledećim kriterijumima:

dužina oligomera	koncentracija akrilamida
< 20 baza	20%
20-30 "	16%
> 30 "	12%

Napravi se poliakrilamid gel dimenzija 400x200x1,5mm sa otvorima za nanošenje uzorka od 20x1,5mm. Preporučljivo je da gel stoji preko noći ili bar nekoliko sati pre puštanja uzorka na elektroforezu. Preelektroforeza se obavlja najmanje 30 minuta. Liofilizovan sintetisan oligomer se rastvara u minimalnoj zapremini dejonizovanog 98% formamida koji sadrži 10mM EDTA. Koncentracija uzorka je približno 1 OD (A<sub>260</sub>)/μl. Količina nanešenog uzorka varira između 3 i 6 OD (A<sub>260</sub>). Elektroforeza teče na 400V preko noći dok boja bromfenol plavo ne prevali razdaljinu od približno 30 cm. Po završenoj elektroforezi sečenje traka, eluiranje sa gela i dalje prečišćavanje se obavlja kao što je to opisano u proceduri za izolovanje i prečišćavanje DNK elektroforezom na poliakrilamid gelu (poglavlje Metode sekcija 3.2.9.).

### 3.2.11. Prečišćavanje DNK:

#### 3.2.11.1. Sephadex G-50

Ovaj postupak donekle je modifikacija detaljno opisane procedure (Maniatis *et al.* 1982).

U plavi silikonizovani nastavak za automatsku pipetu od 1000μl ubaci se čep od silikonizovane staklene vune i u nastavku se formira kolona zapremine od 900μl Sephadex-a G-50. Kolona se formira centrifugiranjem u kliničkoj centrifugiji Heraeus na 1600xg (3200rpm) tačno 3 minuta. Kolona se dva puta ispira sa 100μl TE pufera i između svakog ispiranja se centrifugira pod istim uslovima kao što je već opisano, a zatim se nanese 100μl DNK i opet centrifugira 3 minuta na 1600xg. Eluirana DNA se nalazi u zapremini od 100μl i može da se liofilizuje i čuva na -20° C.

### 3.2.11.2. Prečišćavanje DNK adsorpcijom na staklenim vlaknima

Ova metoda je rađena ili sa komercijalnom "opremom" za prečišćavanje DNK ( "GENE CLEAN" KIT # 3105 "BIO 101" ) ili metodom koja je razvijena u našoj laboratoriji.

1. Iseče se traka sa agaroznog gela i izmeri masa (ili zapremina ako je uzorak DNK u rastvoru) i gel iseče na manje komadiće.

2. Doda se dvostruka zapremina rastvora natrijumjodida\*

3. Ako je uzorak u agaroznom gelu zagreva se na 45° do 55° C 5 minuta ili duže dok se agarozna kompletno ne rastvori

4. Doda se 1µl suspenzije staklenih vlakana u vodi/µg DNK i promučka na "vortex" mešalici

5. Inkubira se 5 min na 4° C

6. Centrifugira se 15 sekundi na 12000xg (12000rpm u "Eppendorf" centrifugi)

7. Talog se resuspenduje i ispira tri puta sa 10-50 zapremina smeše za ispiranje (etanol/voda/Tris/EDTA)\* i centrifugira između svakog ispiranja na 12000xg 15 sekundi

8. Talog se resuspenduje u vodi i zagreva na 45-50° C nekoliko minuta

9. Centrifugira se na 12000xg 1-3 min

10. Supernatant se pažljivo uzme i tačka 8-10 ponovi.

Prečišćeni fragment DNK posle ovakve procedure je oslobođen proteina, RNK i malih molekula.

\*rastvor natrijumjodida: (6M NaJ/0.2M Na-sulfit)

rastvoriti 1.2g Na-sulfita u 40 ml deionizovane vode na 40-70° C. Polako se dodaje u rastvor koji se meša 45 g NaJ. Rastvor se konačno filtrira i čuva u tamnoj boci na 4° C.

\*smeša za ispiranje: Etanol, 50% (v/v); Tris.Cl 10mM pH 8,0; EDTA 1mM pH 8,0

Staklena vlakna (grade 106 Schleicher & Schull):

Staklena vlakna se u porculanskom avanu dobro samelju i spraše i sa deionizovanom vodom se napravi emulzija (1mg/µl). Čuva se na 4° C.

### 3.2.12. Radioaktivno obeležavanje DNK

Obeležavanje DNK smo vršili enzimskom reakcijom fosforilacije 5' hidroksilne grupe korišćenjem adenozin 5'-[ $\gamma$ -<sup>32</sup>P] trifosfata kao prekursora i enzima T4 polinukleotid kinaze. Druga metoda se zasniva na popunjavanju uvučenih 3' krajeva dvolančane DNK sa 5'-[ $\alpha$ -<sup>32</sup>dNTP] kao prekursorima i enzimom "Klenow fragment" polimeraze DNK korišćenjem slobodnog 5' kraja dvolančane DNK kao templata.

Obeležavanje 5' hidroksilnih krajeva DNK:

DNK (defosforilisana)	5 $\mu$ l (do 50 pmola 5' krajeva)
dejonizovana voda	35 $\mu$ l
500mM Tris.HCl pH 7,6,	
100mM MgCl <sub>2</sub> , 50mM DTT,	
1mM spermidin, 1mM EDTA	5 $\mu$ l
[ $\gamma$ - <sup>32</sup> P]-ATP, >3000 Ci/mmol	
50pmola ili više	5 $\mu$ l

1-10 jedinica PNK 30 min na 37° C

Obeležavanje popunjavanjem uvučenih 3' krajeva DNK:

DNK (1 pmol)	13 $\mu$ l
dNTP (2nmola svakog)	4 $\mu$ l
[ $\alpha$ - <sup>32</sup> P-dNTP] >3000Ci/mmol	1 $\mu$ l
"Klenow fragment"	1 jedinica

30 min na sobnoj temperaturi

Kod oba načina obeležavanja reakcija se zaustavlja dodavanjem EDTA da finalna koncentracija bude 10mM. Kvalitet obeležavanja se proverava na tankoslojnoj hromatografiji na PEI celulozi pri čemu se kao rastvarač za eluiranje koristi 400mM NaH<sub>2</sub>PO<sub>4</sub> pH 3,5. Ekspozicijom Röntgen filma dobijaju se tačke koje odgovaraju pokretljivosti radiaktivnih komponenti. Pri tome Rf za ortofosfat treba da iznosi 0,6, za ATP 0,3 i za DNK 0,0.

### 3.2.13. Autoradiografija

Autoradiografija se u principu vrši prislanjanjem Röntgen (X-Ray) filma na gel, filter ili TLC pločicu gde se obeležena DNK nalazi. Dužina ekspozicije se određuje empirijski prema specifičnoj aktivnosti DNK. Upotreba jednog ili dva "SCREEN"-a za intenziviranje na temperaturama do -70° C može desetak puta da pojača intenzitet signala na filmu. Po zavrešenoj ekspoziciji film se razvija u nekom od komercijalnih razvijača ili u razvijaču za Röntgen filmove sledećeg sadržaja:

#### NEGATIV RAZVIJAČ ( X RAY )

VODA	750ml
METOL	3. 5g
Na <sub>2</sub> SO <sub>3</sub>	60. 0g
HIDROHINON	9. 0g
Na <sub>2</sub> CO <sub>3</sub>	40. 0g
KBr	3. 5g

Dopuni se destilovanom vodom do 1000ml  
Film se razvija 5-7 minuta na 20° C

### 3.2.14. Određivanje primarne strukture (sekvenciranje) DNK

Određivanje primarne strukture DNK je radjeno po metodi Maxam-a i Gilbert-a (1980) prema sledećem skraćenom protokolu:

G	A&G	T&C	C
200µl G-puf*	10µl H <sub>2</sub> O	10µl H <sub>2</sub> O	15µl 5MNaCl
5µl DNK	10µl DNK	10µl DNK	5µl DNK
1µl DMS	2µl pf*	30µl hidrazin	30 µl hidrazin
20° C 6min	37° C 30 min	20° C 10±5min	20° C 10±5min
50µl DMS stop*	-70° C	200µl HZ stop*	200µl HZ stop*
750µl etanol	liofiliz.	750µl etanol	750µl etanol
5min -70° C		5min -70° C	5min -70° C
12000G 10min	20µl H <sub>2</sub> O	12000G 10min	12000G 10min
talog	liofiliz.	talog	talog
250µl NaAc		250µl NaAc	250µl NaAc
750µl etanol		750µl etanol	750µl etanol
5min -70° C		5min -70° C	5min -70° C
12000G 10min		12000G 10min	12000G 10min
talog		talog	talog
etanol pranje		etanol pranje	etanol pranje
sušenje		sušenje	sušenje
piperidine	piperidine	piperidine	piperidine
0.1M 150µl	0.1M 150µl	0.1M 150µl	0.1M 150µl
90° C 30min	90° C 30min	90° C 30min	90° C 30min
liofiliz.	liofiliz.	liofiliz.	liofiliz.
>2 časa	>2 časa	>2 časa	>2 časa
50µl H <sub>2</sub> O			
liofiliz.	liofiliz.	liofiliz.	liofiliz.
>2 časa	>2 časa	>2 časa	>2 časa
40µl H <sub>2</sub> O			
liofiliz.	liofiliz.	liofiliz.	liofiliz.
>1 čas	>1 čas	>1 čas	>1 čas
5µl boja	5µl boja	5µl boja	5µl boja
formamid-	formamid-	formamid-	formamid-
NaOH	NaOH	NaOH	NaOH
90° C 30min	90° C 30min	90° C 30min	90° C 30min
0° C	0° C	0° C	0° C
ELFO	ELFO	ELFO	ELFO

G-puffer: 50mM natrijumkakodilat pH 8,0; 1mM EDTA

DMS: dimetilsulfat

pF: piperidin/format pH 2,0 (4% mravlja kiselina doterana na pH 2,0 sa piperidinom)

DMS stop: 1,5M natrijumacetat pH 7,0; 1,0M  $\beta$ -merkaptoetanol; 100 $\mu$ g/ml tRNK

H2 stop: 0,3M natrijumacetat; 0,1M EDTA; 25 $\mu$ g/ml tRNK

### 3.2.15. Hemiska sinteza oligodeoksinukleotida

Sinteza oligodeoksinukleotida je radena automatski na mašini firme Applied Biosystems model 381A. Sinteze su radene na kolonama sa staklenim zrncima sa kontrolisanim porama na kojima je vezan prvi deoksinukleotid preko 3' hidroksilne grupe u količini od 0,2 $\mu$ mola (CPG-controlled pore glass). Sintetisani oligodeoksinukleotid je skidan sa kolone i prečišćavan kako je opisano u sekciji 3.2.9.1. Koncentrovanim amonijakom sa kolone su skinuti sintetisani oligonukleotidi a zatim je 10 do 12 sati radena "deprotectacija" zaštićenih funkcionalnih grupa na 55° C u koncentrovanim amonijaku. Uzorak u amonijaku je zatim uparen do suva na "Speed Vac-u" i sintetisani oligodeoksinukleotid je prečišćavan elektroforezom na gelu od poliakrilamida kao što je opisano u poglavlju 3.2 Metode (sekcija 3.2.9.1.)

### 3.2.16. Određivanje aktivnosti $\beta$ -galaktozidaze

Aktivnost  $\beta$ -galaktozidaze je mjerena po metodi Miller-a (1972)

1. Zasadi se 50 $\mu$ l kulture koja je rasla preko noći u medijumu LB u prisustvu odgovarajućeg antibiotika u 5ml 1X MEDIJUMA\*

2. Mučka se u erlenmajeru od 50 ml do optičke gustine od oko 0,1-0,2 A<sub>600</sub>, nakon čega se vrši indukcija (IPTG, temperaturni pomak,...).

3. Posle 100 do 120 min. indukcije kultura se stavi na led i meri se gustina ćelija na A<sub>600</sub>.

4. Istovremeno se odvoji 0.1ml kulture i doda 0.9 ml "Z"-pufera. Za niže vrednosti  $\beta$ -galaktozidaze može da se uzme 0.5 ml uzorka i 0.5 ml "Z"-pufera.
5. Dodaju se dve kapi hloroform-a i jedna kap 0.1% SDS-a i pomeša na "Vortex" mešalici.
6. Stave se epruvete u vodeno kupatilo na 28° C 10 min.
7. Reakcija počinje dodavanjem 0.2 ml ONPG-a (4mg/ml)
8. Vreme se meri štopericom (dok se ne razvije žuta boja)
9. Reakcija se prekida dodavanjem 0.5ml 1M  $\text{Na}_2\text{CO}_3$  (5-20 min.)
10. Meri se optička gustina na 420 nm i 550 nm

\*

1 XMEDIJUM:

		10X M63 pH 7.0 (KOH)	
10X M63	100 ml	$\text{KH}_2\text{PO}_4$ (1MD)	136 g
20% glukoza	10 ml	$(\text{NH}_4)_2\text{SO}_4$	
1M $\text{MgSO}_4$	1 ml	$\text{FeSO}_4 \cdot 7\text{H}_2\text{O}$	20 g
0.337% Tiamin	5 ml	$\text{H}_2\text{O}$	5 mg
$\text{H}_2\text{O}$	884 ml		do 1000 ml

§

"Z" pufer

16.10g	$\text{Na}_2\text{HPO}_4 \cdot 7\text{H}_2\text{O}$	(0.06MD)	pH 7.0
5.50g	$\text{NaH}_2\text{PO}_4 \cdot \text{H}_2\text{O}$	(0.04MD)	
0.75g	KCl	(0.01MD)	
0.246g	$\text{MgSO}_4 \cdot 7\text{H}_2\text{O}$	(0.001MD)	
2.7 ml	$\beta$ -merkaptoetanol	(0.05MD)	

Jedinice  $\beta$ -galaktozidaze se izračunavaju prema sledećoj formuli:

$$\text{Jedinica } \beta\text{-galaktozidaze} = 1000 \times \frac{\text{OD}_{420} - 1.75 \times \text{OD}_{550}}{t \times v \times \text{OD}_{600}}$$

t- vreme inkubacije sa ONPG-om

v- zapremina uzorka

### 3.2.17. Određivanje biološke aktivnosti $\beta$ -interferona

Određivanje biološke (antivirusne) aktivnosti je rađeno na sledeći način.

Kada kultura koja sadrži klon koji produkuje  $\beta$ -interferon stigne u ranu stacioniranu fazu otpočinje se indukcija 1mM IPTG-om, temperaturnim pomakom ili na oba načina u vremenu od dva sata. Centrifugiraju se "Eppendorf" epruveti 3 minita na 12000xg (12000 rpm u "Eppendorf" centrifugu) na 4° C količine indukovane kulture koje sadrže po 1.5 OD A<sub>550</sub>. Talog se resuspenduje u 250 µl rastvora za liziranje ćelija (lizozim, 10µg/ml; Tris.Cl, 10mM pH 7,0; EDTA 10mM pH 8,0) i nakon jednog sata stajanja u ledenom kupatilu (smeša leđ/voda) uzorak se četiri puta zamrzava u tečnom azotu i otapa stajanjem u ledenom kupatilu, a potom se deset puta propusti pomoću šprica od 1 ml kroz insulinsku iglu (26G). Uzorak se zatim centrifugira 10 minuta na 12000xg na 4° C a supernatant koji se čuva na -20° C je spreman za određivanje antivirusne aktivnosti interferona. Antivirusna aktivnost interferona je vršena na osnovu inhibicije citopatogenog efekta na humanim WISH ćelijama po metodi Rubinsteina et al. (1981).

činjenice da niti klon pIF4 u regulacionoj sekvenci

TATA sekvenca i CAP mesto nisu uklonjena. Stop kodon se uklonio jer je prepoznat kao i u originalnoj sekvenci, ali je uklonjena i sekvenca signalnog peptida. U rezultatu je uklonjeno

#### 4. REZULTATI

##### 4.1. Deleacija egzonukleazom Bal 31 5' uzvodnog regulatornog regiona i regiona koji kodira za signal peptid β-interferona

S obzirom da se ishodni gen humanog β-interferona nalazio na vektoru koji u tom obliku nije bio aktiviran, neophodno je bilo da se obave dve bitne operacije s ciljem da se dobije ekspresioni vektor i biološki funkcionalan proizvod kloniranog gena:

1. da se uklone regulatorni eukariotski delovi DNK i sekvenca koja kodira za signal peptid

2. da se klonirani gen sa odstranjениm nepotrebnim nizovima DNK stavi pod direktnu kontrolu bakterijskih regulatornih sekvenci.

Da bi se kodirajući region za humani β-interferon stavio direktno pod kontrolu bakterijskog promotora, osnovna ideja je bila da se sa Bal 31 egzonukleazom ukloni na ishodnom plazmidu pIF4 odgovarajući region na kome se nalazi prirodna regulatorna sekvenca i kodirajući region za signal peptid gena za humani β-interferon.



Slika 3. Shematski prikaz fragmenta od 921 parova baza koji sadrži 5' regulatornu sekvencu (TATA blok i CAP mesto), 3' nizvodno od prvog ATG kodona sekvencu za signal peptid (sig) i 3' nizvodno od drugog ATG kodona sekvencu strukturalnog gena (str) za zreli β-interferon. Stop (TGA) kodon se nalazi na 3' kraju. Vertikalne tačkaste linije označavaju na 5' kraju Eco RI a na 3' kraju Sau 3A restrikciono mesto. Označena mesta na shemi nisu proporcionalno prikazana.

Činjenica da naš klon pIF4 u regulatornoj sekvenci između TATA regiona i CAP mesta sadrži sekvencu (bp 269-274, CCATGG) koju prepoznaće Nco I endonukleaza, [što smo utvrdili restrikcionom analizom klena, a različita je od sekvene koju su referisali Ohno i Taniguchi, 1981, (bp 269-274, CCACGG) dok je u saglasnosti sa autorima, Lawn et al. 1981, Gross et al., 1981, Degrave et al., 1981, Tavernier et al. 1983] omogućila nam je da na pogodnom mestu linearizujemo plazmid. Ovo restrikciono mesto je izabранo kao najpogodnije jer je jedinstveno na plazmidu pIF4, a istovremeno je udaljeno od start kodona (ATG) strukturalnog gena za  $\beta$ -interferon za samo 150 parova baza, dok je udaljenost do Eco RI mesta na drugoj strani 269 parova baza (Slika 4).



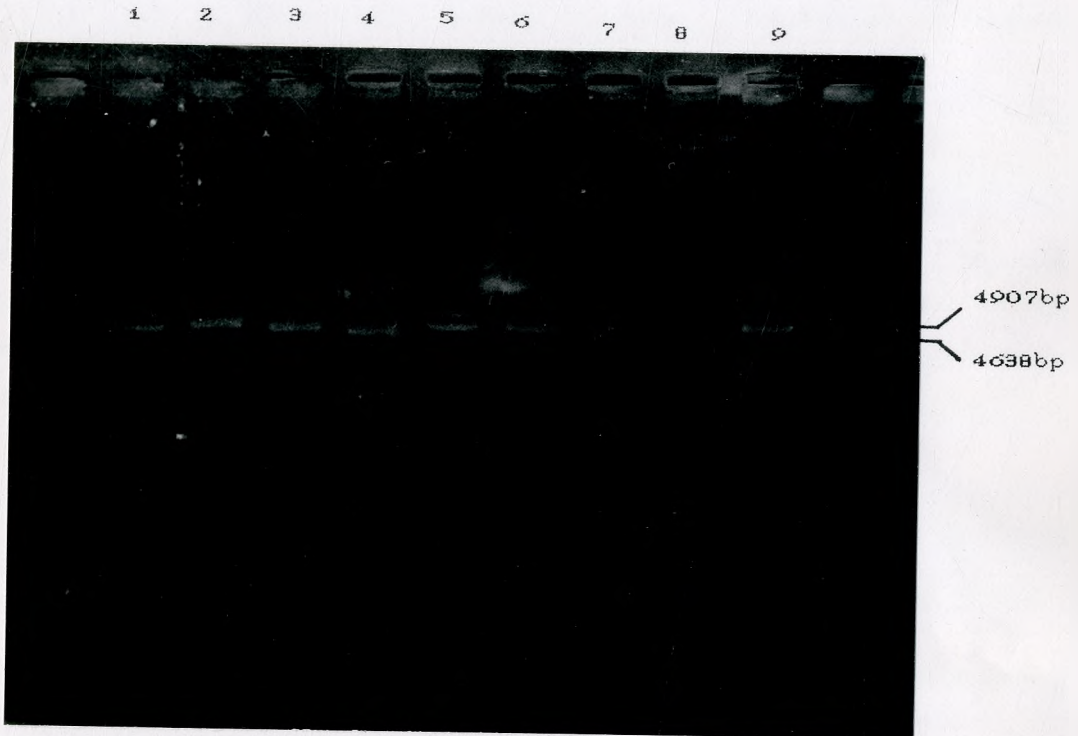
Slika 4. Shematski prikaz fragmenta od 419 parova baza (uokviren Eco RI mestom i drugim ATG kodonom) koji sadrži 5' regulatornu sekvencu i sekvencu za signal peptid.

Ovakva asimetrična pozicija Nco I mesta je omogućila da se egzonukleazom sa jedne od strana primakne do ATG kodona, a da se istovremeno sačuva Eco RI mesto. Ova pogodnost je znatno olakšavala dalji tok u konstruisanju ekspresionog vektora. Kontrolisanom digestijom sa Bal 31 egzonukleazom uklonjeno je oko 150 parova baza uzvodno i nizvodno od NcoI mesta, tako da je Eco RI mesto na najvećem broju molekula ostalo očuvano za buduću digestiju. Ovo je onda znatno olakšavalo kasnije ubacivanje promotorske sekvene.

Slika 5. prikazuje digestiju linearizovanog (Nco I) plazmida pIF4 sa Bal 31 egzonukleazom u različitim vremenskim intervalima (4, 6 i 8 minuta). U različitim intervalima digestije dobijene su smeše progresivno skraćenih molekula. Krajevi DNK su obradeni sa polimerazom I DNK (PolIk), smeša fragmenata sa optimalnim skraćenjem je posle digestije sa Eco RI endonukleazom prečišćena i

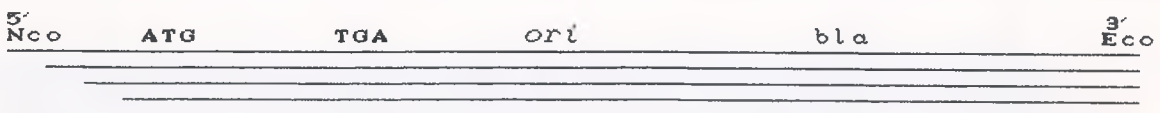
Slika 5. Elektroforeza na gelu od agaroze delova plazmida pIF4 skraćenih egzonukleazom Bal 31.

Pozicija na gelu, 1, 5 i 9: Standard DNK 4907bp i 4638bp (plazmid pIF4 sečen sa Eco RI odnosno Eco RI + Nco I). Pozicija 2, 3 i 4: DNK posle 4, 6 i 8 minuta digestije sa egzonukleazom Bal 31. Pozicije 6, 7 i 8: isto kao i kod pozicija 2, 3 i 4, ali uz dodatnu digestiju sa endonukleazom Eco RI.



Slika 5.

upotrebljena za konstruisanje ekspresionog vektora. Na slici 6. shematski je prikazana smeša finalno obradjenih fragmenata spremna za konstrukciju ekspresionog vektora.



Slika 6. Shematski prikaz smeše deletiranih fragmenata posle digestije sa Eco RI.

Na shemi su prikazane približne pozicije start i stop kodona (ATG i TGA) gena za  $\beta$ -interferon, "origin"-a replikacije (ori) i gena za rezistenciju na ampicilin (bla).

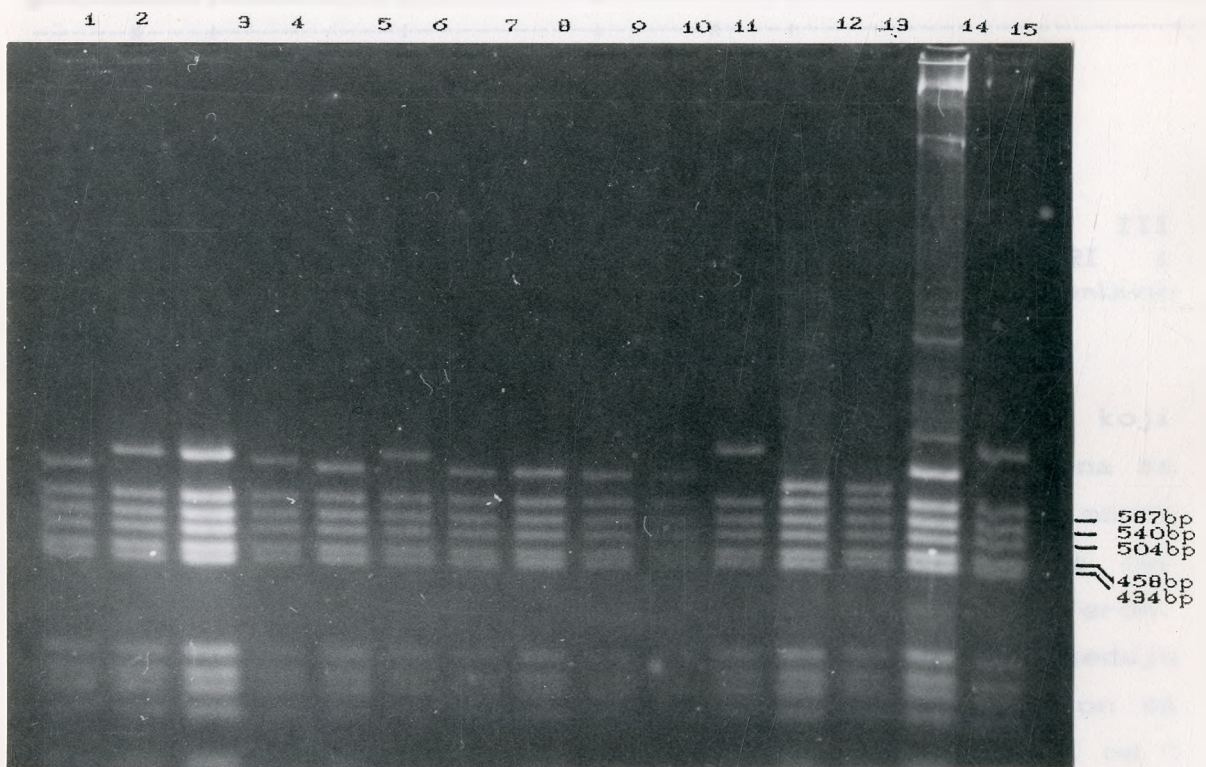
Smeši 5'deletiranih fragmenata ubačen je Eco RI-Pvu II fragment (275bp) DNK koji sadrži sekvencu tac promotora (Slika 10 i 12.). Ligacijom komponenata ove smeše i transformacijom *E. coli* dobijeno je 596 klonova, označenih kao plazmidi pDF pod brojevima od 50 do 646.

#### 4.2. Analiza klonova ekspresionih vektora s tac promotorom

Od 596 dobijenih klonova izolovano je oko 150 rekombinatnih plazmida "mini-prep" metodom. Restripcionim analizama sa *Hae*III enzimom, kao i dvostrukom digestijom sa Eco RI, Pvu II enzimima, procenjen je stepen delecije sa egzonukleazom Bal 31 te su odabirani oni klonovi čija je najsporija traka sadržavala oko 690 (*Hae* III), odnosno najbrža 409 (Eco RI-Pvu II) parova baza. Naime, u okviru fragmenata ovih dužina nalazi se tac promotor i deo sekvence DNK koja sadrži gen za  $\beta$ -interferon sa različitim delecijama na 5' krajevima, te se upravo ovi fragmenti različitih dužina nalaze kod analiziranih klonova, dok su preostali 21 fragment posle *Hae* III digestije i dva posle Eco RI-Pvu II digestije istovetni (Slika 7). Slike 8. i 9. ilustruju ove analize.

Slika 8. Elektroforeza restripcionih fragmenata DNK na gelu od agaroze.

pDF klonovi su digerirani sa Hae III enzimom. Skupina traka DNK, označena na slici strelicama, (čije su dimenzije istovetne kod svih klonova i iznose 587, 540, 504, 458, i 434 parova baza) je poslužila za konstruisanje standardne krive. Pomoću ove standardne krive je procenjivana veličina najepočitije trake i obim delecije DNK nukleazom Bal 31. Pozicije na gelu od 1 do 15 se odnose na sledeće pDF klonove: 69, 73, 74, 81, 83, 89, 90, 92, 93, 100, 104, 117, 118, 120 i 130.



Slika 8.

Bal31 egzonukleaza → → →  
 270 C ATGGAGAAAG GACATTCTAA CTGCAACCTT  
*NcoI*

301 TCGAAGCCTT TGCTCTGGCA CAACAGGTAG TAGGGGACAC TGTCGTGTT  
*TaqI*

351 GTCAACATGA CCAACAAGTG TCTCCTCCAA ATTGCTCTCC TGTTGTGCTT  
*HincII*

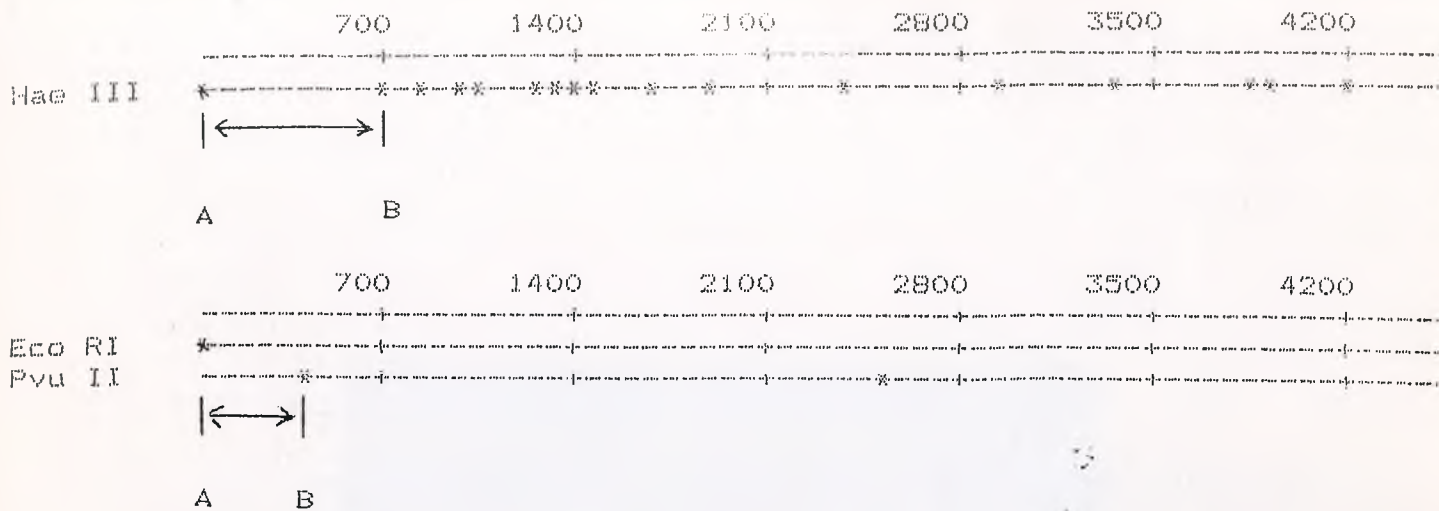
401 74, 115 94 75 81 637 78 98  
 CTCCACTACA GCTCTTCCA TGAGCTACAA CTIGCTTGGG ~~TTC~~  
*HinfI*

Slika 10. Deo sekvene humanog  $\beta$ -interferona u okviru koje je radjena digestija sa egzonukleazom Bal31. Strelicama iznad sekvene su označena mesta do kojih je išla delecija, a brojevi označavaju odgovarajuće sekvencirane klonove. Debela linija iznad sekvene označava ATG kodone za signal peptid i za zreli interferon. Isprekidana linija ispod sekvene označava mesta prepoznavanja odgovarajućih restrikcionih endonukleza.

Slika 11. shematski prikazuje postupak konstruisanja ekspresionog klena pDF81. Ovaj klon je korišćen za konstrukciju ekspresionog plazmida sa *trpA* terminacionom sekvencom na kraju gena i za ekspresiju  $\beta$ -interferona pod kontrolom tac promotora.

Sekvenciranjem je utvrđeno da je kod plazmidnog klena broj 81 označen kao pDF81, Slika 8, 9, 10, 11 i 12) delecija sa egzonukleazom Bal 31 zaustavljena tačno do ATG kodona i da rastojanje između SD sekvene i start kodona iznosi 5bp. Ovaj klon je pokazao antivirusnu aktivnost kakvu inače daje autentični humani  $\beta$ -interferon<sup>1</sup>.

<sup>1</sup> Rezultat nije prikazan jer je biološka aktivnost humanog  $\beta$ -interferona pokazana na plazmidnoj konstrukciji pDFT koja je derivat konstrukcije pDF81.

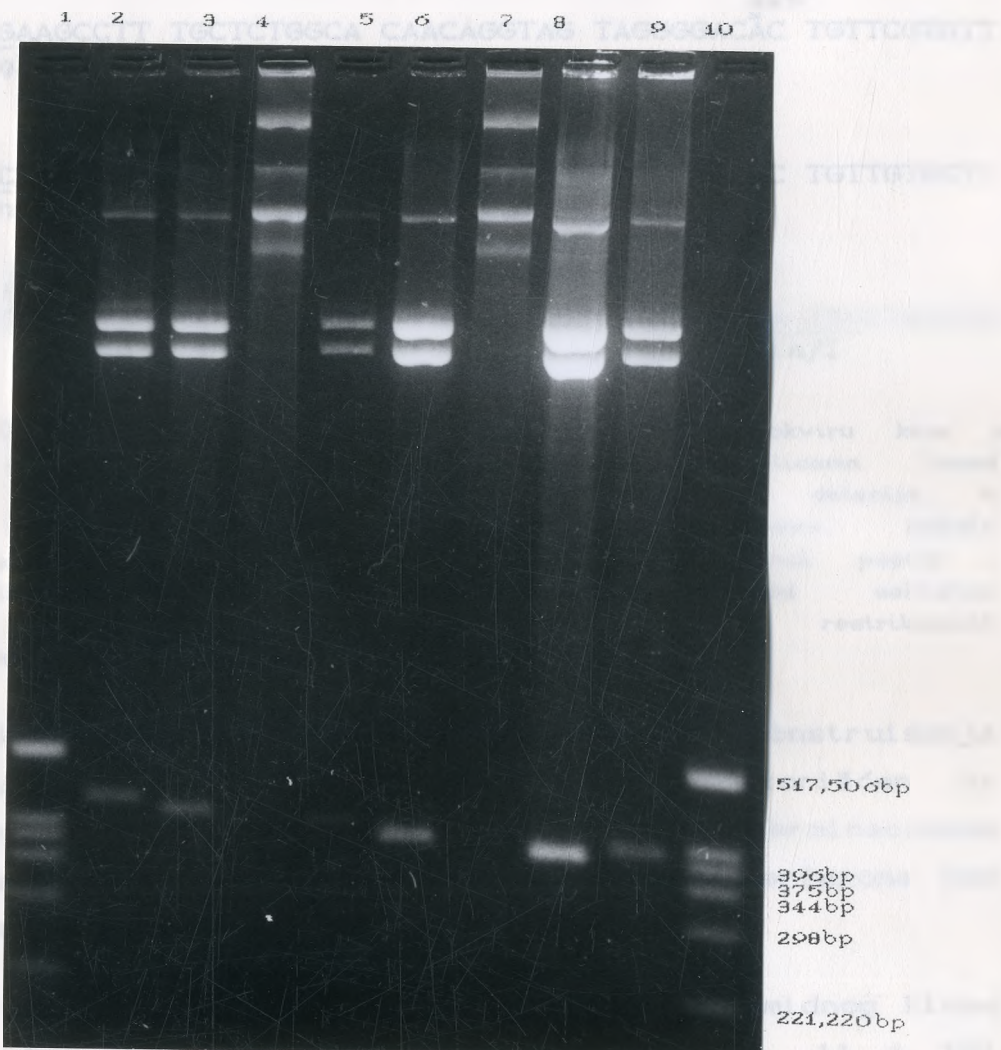


Slika 7. Grafički prikaz digestije PDF klonova sa *Hae* III endonukleazom i dvostrukog digestije endonukleaza *Eco* RI i *Pvu* II. Tačke A i B uokviruju fragmente promenljivih dimenzija.

Na osnovu procene optimalne dužine fragmenata koji sadrže sekvencu tac promotora i kodirajućeg regiona gена за  $\beta$ -interferon, odabrali smo 9 klonova i odredili primarnu strukturu (sekvencu) regiona kontakta između 3' kraja tac promotora i 5' kraja strukturalnog gена za  $\beta$ -interferon. Sekvenciranjem je utvrđeno da šest klonova poseduju integralnu sekvencu DNK koja kodira za zreli interferon sa različitim dužinama 5' uzvodnih regiona od ATG kodona (od 0 do 80 bp), dok je kod tri klena delimično nedostajao 5' region kodirajuće sekvence (Slika 10).

Slika 9. Elektroforeza restriktionskih fragmenata DNK na gelu od agaroze.

pDF klonovi su digerirani sa enzimima Eco RI i Pvu II. Pozicija 1 i 10: standard DNK - fragmenti plazmida pIF4 digeriranog sa endonukleazom Hinf i dimenzija 517, 506 (doublet), 396, 375, 344, 298, 221, 220 (doublet). Pozicija 2-8: restriktionski fragmenti klonova 73, 75, 94, 81, 94, 86 i 137.



Bal31 egzonukleaza → → →

270

C ATGGAGAAAG GACATTCTAA CTGCAACCTT  
*NcoI*

301 TCGAAGCCTT TGCTCTGGCA CAACAGGTAG TAGGGGACAC TGTCGTGTT  
*TagI*

351 GTCAACATGA CCAACAAGTG TCTCCTCCAA ATTGCTCTCC TGTTGTGCTT  
*HincII*

74, 115 94 75 81 637 78 98  
401 CTCCACTACA GCTCTTTCCA TGAGCTACAA CTTGCTTGGA TTCCTACAAA---  
*HinfI*

Slika 10. Deo sekvene humanog  $\beta$ -interferona u okviru koje je radjena digestija sa egzonukleazom **Bal31**. Strelicama iznad sekvene su označena mesta do kojih je išla delecija, a brojevi označavaju odgovarajuće sekvencirane klonove. Debela linija iznad sekvene označava ATG kodone za signal peptid i za zreli interferon. Isprekidana linija ispod sekvene označava mesta prepoznavanja odgovarajućih restrikcionih endonukleza.

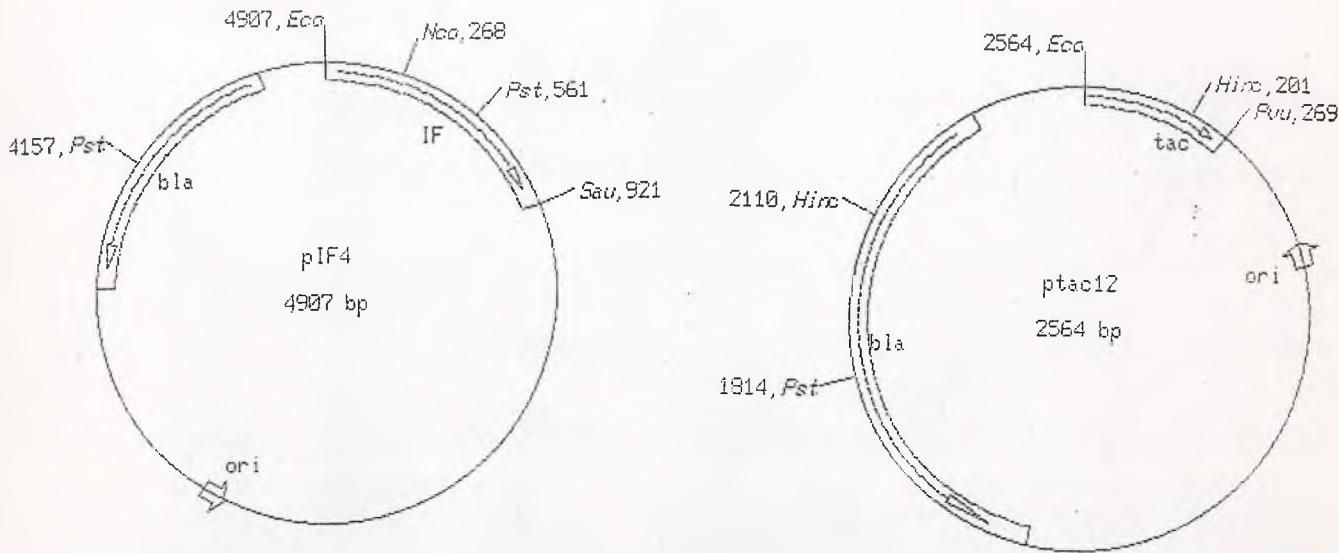
Slika 11. shematski prikazuje postupak konstruisanja ekspresionog klena pDF81. Ovaj klon je korišćen za konstrukciju ekspresionog plazmida sa *trpA* terminacionom sekvencom na kraju gena i za ekspresiju  $\beta$ -interferona pod kontrolom tac promotora.

Sekvenciranjem je utvrđeno da je kod plazmidnog klena broj 81 (označen kao pDF81, Slika 8, 9, 10, 11 i 12) delecija sa egzonukleazom Bal 31 zaustavljena tačno do ATG kodona i da rastojanje izmedu SD sekvene i start kodona iznosi 5bp. Ovaj klon je pokazao antivirusnu aktivnost kakvu inače daje autentični humani  $\beta$ -interferon<sup>1</sup>.

<sup>1</sup> Rezultat nije prikazan jer je biološka aktivnost humanog  $\beta$ -interferona pokazana na plazmidnoj konstrukciji pDFT koja je derivat konstrukcije pDF81.

Slika 11. Konstruisanje ekspresionog plazmida koji sadrži fuziju tac promotora i strukturalnog gena za humani  $\beta$ -interferon.

Plazmid pIF4 je presećen i linearizovan na jedinom Nco I mestu. Digestijom sa Bal si egzonukleazom dobijena je familija progresivno skraćenih molekula. Krajevi molekula DNK su zatim poravnati polimerazom I DNK (POLIk), a zatim je uradjena digestija sa enzimom Eco RI. Nakon digestije, fragmenti željenih dužina su defosforilisani i precišćeni. Ovako obradeni fragmenti su ligirani za tac promotor koji je izolovan iz plazmida plac2 kao Eco RI - Pvu II (0,27 kb) fragment. Sa ovom konstrukcijom je transformisan soj DH1, a kolonije su selektovane na podlozi sa ampicilinom (40  $\mu$ g/ml). Posle restrikcione analize i analize primarne strukture DNK u okolini mesta fuzije, odabran je klon sa deletiranom kompletnom sekvencom prirodnog regulatornog regional i sekvencom za signal peptid i označen kao klon pDF81. Oznake za restrikciona mesta na plazmidima su date skraćeno: Eco, Eco RI; Nco, Nco I; Pst, Pst I; Sau, Sau 3A; Pvu, Pvu II. Orientacije gena su označene strelicama. Brojevi označavaju pozicije restrikcionih mesta i dimenzije plazmida u parovima baza. Grafički prikaz medjusobnih dimenzija plazmida nije proporcionalan.



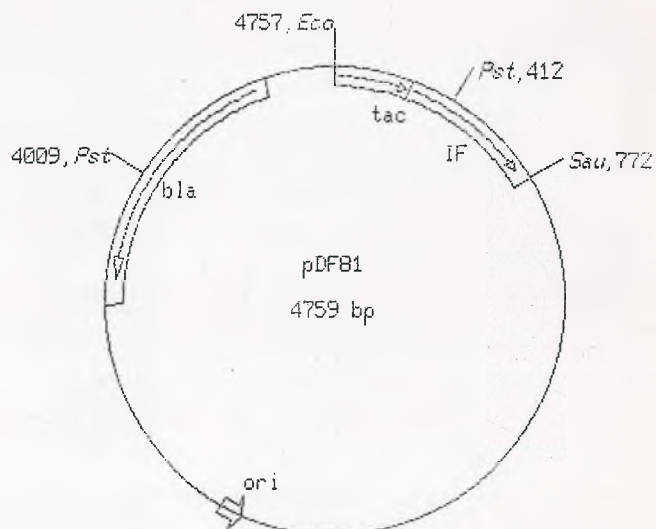
1. Nco I
2. BAL31
3. Polik 14dNTP
4. Eco RI
5. CIAP
6. Izoluje se smes velikih fragmenata

1. Eco RI
2. Pvu II
3. Izoluje se manji fragment

1. Ligacija  
2. Transformacija

Analiziran je i odabran klon sa sekvencom u okolini mesta pocetka translacije:

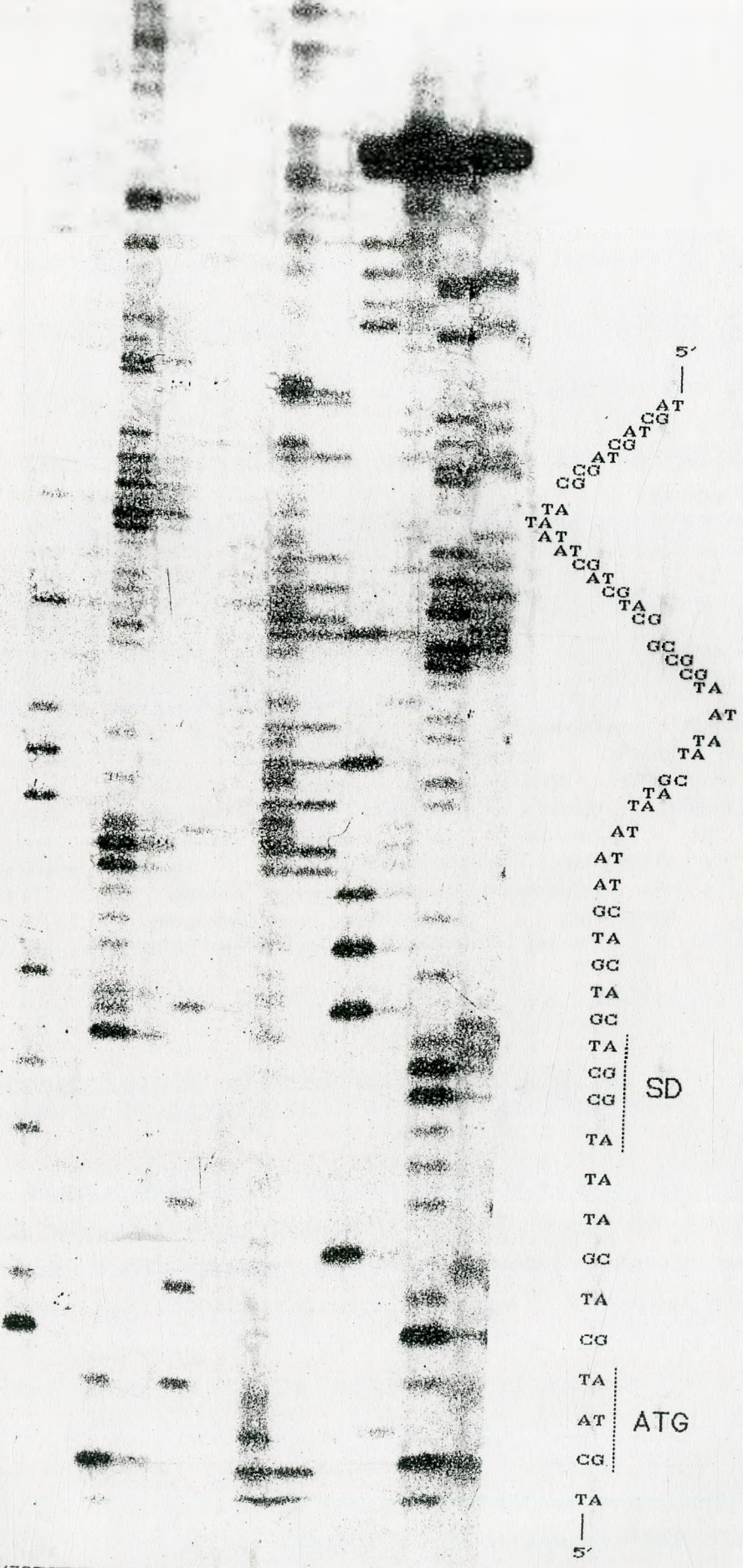
— AGGAAACAGATGAC —  
SD



Slika 11.

Slika 12. Autoradiogram DNK dela sekvence klon pDF81.

Sekvenca klon pDF81 je radjena po proceduri Maxam-a i Gilbert-a (1980). Plazmidni klon pDF81 je digeriran sa Hinf I endonukleazom, na gelu od poliakrilamida izolovana je najsporija traka od 1289bp i defosforilisani 5' krajevi su obeleženi sa  $P^{32}$  reakcijom kinaziranja sa T4 kinazom. Obeleženi fragment je zatim digeriran sa endonukleazom Hinc II i elektroforezom na gelu od akrilamida izolovan i prečišćen fragment dužine 88bp. Reakcijama za sekvenciranje, elektroforezom na 8% poliakrilamidnom gelu i autoradiografijom, analiziran je redosled nukleotida donjeg komplementarnog lanca (Slika 13) u okviru pozicija 294 (Hinc II - zos Hinc III).



Slika 12.

```

1 AATTCTCATG TTTGACAGCT TATCATCGAC TGCACGGTGC ACCAATGCTT
      Taq I

51 CTGGCGTCAG GCAGCCATCG GAAGCTGTGG TATGGCTGTG CAGGTCGTAAG

101 ATCACTGCAT AATTCTGTGTC GCTCAAGGCG CACTCCC GTT CTGGATAATG

151 TTTTTGCGC CGACATCATA ACGGTTCTGG CAAATATTCT GAAATGAGCT
      -35          -10          ►►►► iRNK
201 GTTGACAATT AATCATCGGC TCGTATAATG TGTGGAATTG TGAGCGGGATA
      Hinc II           lac operator

251 ACAATTTCAC ACAGGAAACA SD ↓↓ GATGAGCTAC AACTTGCTTG GATTCCCTAC
      Hinf I

```

Slika 13. Deo sekvence klonu pDF91.

Prikazana je sekvenca lac promotora fuzionisanog za strukturalni gen humanog  $\beta$ -interferona. Pune linije ispod sekvence označavaju mesta prepoznavanja redosleda nukleotida odredjenih endonukleaza. Tačkasta linija ispod sekvene označava operatorski region za vezivanje lac represora. Isprekidane linije iznad sekvene označavaju "-35", "-10" regione i mesto vezivanja ribozoma (SD). Horizontalne strelice označavaju sintezu primarnog transkripta (rRNA), a vertikalne mesto fuzije promotora i gena.

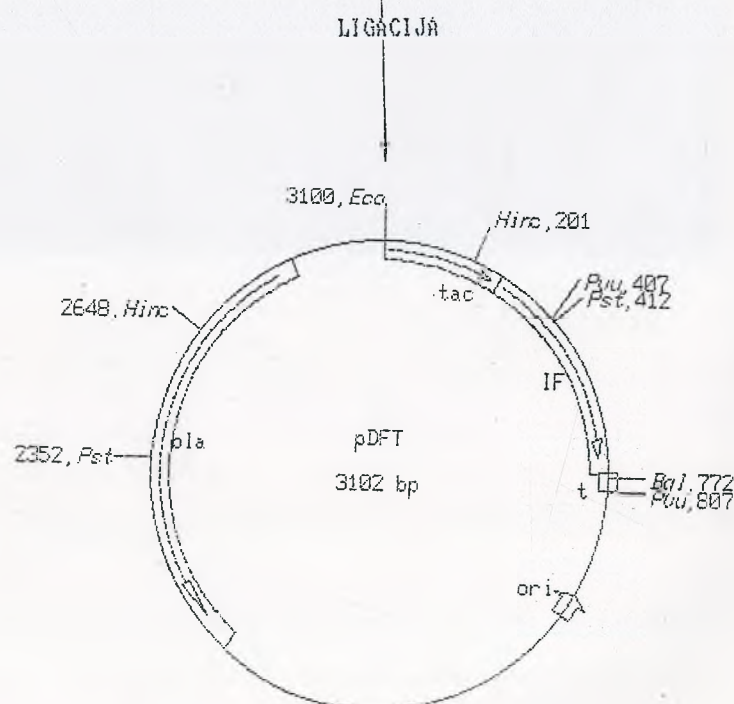
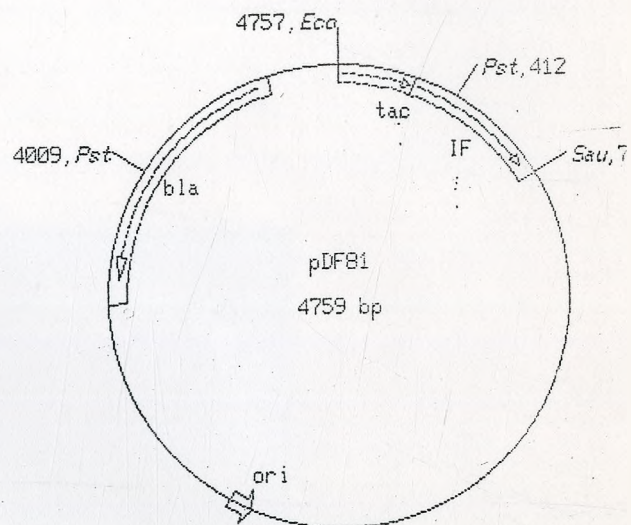
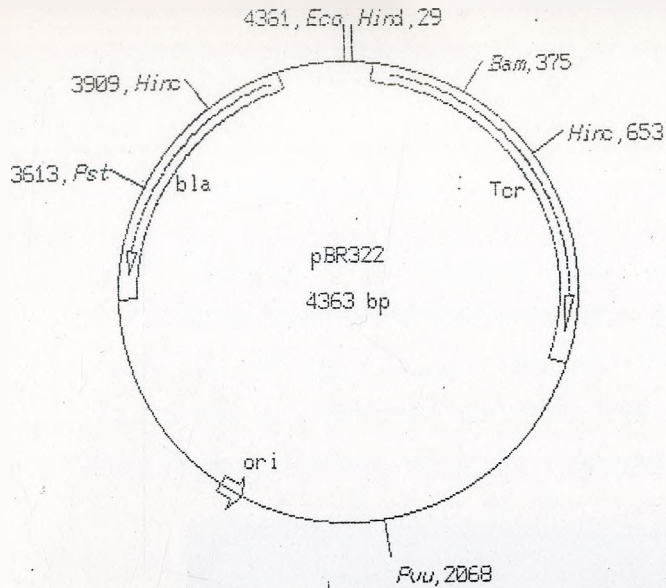
4.3. Konstruisanie ekspresionog plazmida sa tac promotorom, genom za  $\beta$ -interferon i *trpA* terminatorom.

Klon pDF81 je u daljem radu poslužio za konstruisanje novog ekspresionog plazmida (pDFT) koji je za razliku od polazne konstrukcije 1,6 kbp kraći, sadrži sekvencu za terminaciju transkripcije (*trpA* terminator) kao i rekonstituisano *Bgl* II mesto na 3' kraju gena za  $\beta$ -interferon. Slika 14. shematski prikazuje tok konstrukcije klena pDFT koji je nastao istovremenom ligacijom tri fragmenta DNK: a) fragment od 0,77 kbp koji sadrži tac promotor fuzionisan sa genom za  $\beta$ -interferon, b) fragment od 2,3 kbp iz plazmida pBR322 i c) fragment DNK od 36 bp koji sadrži sekvencu *trpA* terminatorsa. Sekvencu *trpA* terminatorsa

Slika 14. Konstrukcija ekspresionog plazmida koji sadrži fuziju tac promotora, strukturalnog gena za humani  $\beta$ -interferon i sekvencu trpA terminadora.

Klon pDFB1 je iskorišćen za konstruisanje ekspresionog plazmida koji sadrži na 3' kraju gena za  $\beta$ -interferon trpA terminator. Izolovan je Pvu II - Eco RI fragment (2,8 kb) iz plazmida pBR322 koji sadrži "origin" replikacije i gen za  $\beta$ -laktamazu (rezistencija na ampicilin), Eco RI - Sau 3A (0,77 kb) fragment izolovan iz plazmida pDFB1 koji sadrži tac promotor i gen za  $\beta$ -interferon i sintetisan je dvolančani fragment koji sadrži sekvencu trpA terminadora

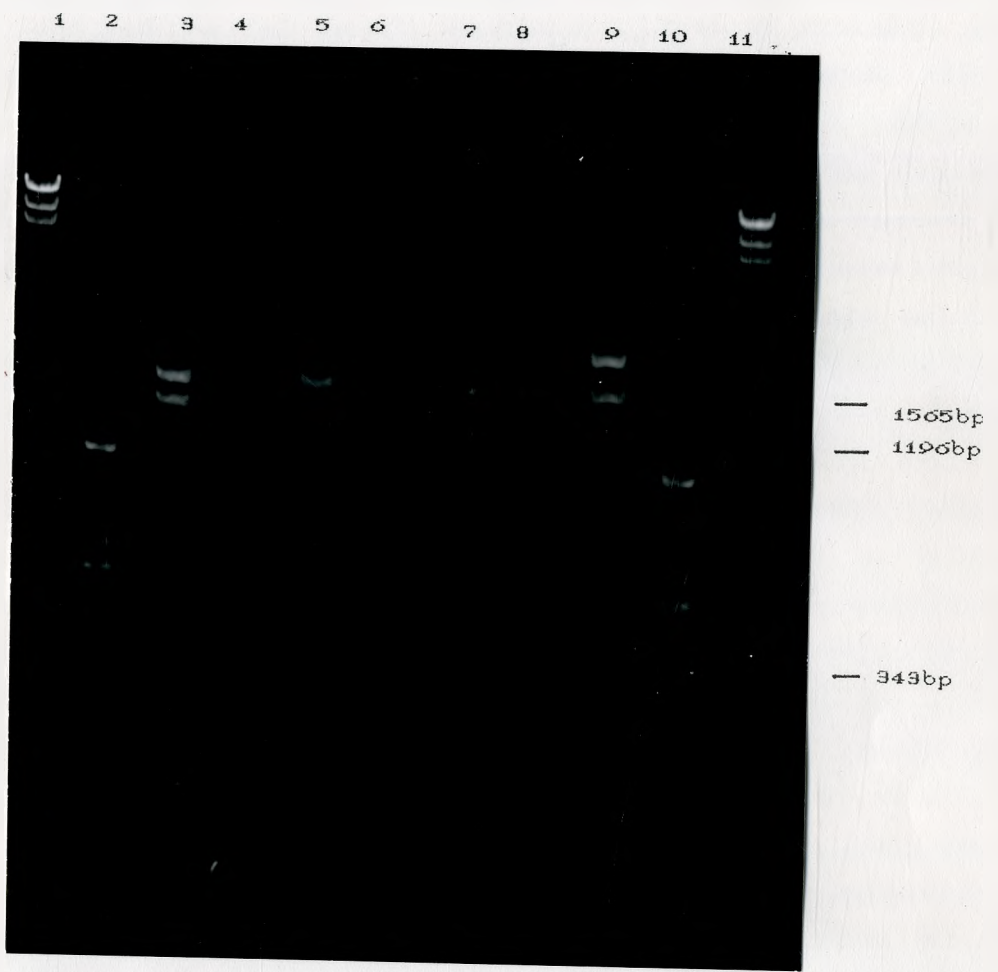
[GATCTAGCCCCCTAATGAGGGGGTTTTTCAG  
ATCGGGCGGATTACTCGCCCGAAAAAAAGTC]. Sekvence 5' i 3' kraja su sintetisane tako, da se ligacijom rekonstituiše Bgl II odnosno Pvu II mesto. Navedeni fragmenti su pomešani i ligirani pri čemu su rekonstituisana Eco RI, Bgl II i Pvu II mesta. Sa ovom konstrukcijom je transformisan soj JM101, a kolonije su selektovane na podlozi sa ampicilinom (40  $\mu$ g/ml). Nakon transformacije jedan od odabranih klonova (pDFT) koji je posedovao sve naznačene elemente iskorišćen je za ekspresiju kao i za dobijanje drugih konstrukcija. Oznake za restrikciona mesta na plazmidima su date skraćeno: Eco, Eco RI; Bam, Bam HI; Pst, Pst I; Sau, Sau 3A; Bgl, Bgl II; Hinc, Hinc II; Pvu, Pvu II. Orijentacije gena su označene strelicama. Brojevi označavaju pozicije restrikcionih mesta i dimenzije plazmida u parovima baza. Grafički prikaz međusobnih dimenzija plazmida nije proporcionalan.



Slika 14.

Slika 15. Elektroforeza restripcionih fragmenata DNK na gelu od agaroze.

Izolovana plazmidna DNK je digerirana sa *Rsa* I endonukleazom. Pozicija 1 i 11: λ DNK (digerirana sa *Hind* III sa trakama dimenzija 23kb; 9,4kb; 6,6kb; 4,3kb; 2,8kb; 2,0kb; 0,56kb i 0,18kb); pozicija 2 i 10: pBR322 (digeriran sa *Hinf* I i *Hind* III sa trakama dimenzija 1029bp, 603bp, 517bp, 506bp, 396bp, 344bp, 298bp, 221bp, 220bp, 154bp i 75bp); pozicija 3: pIF4T (*Rsa* I digestija sa trakama dimenzija 1565bp, 1344bp i 343bp, videti mapu plazmida u poglavljju DODATAK); pozicija 4-8 klonovi 1, 6, 11, 15 i 21 (*Rsa* I digestija); pozicija 9: pDf81 (*Rsa* I digestija sa trakama dimenzija 1565bp, 1196bp i 341bp).



Slika 15.

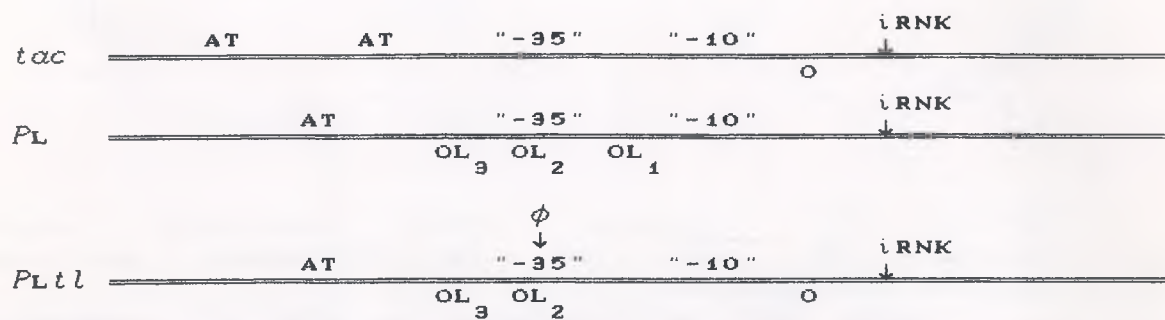
smo dobili sintezom dva jednolančana komplementarna oligodeoksinukleotidna lanca (Slika 14). Transformacijom *E. coli* sa ligacionom smešom i restrikcionom analizom DNK izolovanih klonova (Slika 15), pokazano je da su dobijene očekivane konstrukcije. Uporedna restrikciona analiza (sa *Rsa* I endonukleazom) novih konstrukcija sa plazmidima pIF4T (videti u poglavlju DODATAK fizičku mapu plazmida pIF4T i pDF81) ipDF81 pokazala je istovetne fragmente od 1565bp kod svih konstrukcija, istovetni fragment od 1196bp sa plazmidom pDF81 i fragment od 343bp sa plazmidom pIF4T. Na osnovu ovih kriterijuma i sekvenciranog dela fuzije gena  $\beta$ -interferona i *trpA* terminatorsa (nije prikazano), inicijalni klon broj 6 a označen u daljem radu kao pDFT, poslužio je za ekspresiju  $\beta$ -interferona i konstruisanje ekspresionog vektora sa hibridnim *P<sub>L</sub>tl* promotorom (opisano dalje u tekstu).

Ova konstrukcija je u odnosu na pDF81 imala nekoliko prednosti. Osim ubačene sekvene za terminaciju transkripcije, ona je siromašnija za jedno restrikciono mesto koje prepoznaće *Hinc* II endonukleaza što je opet značajno pojednostavilo konstruisanje ekspresionog vektora sa novim *P<sub>L</sub>tl* promotorom. Pravljenjem ove konstrukcije uklonjen je fragment od 1657bp (u okviru koga se nalazi *rop* gen - "repressor of primer"), a smatra se da se kao posledica toga dobija povećanje broja kopija plazmida sa prosečnih 18 na 30 kopija po hromozomu (Soberon et al., 1980; Twigg i Sherratt, 1980 i Hanahan u laboratorijskom priručniku Maniatis et al., 1982) Antivirusna aktivnost proizvoda ekspresije gena za humani  $\beta$ -interferon kod ove konstrukcije pokazana je na tabeli I.

#### 4.4. Konstruisanje ekspresionog plazmida sa novim hibridnim *P<sub>L</sub>tl* promotorom.

Za konstruisanje novog hibridnog promotora poslužili su nam delovi sekvene tac promotora nizvodno od "-35" regiona i *P<sub>L</sub>* promotora faga  $\lambda$  uzvodno od "-35" regiona (Slika 13 i

16 i videti sekvencu  $P_L$  promotora faga  $\lambda$  u poglavljiju 8 DODATAKO. Pošto novi  $P_{L1}$  promotor sadrži elemente poreklom od  $P_L$  promotora faga  $\lambda$ ,  $trp$  i  $lac$  promotora za njegov naziv su iskorišćena nihova početna slova.

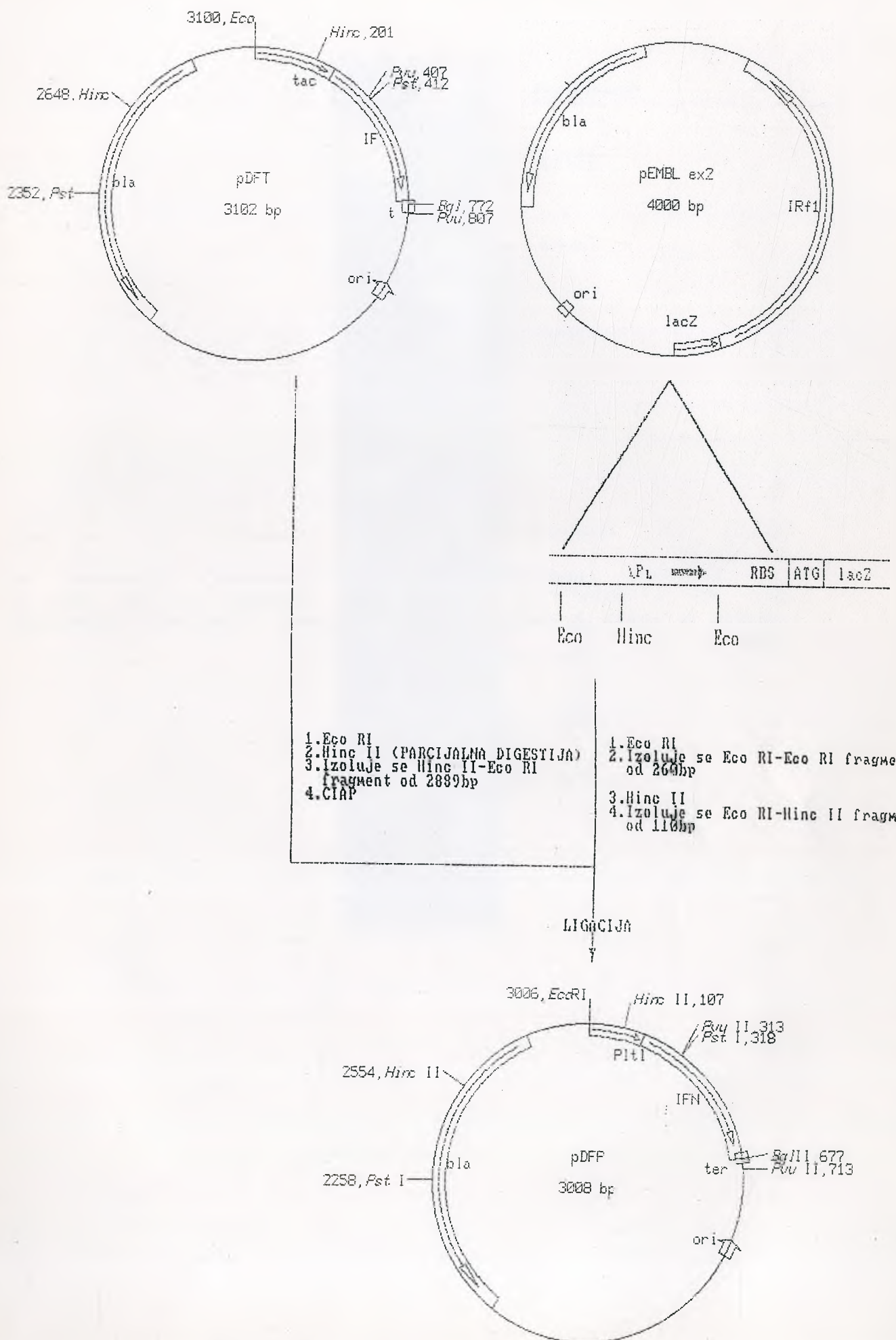


Slika 16. Shematski prikaz osnovnih elemenata koji su sadržani kod lac,  $P_L$  i  $P_{Ll}$  promotora. AT: AT bogate sekvene; ( $OL_1$ ,  $OL_2$ ,  $OL_3$  i O): operatorski regioni za vezivanje represora  $\lambda$  faga i lac represora; iRNK: mesto otpočinjanja sinteze primarnog transkripta; ( $\phi$ ): mesto fuzije promotora.

Deo linearizovanog plazmida pDFT kod koga je parcijalnom digestijom sa *Hinc* II endonukleazom izolovan fragment kome nedostaje 5' uzvodni region od "-35" sekvenca tac promotora, vezan je sa fragmentom DNK izolovanim iz plazmida pEMBLex2 koji sadrži sekvene *P<sub>L</sub>* promotora uzvodno od "-35" regiona. Izolovan je klon broj 6 i okarakterisan restrikcionom analizom i sekvenciranjem promotorskog regiona i označen u daljem radu kao pDFP (Slika 17, 18, 19 i 20).

Slika 17. Shematski prikaz konstrukcije ekspresionog plazmida koji sadrži gen za  $\beta$ -interferon pod kontrolom hibridnog *PtL* promotora.

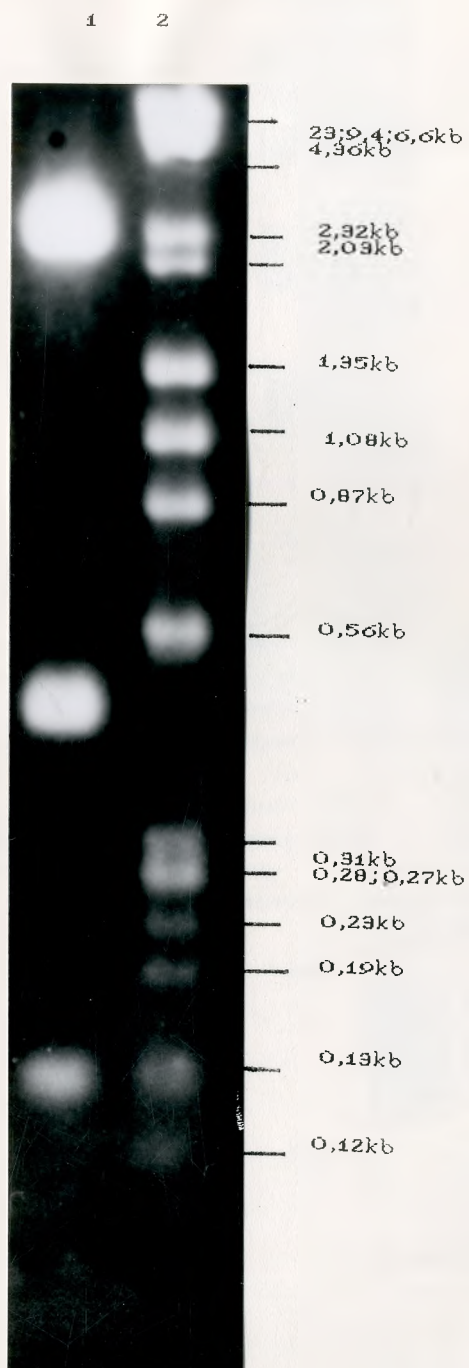
Plazmid pDFT je linearizovan sa Eco RI endonukleazom i uradeno je parcijalna digestija endonukleazom Hinc II. Izolovan je i defosforilisan fragment Hinc II-Eco RI (2899 bp) i ligiran sa (Eco RI-Hinc II) fragmentom od 110 bp koji je izolovan iz plazmida PEMBLEX2, a sadrži region  $\lambda$  PL promotora uzvodno od "-35" regionala. Sa ovom konstrukcijom je transformisan soj JM101, a kolonije su selektovane na podlozi sa ampicilinom ( $40\mu\text{g/ml}$ ). Oznake za restrikciona mesta na plazmidima su date skraćeno: Eco, Eco RI; Pst, Pst I; Bgl, Bgl II; Hinc, Hinc II;. Orientacije gena su označene strelicama. Brojevi označavaju pozicije restrikcionih mesta i dimenzije plazmida u parovima baza. Grafički prikaz međusobnih dimenzija plazmida nije proporcionalan.



Slika 17.

Slika 18. Elektroforeza restripcionih fragmenata DNK na gelu od agaroze.

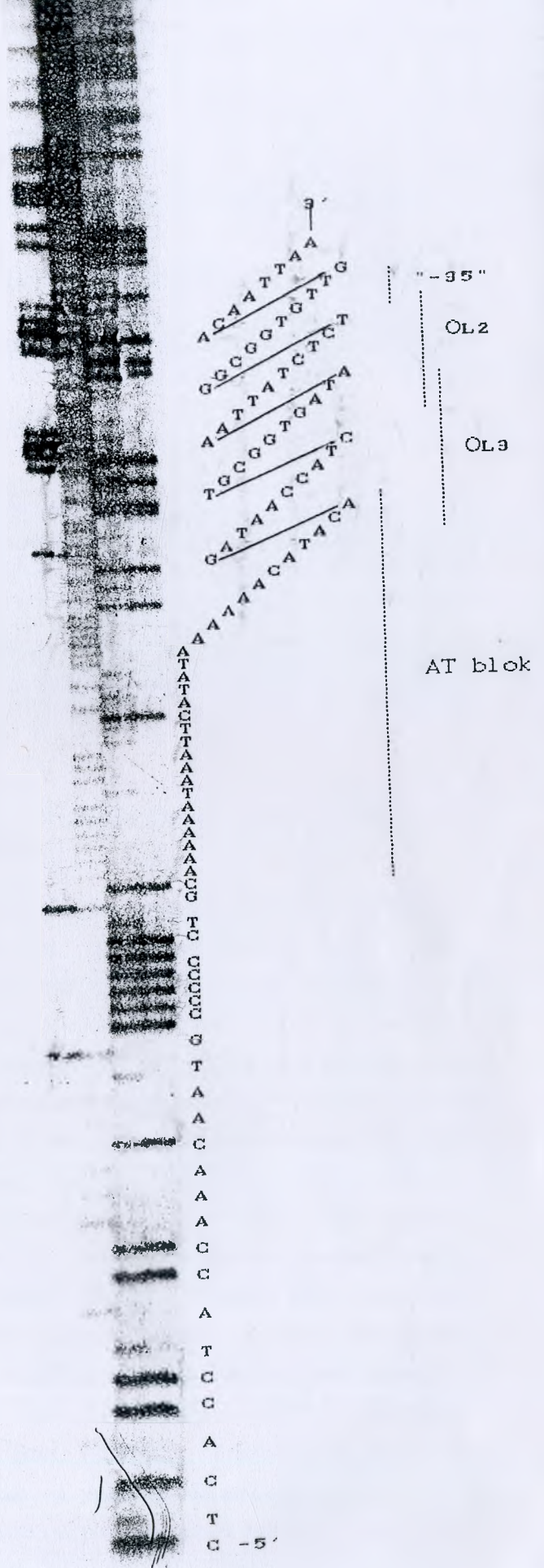
Izolovana plazmidna DNK je dvostruko digerirana sa Eco RI i Hinc II endonukleazama. Pozicija 1 klon broj 6; pozicija 2: smeša λ DNK (Hind III digest) i φX174RF (Hae III digest).



Slika 18.

Slika 19. Autoradiogram DNK dela sekvence klon-a pDFP.

Sekvenca klon-a pDFP je radjena po proceduri Maxam-a i Gilbert-a (1980). Plazmidni klon pDFP je digeriran sa Eco RI endonukleazom i defosforilisan. Svi krajevi su obeleženi sa  $P^{32}$  reakcijom kinaziranja sa T4 kinazom. Obeleženi fragment je zatim digeriran sa endonukleazom Pvu II i elektroforezom na gelu od poliakrilamida izolovan je i prečišćen fragment dužine 315bp. Reakcijama za sekvenciranje, elektroforezom na 8% poliakrilamidnom gelu i autoradiografijom, analiziran je redosled nukleotida gornjeg lanca DNK u okviru pozicija 19 - 118 (Slika 20).



Slika 19.

1 AATTCCCGGG ATCTCTCACC TACCAAACAA TGCCCCCTG CAAAAAATAA  
 51 ATTCA~~TATAA~~ AAAACATACA GATAACCATC TGCGGTGATA AATTATCTCT  
 -35 -10 lac operator  
 101 GGC~~GGT~~TTT GACAATTAATC ATCGGCTCGT ATAATGTGTG GAATTGTGAG  
 HincII ►►► iRNK  
 151 CGGATAACAA TTTCACACAG GAAACAG SD

Slika 20. Deo sekvence klonu pDFF

Prikazana je sekvenca *P<sub>L</sub>tl* promotora fuzionisanog za strukturalni gen humanog  $\beta$ -interferona. Pune linije ispod sekvene označavaju mesta prepoznavanja redosleda nukleotida određenih endonukleaza. Tačkaste linije iznad sekvene označavaju operatorske regije za vezivanje *lac* represora i represora faga  $\lambda$ . Isprekidane linije iznad sekvene označavaju "-35", "-10" regije i mesto vezivanja ribozoma (SD). Horizontalne strelice označavaju sintezu primarnog transkripta (iRNK).

#### 4.5. Ekspresija gena za humani $\beta$ -interferon pod kontrolom hibridnih tac i *P<sub>L</sub>tl* promotora.

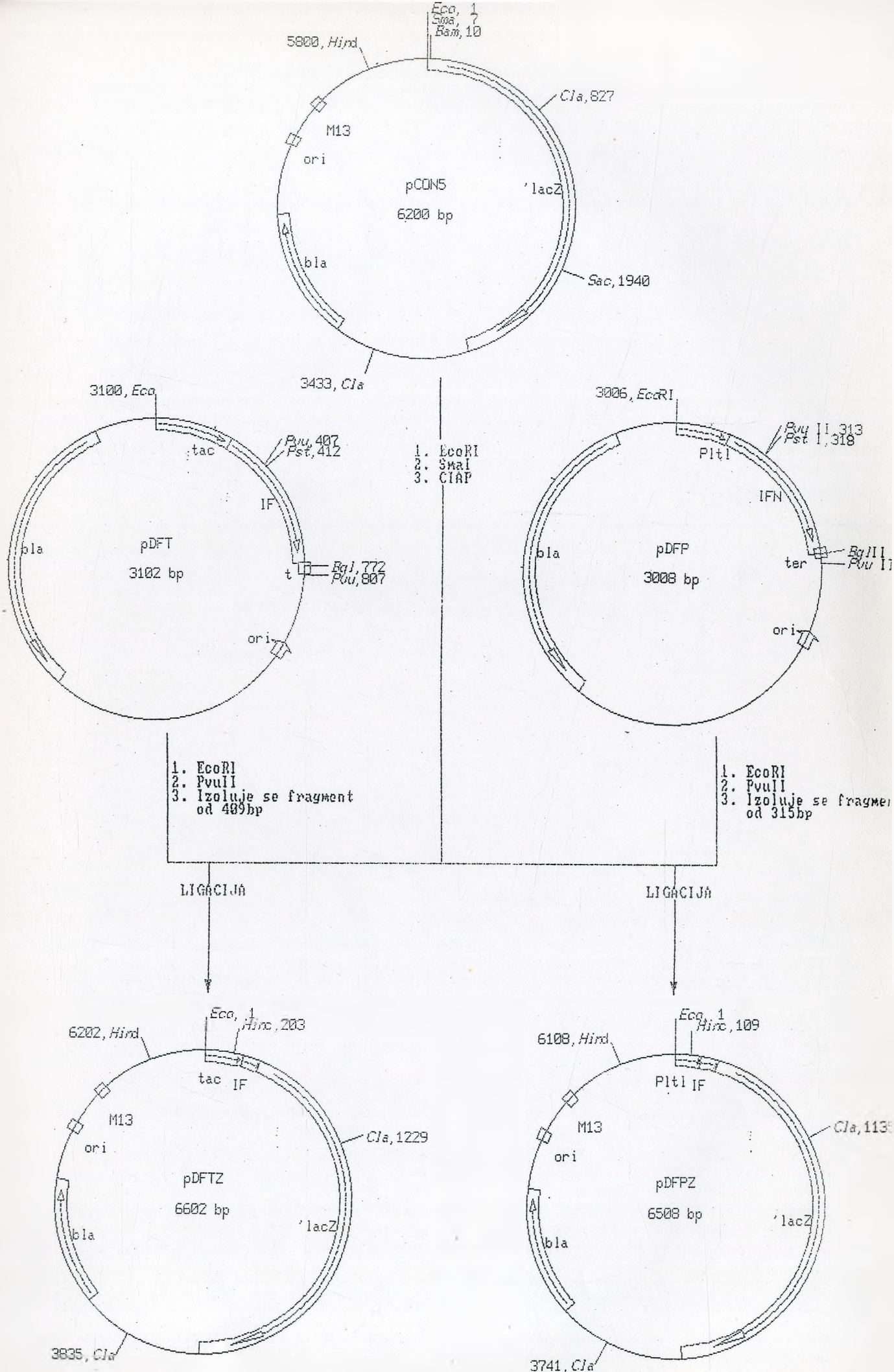
Osobine tac i *P<sub>L</sub>tl* promotora su ispitivane poređenjem nivoa ekspresije gena humanog  $\beta$ -interferona kod dva rekombinantna plazmida pDFT (konstrukcija koja sadrži tac promotor) i pDFF (konstrukcija koja sadrži *P<sub>L</sub>tl* promotor) (Slika. 14 i 17). Pažnju smo posebno obratili na to da oba konstruisana plazmida budu gotovo identična, izuzev onog dela promotora koji kontroliše i aktivira transkripciju gena za humani  $\beta$ -interferon. S obzirom da *P<sub>L</sub>tl* promotor, pored regije za vezivanje *lac* represora (proizvoda *lacI* gena) sadrži i region za vezivanje temperaturno senzitivnog represora faga  $\lambda$  (proizvoda *cI857* gena), dvostruka kontrola represije i derepresije je bila moguća kada je soj POP2136, koji sadrži gen *cI857* u svom hromozomu, poslužio kao domaćin za plazmid pDFF, dok je za plazmid pDFT korišćen soj-domaćin JM101 (ne sadrži gen *cI857*). Indukcija je kod oba ekspresiona sistema radena u ranoj stacioniranoj fazi rasta ćelija domaćina. Za indukciju je korišćen 1 mM IPTG

Slika 21a i b. Konstruisanje promotor-interferon-lacZ fuzija.

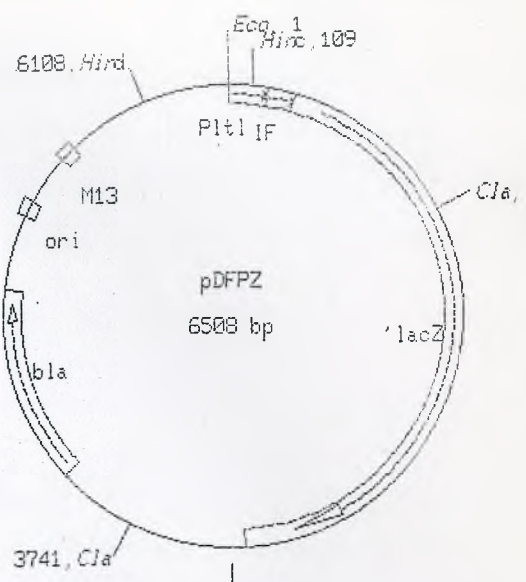
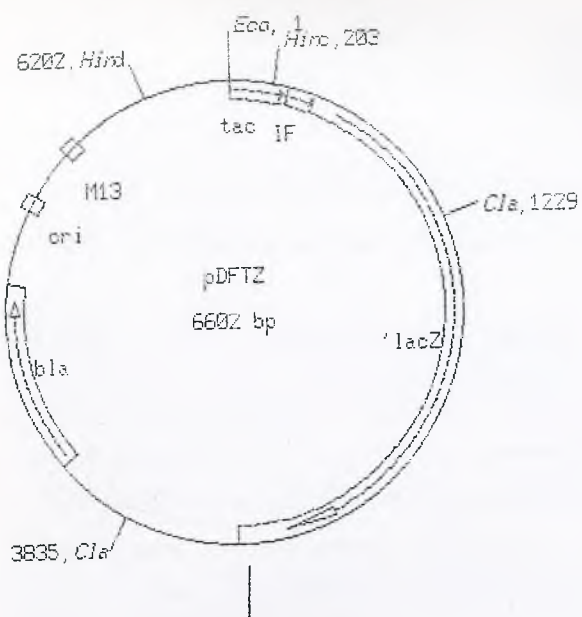
a) Plazmidi pDFP i pDFT su iskorišćeni pri konstruisanju lacZ fuzija. Fragmenti koji sadrže odgovarajući promotor i prvi 46 kodona gena za  $\beta$ -interferon i koji su ograničeni sa Eco RI i Pvu II mestima, fuzionisani su u fazi čitanja sa lacZ genom ubacivanjem u defosforilisana Eco RI, Sma I mesta plazmida pCONS. Sa ovim plazmidnim konstrukcijama je transformisan soj JM101 a selekcija kolonija je radjena na podlogama sa ampicilinom (40  $\mu$ g/ml). Kolonije koje proizvode  $\beta$ -galaktozidazu su detektovane razmazivanjem na šolje x-Gal-a. Rezultujuće plazmidne konstrukcije pDFTZ i pDFPZ su dalje iskorišćene za upoređivanje jačina promotora preko aktivnosti  $\beta$ -galaktozidaze.

b) Iste konstrukcije su u daljem radu poslužile da se u Hind III mesto plazmida pDFTZ i pDFPZ ubaci fragment Bgl II od 2.4 kb izolovan iz faga  $\lambda$  a sadrži cI857 represor. Restripciona mesta Hind III i Bgl II pošto, ne sadrže elemente komplementarnosti, pre reakcije ligacije poravnata su popunjavanjem uvučenih 3' krajeva enzimskom reakcijom sa polimerazom I DNK (polIK). Sa ovim plazmidnim konstrukcijama je transformisan soj JM101 a selekcija kolonija je radjena na podlogama sa ampicilinom (40  $\mu$ g/ml). Kolonije koje proizvode  $\beta$ -galaktozidazu su detektovane razmazivanjem na šolje x-Gal-a. Rezultujući plazmidi (pDFTZcI i pDFPZcI) sadrže cI gen za temperaturno senzitivni represor faga  $\lambda$ .

Oznake za restripciona mesta na plazmidima su date skraćeno: Eco, Eco RI; Pst, Pst I; Bgl, Bgl II; Hinc, Hinc II; Sma, Sma I; Cla, Cla I; Sac, Sac I; . Orijentacije gena su označene strelicama. Brojevi označavaju pozicije restripcionih mesta i dimenzije plazmida u parovima baza. Grafički prikaz medusobnih dimenzija plazmida nije proporcionalan.



Slika 21a.



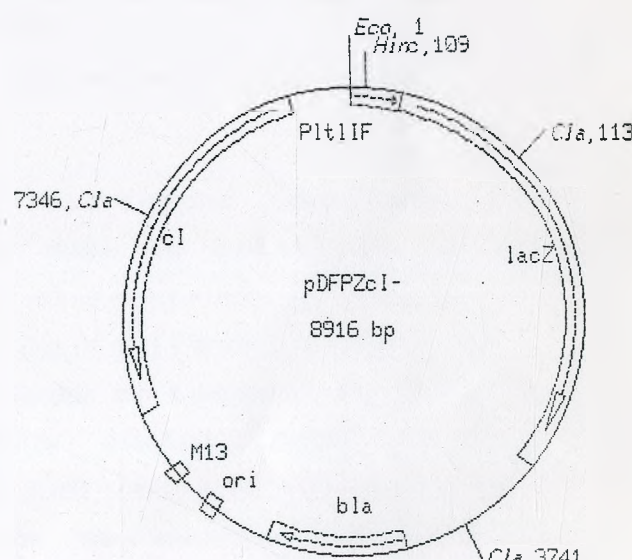
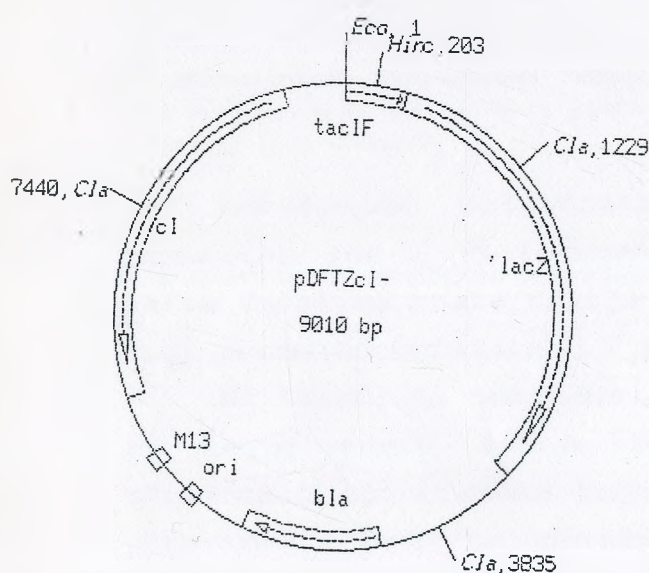
1. Hind III  
2. Popunjavanje krajeva  
sa PolIk+4dNTPs  
3. ClAP

1. Hind III  
2. Popunjavanje krajeva  
sa PolIk+4dNTPs  
3. ClAP

1. Izluje se *Bgl* II fragment od 2,4kb  
iz λ faga koji sadrži gen *cfts857*  
2. Popunjavanje krajeva sa PolIk+4dNTPs

LIGACIJA

LIGACIJA



Slika 21b.

kod obe plazmidne konstrukcije, a kod plazmidne konstrukcije pDFP, povišenjem temperature medijuma na  $42^{\circ}\text{C}$ .

Tabela I. Ekspresija gena za humani  $\beta$ -interferon pod kontrolom tac i *P<sub>L</sub>tl* promotora.

promotor/ konstrukt <sup>a</sup>	temperatura <sup>b</sup>	indukcija <sup>c</sup>		IFN	
		IPTG	$42^{\circ}$	aktivnost <sup>d</sup>	RAP <sup>e</sup>
tac/pDFT	37	+	-	$3,2 \times 10^5$	1,0
	"	-	-	$5,3 \times 10^4$	0,2
<i>P<sub>L</sub>tl</i> /pDFP	37	+	+	$8,5 \times 10^5$	2,7
	"	+	+	$2,1 \times 10^5$	0,7
"	30	-	+	$1,6 \times 10^4$	0,5
	"	-	-	$5,1 \times 10^4$	0,2

<sup>a</sup> Videti Slike 13. i 16. na kojima je opisan tok konstruisanja ekspresionih vektora. Konstrukcija sa tac promotorom je kao domaćina koristila soj JM101, a sa *P<sub>L</sub>tl* promotorom POP2136.

<sup>b,c</sup> Kultura koja sadrži plazmidne konstrukcije sa tac promotorom je rasla u medijumu na  $37^{\circ}\text{C}$ , a sa *P<sub>L</sub>tl* promotorom na  $30^{\circ}$  i  $37^{\circ}\text{C}$  do rane stacionarne faze, a potom indukovana 120 minuta sa 1mM IPTG-om ili podizanjem temperature na  $42^{\circ}$  ili na oba načina i dalje obradjena za merenje antivirusne aktivnosti kao što je opisano u poglavlju METODE.

<sup>d</sup> Interferonska antivirusna aktivnost je prikazana kao broj jedinica po optičkoj gustini (1 OD) na 550 nm u jednoj litri kulture

Poredenjem aktivnosti  $\beta$ -interferona dobijene pod kontrolom tac i *P<sub>L</sub>tl* promotora može se uočiti da je pod istim uslovima rasta ćelija ( $37^{\circ}\text{C}$ ) konstrukcija koja sadrži *P<sub>L</sub>tl* promotor pokazala 2,7 puta veću aktivnost (Tabela I).

Na Tabeli I. pokazano je takođe da temperatura medijuma na kojoj rastu ćelije domaćina znatno utiče na nivo aktivnosti interferona koja je dobijena pod kontrolom *P<sub>L</sub>tl* promotora. Tako je pokazano da se maksimalna aktivnost postiže pod kontrolom *P<sub>L</sub>tl* promotora kada se indukcija vrši povišenjem temperature medijuma sa  $37^{\circ}\text{C}$  na  $42^{\circ}\text{C}$  u prisustvu 1mM IPTG-a. Pod istim uslovima indukcije i pod kontrolom istog promotora dobijena je četvorostruko manja

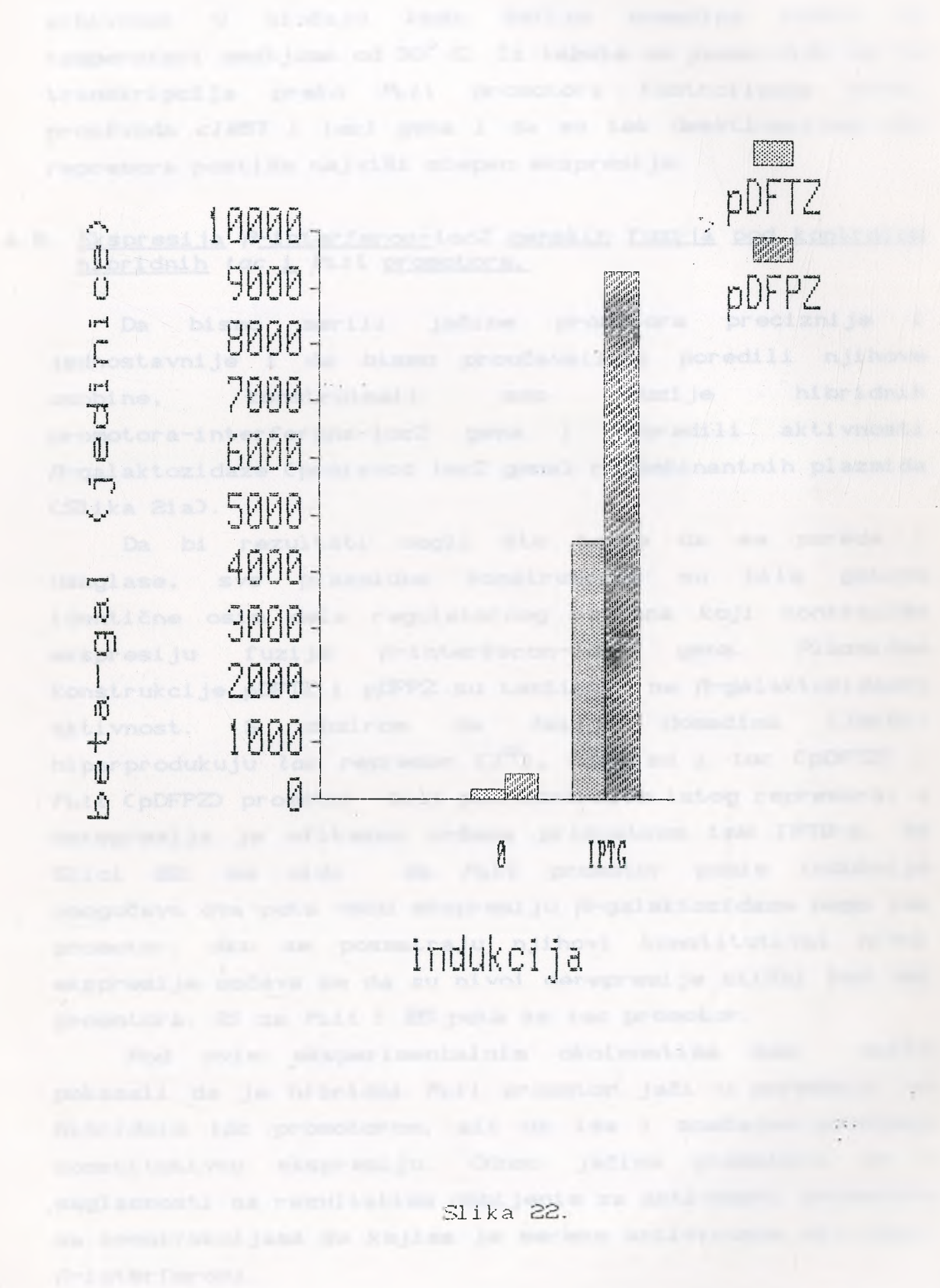
Slika 22. Aktivnosti  $\beta$ -galaktozidaze dobijene sa eksprezionih plazmida pDFFPZ i pDFTZ.

Kultura koja sadrži plazmide pDFFPZ i pDFTZ je rasta na  $37^{\circ}$  C dok nije indukovana dva sata sa  $1\text{mM}$  IPTG-om. Aktivnost  $\beta$ -galaktozidaze je merena kako je objašnjeno u poglavljiju METODE. X-osa; O: neindukovano stanje, IPTG: indukcija sa  $1\text{mM}$  IPTG-om. Y-osa; Aktivnosti izražene u jedinicima  $\beta$ -galaktozidaze.

Činjenica da, pored regiona za vezivanje lac represora, *P<sub>L</sub>tl* promotor sadrži i region za vezivanje represora faga λ (CI represor), ukazivala je da ubacivanje ovog represora u sistem može znatno da izmeni karakteristike promotora. Da bi eksperimentalno potkrepili ovu tvrdnju i proučili stvarni efekat ove karakteristične sekvene na regulaciju promotorske aktivnosti, kao i da bi ovakav dvostruki sistem represije-derepresije mogli da poređimo sa dobro proučenim lac promotorom, ubacili smo *cI857* gen faga λ u ćelije domaćina (JM101) koje sadrže tac-IF-lacZ i *P<sub>L</sub>tl*-IF-lacZ fuzije i to na dva načina: 1) kotransformacijom sa plazmidom pcI (na kome je kloniran gen *cI857*) (Slika 23), ili 2) kloniranjem u restrikciono mesto *Hind* III plazmida pDFPZ i pDFTZ (Slika 21b).

Temperaturu medijuma na kojoj su rasle ćelije držali smo na 30° C ili na 37° C, a indukcija je vršena sa 1mM IPTG-om ili podizanjem temperature medijuma na 42° C, ili na oba načina. Slike 24a i 24b prikazuju rezultate dobijene rastom ćelijske kulture na temperaturi medijuma od 30° C i 37° C kada se na posebnim plazmidima u ćeliji nalaze represor faga λ i jedna od konstrukcija promotor-IFN-lacZ fuzija. Jasno je da i lac i CI represor efikasno kontrolišu *P<sub>L</sub>tl* promotor pokazujući združeni efekat represije i njihove derepresije, posebno na temperaturi medijuma od 30° C.

Dakle, pojedinačna indukcija na ovoj temperaturi samo delimično aktivira promotor, a jasan efekat indukcije se postiže tek nakon inaktivacije oba represora. Konstrukcija koja sadrži tac promotor pokazuje znatno niži nivo aktivnosti β-galaktozidaze. Rastom ćelija domaćina koje sadrže konstrukciju sa *P<sub>L</sub>tl* promotorom, na temperaturi medijuma od 37° C, dobija se isti efekat aktivacije promotora dvostrukom derepresijom. Inaktivacijom samo lac represora postiže se uočljivo viši nivo aktivnosti *P<sub>L</sub>tl* promotora, što može da se protumači kao posledica delimične



aktivnost u slučaju kada ćelije domaćina rastu na temperaturi medijuma od  $30^{\circ}$  C. Iz tabele se jasno vidi da je transkripcija preko  $P_{Ltl}$  promotora kontrolisana preko proizvoda  $cI857$  i  $lacI$  gena i da se tek deaktivacijom oba represora postiže najviši stepen ekspresije.

#### 4.6. Ekspresija $\beta$ -interferon-lacZ genskih fuzija pod kontrolom hibridnih tac i $P_{Ltl}$ promotora.

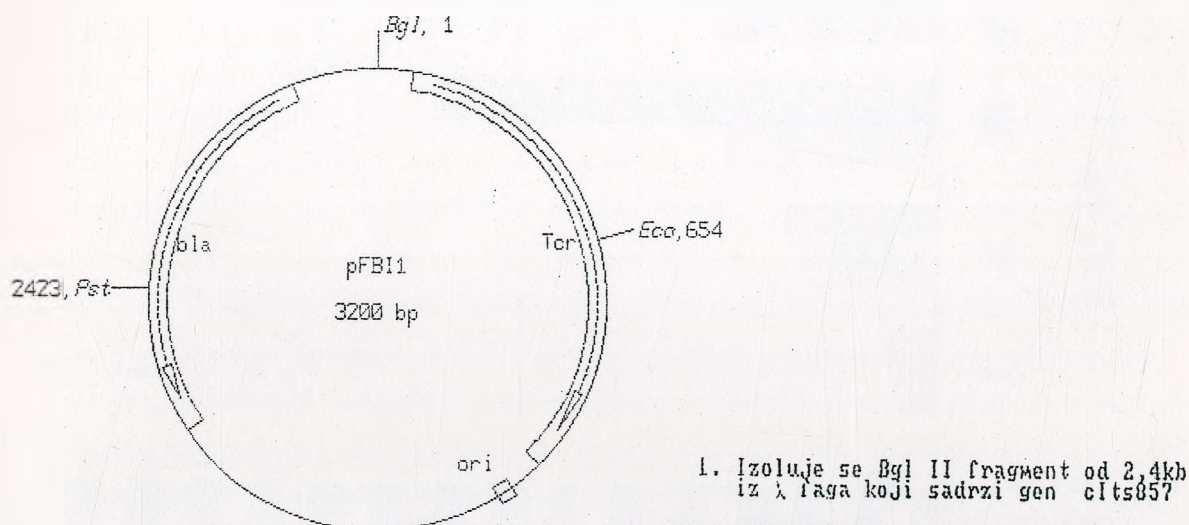
Da bismo merili jačine promotora preciznije i jednostavnije i da bismo proučavali i poređili njihove osobine, konstruisali smo fuzije hibridnih promotor-a-interferona-lacZ gena i uporedili aktivnosti  $\beta$ -galaktozidaze (proizvod lacZ gena) rekombinantnih plazmida (Slika 21a).

Da bi rezultati mogli što bolje da se porede i usaglase, sve plazmidne konstrukcije su bile gotovo identične osim dela regulatornog regiona koji kontroliše ekspresiju fuzije  $\beta$ -interferon-lacZ gena. Plazmidne konstrukcije pDFTZ i pDFPZ su testirane na  $\beta$ -galaktozidazu aktivnost. S obzirom da ćelije domaćina (JM101) hiperprodukuju lac represor ( $I^Q$ ), onda su i tac (pDFTZ) i  $P_{Ltl}$  (pDFPZ) promotor bili pod kontrolom istog represora, a derepresija je efikasno vršena prisustvom 1mM IPTG-a. Na Slici 22. se vidi da  $P_{Ltl}$  promotor posle indukcije omogućava dva puta veću ekspresiju  $\beta$ -galaktozidaze nego tac promotor. Ako se posmatraju njihovi konstitutivni nivoi ekspresije uočava se da su nivoi derepresije slični kod oba promotora: 21 za  $P_{Ltl}$  i 25 puta za tac promotor.

Pod ovim eksperimentalnim okolnostima smo dakle pokazali da je hibridni  $P_{Ltl}$  promotor jači u poređenju sa hibridnim tac promotorom, ali da ima i značajno povišenu konstitutivnu ekspresiju. Odnos jačina promotora je u saglasnosti sa rezultatima dobijenim za aktivnosti promotora sa konstrukcijama sa kojima je merenja antivirusna aktivnost  $\beta$ -interferona.

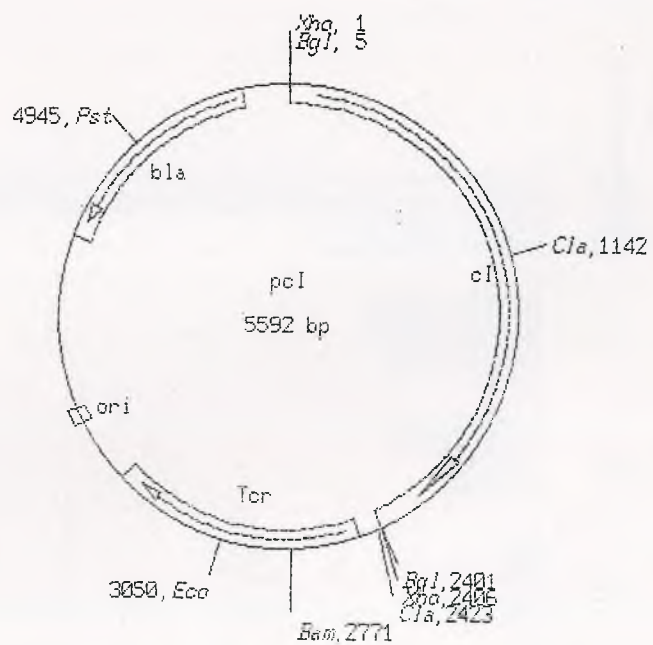
Slika 23. Kloningje *cI857* gena za temperaturno senzitivni represor faga  $\lambda$  u plazmid *pFBII*

Plazmid *pFBII* je linearizovan endonukleazom *Bgl* II defosforilisan alkalnom fosfatazom i recirkulariziran ubacivanjem *Bgl* II fragmenta od 2,4 kbp, izolovanog iz  $\lambda$  faga, koji sadrži gen *cI857*. Sa ovom konstrukcijom transformisan je soj *JM101* i kolonije selektovane na podlogama sa ampicilinom ( $40\mu\text{g}/\text{ml}$ ) i tetraciklinom, ( $15\mu\text{g}/\text{ml}$ ). Ova plazmidna konstrukcija je poslužila za kotransformaciju soja *JM101* koji sadrži plazmidne konstrukcije *pDFTZ* ili *pDFPZ*. Kolonije koje su rasle na podlozi sa ampicilinom ( $40\mu\text{g}/\text{ml}$ ) i tetraciklinom, ( $15\mu\text{g}/\text{ml}$ ) i istovremeno sa x-Gal-om davale plavu boju odabirane su za merenje aktivnosti promotora. Oznake za restrikciona mesta na plazmidima su date skraćeno: *Eco*, *Eco RI*; *Pst*, *Pst I*; *Bgl*, *Bgl* II. Orientacije gena su označene strelicama. Brojevi označavaju pozicije restrikcionih mesta i dimenzije plazmida u parovima baza. Grafički prikaz medjusobnih dimenzija plazmida nije proporcionalan.



1. *Bgl* II  
2. *Cla* I

LIGACIJA



Slika 23.

Slika 24. Aktivnosti  $\beta$ -galaktozidaze dobijene sa ekspresionih plazmida pDFPZ i pDFTZ u prisustvu plazmida pcI.

Kultura je rasta na  $30^{\circ}$  C (a) ili  $37^{\circ}$  C (b) do približno 0,2 OD na A<sub>600</sub> i indukovana je sledeća dva sata sa 1mM IPTG-om ili temperaturnim pomakom na  $42^{\circ}$  C, ili na oba načina. Aktivnost  $\beta$ -galaktozidaze je merena kako je objašnjeno u poglavljju METODE. X-osa: O: bez indukcije, 42: indukcija temperaturnim pomakom, IPTG: indukcija sa 1mM IPTG-om, IPTG+42: indukcija sa 1mM IPTG-om i temperaturnim pomakom. Y-osa: Aktivnosti izražene u jedinicima  $\beta$ -galaktozidaze.

indukcija

100 90 80 70 60 50 40 30 20 10 0

1400  
1350  
1250  
1198  
1072  
968  
872  
782  
686  
592  
492  
392  
292  
192  
92  
0

( $\Phi$  O T U P E F) - 105 - 2 + 3 Q

indukcija

100 90 80 70 60 50 40 30 20 10 0

1400  
1300  
1200  
900  
800  
700  
600  
500  
400  
300  
200  
100  
0

( $\Phi$  O T U P E F) - 105 - 2 + 3 Q

Činjenica da, pored regiona za vezivanje *lac* represora, *P<sub>L</sub>tl* promotor sadrži i region za vezivanje represora faga  $\lambda$  (CI represor), ukazivala je da ubacivanje ovog represora u sistem može znatno da izmeni karakteristike promotor-a. Da bi eksperimentalno potkrepili ovu tvrdnju i proučili stvarni efekat ove karakteristične sekvene na regulaciju promotorske aktivnosti, kao i da bi ovakav dvostruki sistem represije-derepresije mogli da poredimo sa dobro proučenim *lac* promotorom, ubacili smo *cI857* gen faga  $\lambda$  u ćelije domaćina (JM101) koje sadrže *lac*-IF-*lacZ* i *P<sub>L</sub>tl*-IF-*lacZ* fuzije i to na dva načina: 1) kotransformacijom sa plazmidom *pcl* (na kome je kloniran gen *cI857*) (Slika 23), ili 2) kloniranjem u restrikciono mesto *Hind* III plazmida *pDFPZ* i *pDFTZ* (Slika 21b).

Temperaturu medijuma na kojoj su rasle ćelije držali smo na  $30^{\circ}$  C ili na  $37^{\circ}$  C, a indukcija je vršena sa 1mM IPTG-om ili podizanjem temperature medijuma na  $42^{\circ}$  C, ili na oba načina. Slike 24a i 24b prikazuju rezultate dobijene rastom ćelijske kulture na temperaturi medijuma od  $30^{\circ}$  C i  $37^{\circ}$  C kada se na posebnim plazmidima u ćeliji nalaze represor faga  $\lambda$  i jedna od konstrukcija promotor-IFN-*lacZ* fuzija. Jasno je da i *lac* i CI represor efikasno kontrolišu *P<sub>L</sub>tl* promotor pokazujući združeni efekat represije i njihove derepresije, posebno na temperaturi medijuma od  $30^{\circ}$  C.

Dakle, pojedinačna indukcija na ovoj temperaturi samo delimično aktivira promotor, a jasan efekat indukcije se postiže tek nakon inaktivacije oba represora. Konstrukcija koja sadrži *lac* promotor pokazuje znatno niži nivo aktivnosti  $\beta$ -galaktozidaze. Rastom ćelija domaćina koje sadrže konstrukciju sa *P<sub>L</sub>tl* promotorom, na temperaturi medijuma od  $37^{\circ}$  C, dobija se isti efekat aktivacije promotor-a dvostrukom derepresijom. Inaktivacijom samo *lac* represora postiže se uočljivo viši nivo aktivnosti *P<sub>L</sub>tl* promotora, što može da se protumači kao posledica delimične

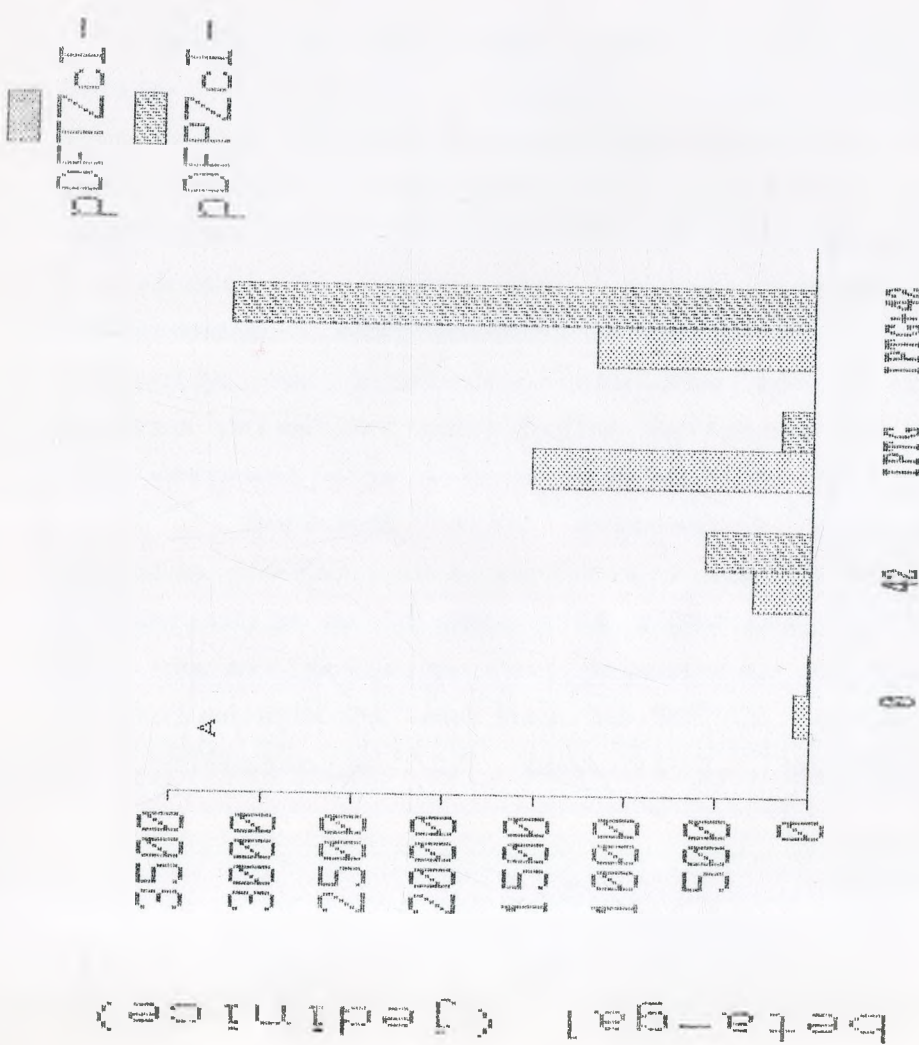
inaktivacije CI represora na temperaturi medijuma od  $37^{\circ}$  C. Pod istim uslovima, konstrukcija pod kontrolom tac promotora je pokazala nekoliko puta niži nivo ekspresije  $\beta$ -galaktozidaze, a  $\lambda$  represor nema nikakav značajan efekat. Istovremeno, ako se poredi sa sistemom koji ne sadrži  $\lambda$  represor (Slika 22 i 24.), jasno se uočava skoro za ceo red veličine niži nivo ekspresije  $\beta$ -galaktozidaze pod kontrolom oba promotora. Dakle ubacivanjem gena za CI represor na posebnom plazmidu, a u istu ćeliju domaćina, postignut je efekat regulacije transkripcije preko  $P_{L\lambda}$  promotora. Međutim, nivo ekspresije drastično je smanjen i to za čitav red veličine kod oba ekspresiona vektora. Svakako da ubacivanje dva plazmida, koji se istovremeno nalaze u više kopija u istoj ćeliji, može da ima samo negativno dejstvo na ishod ekspresije.

Da bi se ovaj negativni efekat dva različita plazmida uklonio, a istovremeno zadрžala kontrola nad  $P_{L\lambda}$  promotorom preko  $\lambda$  represora, u sledećoj fazi istraživanja smo u Hind III mesto postojećih plazmidnih konstrukcija pDFTZ i pDFPZ klonirali *Bgl* II fragment od 2,4kb poreklom iz faga  $\lambda$  koji sadrži gen za temperaturno senzitivni represor (Slika 21b). Cilj ovog eksperimenta je bio dobijanje jednog sistema koji može lakše da se kontroliše, jer je sistem sa samo jednim plazmidom koji se nalazi u velikom broju kopija po ćeliji sigurno stabilniji, pa se može očekivati da i sam ishod ekspresije bude povoljniji.

Aktivnosti promotora, izražene u jedinicama  $\beta$ -galaktozidaze, merene su kod plazmida pDFTZcI(-) kada je gen *cI857* bio orijentisan obrnuto od kretanja kazaljke na satu (- orijentacija), a kod plazmida pDFPZcI(-) i pDFPZcI(+) u obe orijentacije. Slika 25a i 25b prikazuju aktivnosti  $\beta$ -galaktozidaze sa plazmidnim konstrukcijama pDFTcI(-) i pDFPZcI(-) pri rastu ćelija domaćina na temperaturi medijuma od  $30^{\circ}$  C i  $37^{\circ}$  C. Uočava se da je kod obe ove plazmidne konstrukcije nivo  $\beta$ -galaktozidaze znatno

Slika 25. Aktivnosti  $\beta$ -galaktozidaze dobijene sa ekspresionih plazmida pDPPZcI i pDFTZcI.

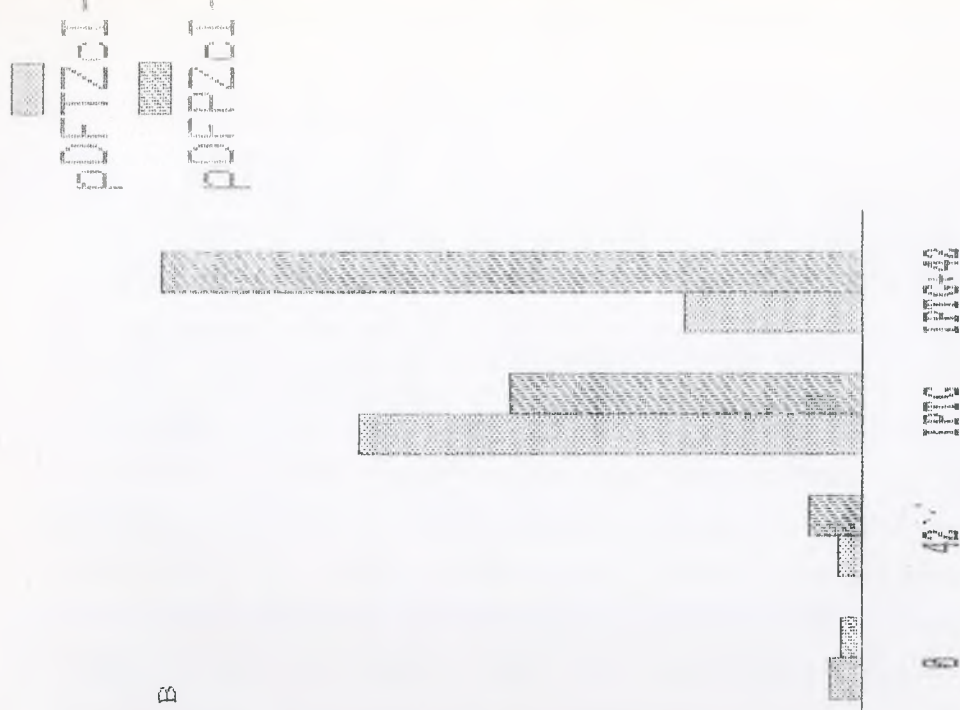
Kultura je rasla na  $30^{\circ}$  C (a) ili  $37^{\circ}$  C (b) do približno 0,2 OD na A<sub>600</sub> i indukovana je sledeća dva sata sa 1mM IPTG-om ili temperaturnim pomakom na  $42^{\circ}$  C, ili na oba načina. Aktivnost  $\beta$ -galaktozidaze je merena kako je objašnjeno u poglavlju METODE. X-osa: O: bez indukcije, 42: indukcija temperaturnim pomakom, IPTG: indukcija sa 1mM IPTG-om, IPTG+42: indukcija sa 1mM IPTG-om i temperaturnim pomakom. Y-osa: Aktivnosti izražene u jedinicima  $\beta$ -galaktozidaze.



B



(301100) 7 - 06 - 07-09



indukcija

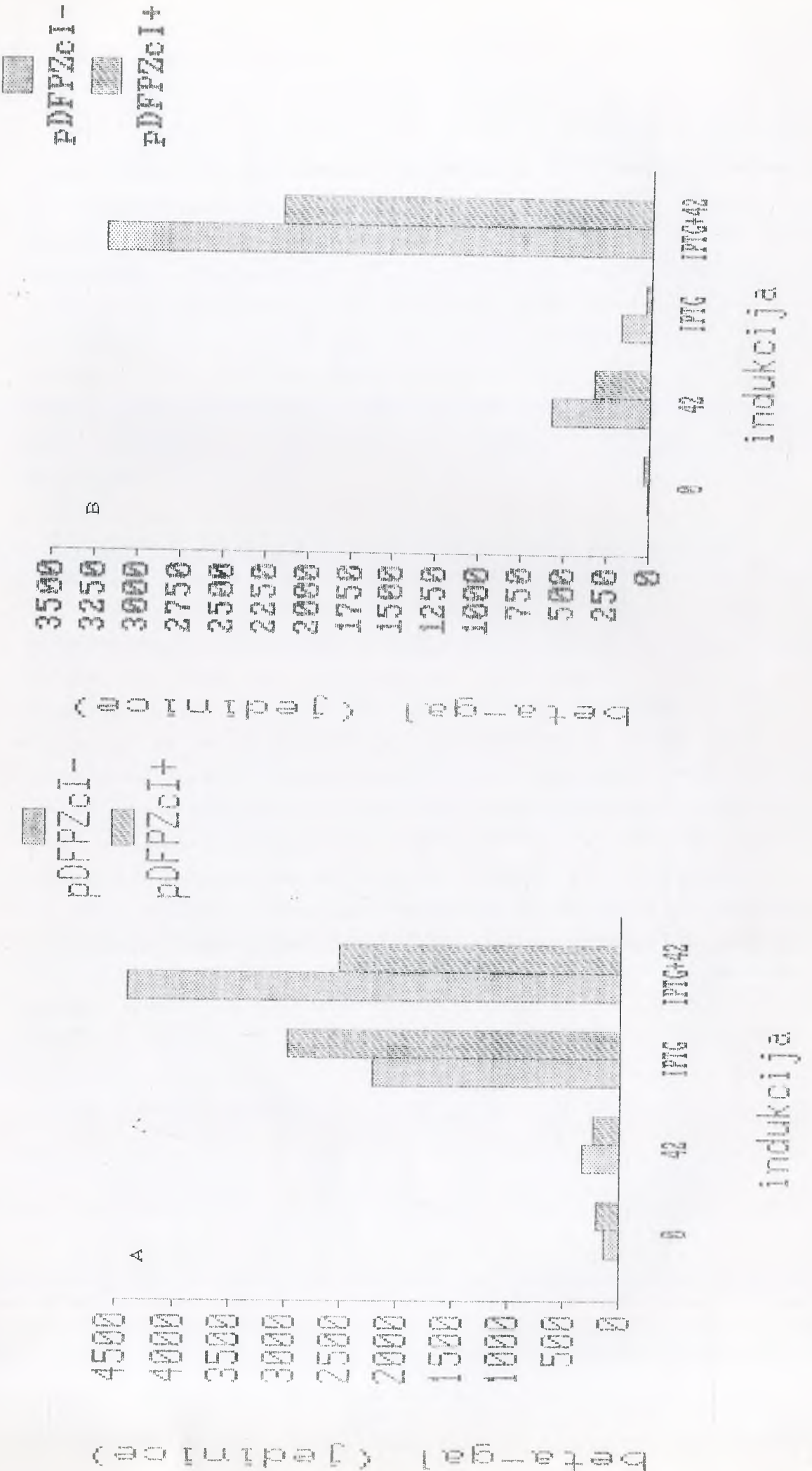
viši nego u sistemu koji sadrži dva različita ekspresiona plazmida u istoj ćeliji domaćinu. Kod ovih konstrukcija, gde je genska fuzija pod kontrolom *P<sub>L</sub>tl* promotora, zdržani efekat dva represora je izrazit. Pri rastu ćelija domaćina na temperaturi medijuma od 30° C, pojedinačnom inaktivacijom represora nivo ekspresije se delimično povećava, dok je potpun efekat derepresije jasno izražen tek nakon inaktivacije oba represora. Tako se inaktivacijom *lac* represora postiže derepresija od 20 puta, a inaktivacijom CI represora 70 puta, dok se potpunom inaktivacijom oba represora postiže derepresija od čak 400 puta. Na temperaturi medijuma od 37° C faktor totalne derepresije je znatno niži i iznosi samo 36. Ovakva razlika u stepenu derepresije je očigledno vezana za delimičnu inaktivaciju temperaturno senzitivnog represora na povišenoj temperaturi, što se posebno ogleda u nivou aktivnosti  $\beta$ -gal nakon inaktivacije *lac* represora koja je četiri puta veća nego na temperaturi od 30° C (Slika 25a i 25b).

Dakle, na višoj temperaturi medijuma na kojoj su rasle ćelije domaćina nalazimo i viši konstitutivni nivo ekspresije. To može da bude posledica delimične temperaturne inaktivacije CI represora, ali je i nivo ekspresije nakon dvostrukе indukcije (inaktivacije oba represora) za 35% veći u odnosu na onaj pri nižoj temperaturi medijuma. Istovremeno, ekspresioni plazmid koji se nalazi pod kontrolom *lac* promotora, kao što se i očekivalo, nije pokazao primetnu inducibilnu zavisnost od  $\lambda$  represora, a nivo ekspresije je niži u poređenju sa *P<sub>L</sub>tl* promotorom.

Porededci nivo ekspresije  $\beta$ -galaktozidaze kod plazmida pDFPZcI(-) i pDFPZcI(+) (Slika 26a i 26b.), gde se transkripcija sa *cI* gena vrši u obe orijentacije u odnosu na smer transkripcije sa *P<sub>L</sub>tl* promotora, utvrdili smo sledeće: a) na temperaturi medijuma od 30° C, konstrukcija kod koje je orijentacija *cI* gena (-), pokazuje niži nivo

Slika 26. Aktivnosti  $\beta$ -galaktozidaze dobijene sa ekspresionih plazmida pDFPZcI(-) i pDFPZcI(+).

Kultura je rasla na  $30^{\circ}$  C (a) ili  $37^{\circ}$  C (b) do približno 0,2 OD na A<sub>600</sub> i indukovana je sledećim dva sata sa 1mM IPTG-om ili temperaturnim pomakom na  $42^{\circ}$  C, ili na oba načina. Aktivnost  $\beta$ -galaktozidaze je merena kako je objašnjeno u poglavlju METODE (sekcija n). X-osa; O: bez indukcije, 42: indukcija temperaturnim pomakom, IPTG: indukcija sa 1mM IPTG-om, IPTG+42: indukcija sa 1mM IPTG-om i temperaturnim pomakom. Y-osa: Aktivnosti izražene u jedinicima  $\beta$ -galaktozidaze.



konstitutivne ekspresije, dok je nivo aktivnosti  $\beta$ -galaktozidaze pri punoj derepresiji 50% viši u odnosu na (+) orijentaciju, b) inaktivacija kako CI tako i lac represora je izrazitija kod (-) orijentacije, c) da je na temperaturi medijuma od 37° C aktivnost  $\beta$ -galaktozidaze pri kompletnoj derepresiji za 30% viša kod konstrukcije sa (-) orijentacijom *cI* gena, d) kod konstrukcije sa (+) orijentacijom *cI* gena maksimalna sinteza  $\beta$ -galaktozidaze se dobija ako se indukcija obavlja samo sa 1mM IPTG-om, dok se pri kompletnoj derepresiji u stvari dobija 16% niža aktivnost.

#### 4.7. Efekat temperature na nivo ekspresije kloniranih gena.

Pod svim okolnostima, bilo da je merena ekspresija  $\beta$ -interferona ili  $\beta$ -interferon-lacZ fuzije i nezavisno od promotora koji je kontrolisao ekspresiju, najviši nivo ekspresije je dobijan na temperaturi medijuma od 37° C. Pokazano je da je nivo  $\beta$ -gal bio maksimalno ispoljen kod oba promotora nakon inaktivacije lac represora kao jedinog prisutnog u sistemu, a da su pod istim uslovima inaktivacije pri povišenoj temperaturi (42° C) oba promotora ispoljila 65% svoje maksimalne aktivnosti (Tabela II). Interesantno je da se i konstitutivni nivo ekspresije smanjuje za 20% nakon povećanja temperature na 42° C. Ovakav efekat je uočljiv i kod konstrukcije koja sadrži lac promotor i *cI* gen (Slika 25b).

TABELA II.

Aktivnosti promotora prikazane u jedinicama  $\beta$ -galaktozidaze<sup>a</sup>

PROMOTOR/ KONSTRUKT <sup>b</sup>	$37^{\circ}\text{ C}$ <sup>c</sup>		indukcija <sup>e</sup>	
	$37^{\circ}\text{ C}$ <sup>c</sup>	$42^{\circ}\text{ C}$ <sup>d</sup>	$37^{\circ}\text{ C}$ <sup>c</sup>	$42^{\circ}\text{ C}$ <sup>c</sup>
<i>P<sub>L</sub>tl/pDFPZ</i>	449		369	9311
<i>tac/pDFTZ</i>	166		131	4545

<sup>a</sup> Videti poglavlje METODE<sup>b</sup> Videti Sliku 13 i 16<sup>c</sup> Soj JM101 hiperprodukuje *lacI* represor i vezuje se za operatorske regije kod oba promotora. Aktivnost promotora je određivana na  $37^{\circ}\text{ C}$  u neindukovanom stanju.<sup>d</sup> Kultura ćelija je uzgajana na  $37^{\circ}\text{ C}$  do približno 0,2 OD na A600 a zatim je 120 minuta držana na temperaturi medijuma od  $42^{\circ}\text{ C}$ , a zatim merena aktivnost  $\beta$ -galaktozidaze.<sup>e</sup> Indukcija je vršena na naznačenim temperaturama 120 minuta sa 1mM IPTG-om.

## 5. DISKUSIJA

Iako već postoji obilje podataka i saznanja o ekspresiji kloniranih gena u *E. coli*, još uvek ne postoji jedna uopštena shema za dobijanje najefikasnije ekspresije bilo kog kloniranog gena ili radi fundamentalnih istraživanja ili za potrebe industrije. To je svakako razlog što se u mnogim svetskim laboratorijama svakodnevno konstruišu nove varijante ekspresionih vektora. Mogućnosti poboljšanja i iznalaženja novih varijanti vektora gotovo su neograničene. Plazmidni vektor pBR322 (Bolivar *et al.* 1977), zbog svojih izuzetnih svojstava, predstavlja jedan od najviše korišćenih vektora. Zadivljujuće je što je za relativno kratko vreme, od kako je konstruisan, ovaj vektor dobio preko sto pedeset svojih derivata (Balbás *et al.* 1986).

Svaka laboratorija rešavajući svoje pojedinačne probleme najčešće konstruiše specijalizovane plazmidne vektore, koji zatim mogu da efikasno posluže i širim zahtevima, ili kao gotov vektor za kloniranje, ekspresiju nekog gena, ili za proučavanje regulatornih sekvenci. Takođe, često se samo delovi plazmida sa određenim specifičnim elementima koriste za konstruisanje novih specijalizovanih plazmida. Naš hibridni promotor je upravo i nastao povezivanjem elemenata poreklom iz različitih ekspresionih plazmida. Dakle, cilj nam je bio s jedne strane, optimizacija ekspresije kloniranog gena za humani  $\beta$ -interferon (kao model-gena) regulacijom na nivou transkripcije, a s druge strane, konstruisanje jednog fleksibilnog promotora koji bi mogao da pokrije širi spektar specifičnih zahteva za ekspresiju različitih gena.

### 5.1. Obrada kloniranog gena humanog $\beta$ -interferona za konstrukciju ekspresionog vektora.

Naš pristup je bio da model gen - humani  $\beta$ -interferon, oslobođimo prirodnih regulatornih sekvenci kao i sekvene za lider peptid skraćivanjem molekula sa egzonukleazom i da se na taj način dovoljno približimo sekvenci strukturalnog gена. Ovaj postupak predstavlja jedan od uslova za dobijanje ekspresije kloniranih eukariotskih gena u *E. coli* i opisan je u poglavlju 4. REZULTATI.

Poznato je da egzonukleaza Bal 31 skraćuje jednolančane i dvolančane krajeve DNK stvarajući smešu progresivno kraćih molekula. Rezultujuća smeša nije homogena već se statistički gledano, dobija najveći broj molekula sa G-C baznim parom kao terminalnim nukleotidima (Guo i Wu, 1983).

Mi smo analizirali sekvene osam odabralih klonova kod kojih se delecija odvijala približno do ATG kodona. Sekvenciranjem datih regiona kod odabralih klonova je utvrđeno da su se sve delecije nalazile u okviru 19bp uzvodno i nizvodno od ATG kodona. Konstatovali smo, ako se naravno ograničimo na ovaj region od "±19bp", da je u šest (75%) slučajeva 5' terminalni nukleotid bio C, a da su se dva (25%) terminalna 5' kraja završavala sa nukleotidom A. Interesantno je navesti da, mada je G u okviru ovog regiona dvostruko ređe zastupljeno od C, nijedan analizirani klon nije imao G na 5' terminusu. Posmatrajući sekvenu u okviru ovog regiona, vidi se da u sedam slučajeva iza nukleotida C nizvodno sledi nukleotid T, dok u šest slučajeva su to A ili C. Normalno bi, znači, bilo i očekivati sličnu distribuciju redosleda nukleotida i kod analiziranih klonova. Ipak, od šest klonova koji su kao 5' kraj imali nukleotid C, kod pet klonova je drugi nukleotid nizvodno bio T, a samo je kod jednog klena bio A. Ako se sada posmatra nukleotid koji prethodi nukleotidu C, vidi se da se T i A svaki u datom regionu pojavljuju po četiri puta, dok se G i C pojavljuju 3

odnosno dva puta. Ovakav odnos je znatno drugačiji kod analiziranih klonova: C se ne pojavljuje ni jedanput, A se pojavljuje kod jednog kloga, T se pojavljuje kod dva kloga, a G se pojavljuje kod tri kloga. Dakle, u okviru analiziranog regiona od "±19bp" sekvenca 5' GCT 3' je zastupljena ukupno tri puta i upravo su se među osam analiziranih klonova našla sva tri kod kojih je delecija išla do C u okviru ove sekvene.

Naravno, teško je na osnovu ovako malog broja analiziranih klonova izvući uopšteni zaključak koje sekvene prvenstveno "prigušuju" aktivnost egzonukleaze Bal 31, ali je sigurno da specifične sekvene diktiraju "nagomilavanje" određenih dužina deletiranih fragmenata. Ovo treba imati u vidu prilikom planiranja skraćivanja fragmenata DNK egzonukleazom Bal 31 na unapred definisane dužine. Tako se može zaključiti da se u našem primeru delecije 5' regiona uzvodno od sekvene za  $\beta$ -interferon, aktivnost Bal 31 egzonukleaze u 63% slučajeva zaustavljala (u okviru "±19bp") na sekvencama:  $(\frac{G}{T})CT$ . Prema tome, vrlo je moguće, ukoliko u okviru planiranog mesta skraćivanja molekula egzonukleazom ne postoji navedena sekvenca  $(\frac{G}{T})CT$ , ili opštije N CT, da se mora računati na neophodno pretraživanje znatno većeg broja klonova da bi se pronašao molekul DNK sa željenim skraćenjem.

### 5.2. Ekspresija gena za humani $\beta$ -interferon.

U poglavlju REZULTATI (4.10.) i u prethodnom delu poglavlja DISKUSIJA govorili smo o problemu "čišćenja" sekvenci koje se nalaze uzvodno od strukturalnog gena (poreklom iz eukariota) sa ciljem da se dobije njegova ekspresija pod kontrolom prokariotskog promotora u bakteriji *E. coli*. Među klonovima koje smo analizirali restrikcionim mapiranjem i sekvenciranjem, odabrali smo onaj kod koga je bila odstranjena kompletna regulatorna sekvenca i sekvenca

za signal peptid. Kod ovog klena (pDF81) preostala sekvenca koja kodira za zreli  $\beta$ -interferon uključujući i ATG kodon stavljena je pod kontrolu hibridnog bakterijskog tac promotora sa SD sekvencom udaljenom 5bp od ATG kodona. Funkcionalnost ovakvog ekspresionog sistema smo potvrdili biološkim testom na antivirusnu aktivnost koja je određena inhibicijom citopatogenog efekta VS virusa na WISH ćelije. Proizvod ekspresije sa plazmida pDF81 je u ovom testu pokazao da klonirani i obrađeni fragment sa genom koji kodira za humani  $\beta$ -interferon pokazuje biološku aktivnost autentičnog  $\beta$ -interferona iz humanih fibroblasta.<sup>3</sup> Pošto je pokazao biološku aktivnost  $\beta$ -interferona, ekspresioni plazmid pDF81 je poslužio za konstruisanje ekspresionog plazmida pDFT. Ovaj novi plazmid je nastao uklapanjem fragmenta DNK poreklom iz dva različita plazmida i jednog sintetisanog dvolančanog fragmenta: a) fragmenta od 772bp (poreklom iz plazmida pDF81) koji sadrži tac promotor i gen za interferon, b) fragmenta od 2294bp, poreklom iz plazmida pBR322, koji sadrži "origin" replikacije i gen za rezistenciju na ampicilin i c) fragmenta od 36bp koji određuje terminaciju transkripcije (sintetisani trpA terminator). Ovu konstrukciju odlikuje nekoliko novih karakteristika u poređenju sa prethodnom: a) poseduje trpA terminator nizvodno od 3' kraja gena za  $\beta$ -interferon b) delecijom od 1657bp uklonjen je rop gen - "repressor of primer" i c) uklonjeno je i Hinc II restrikciono mesto u položaju 1049 plazmida pDF81. Ovo poslednje pojednostavilo je konstruisanje ekspresionog sistema sa novim hibridnim PLtl promotorom (pDFF).

U daljem radu smo uporedili nivo ekspresije gena za  $\beta$ -interferon kada se on nalazi pod kontrolom dva hibridna promotora: tac, koji se nalazi na plazmidu pDFT i PLtl na plazmidu pDFF (Slike 14. i 17.).

<sup>3</sup> Rezultat nije prikazan jer je biološka aktivnost humanog  $\beta$ -interferona pokazana na plazmidnoj konstrukciji pDFT koja je derivat konstrukcije pDF81.

U poglavlju **REZULTATI** smo u Tabeli I. prikazali nivo ekspresija za obe konstrukcije pod različitim uslovima indukcije i rasta ćelija domaćina. Očigledno je, da u uslovima rasta ćelija domaćina na istoj temperaturi medijuma od  $37^{\circ}\text{C}$ , konstrukcija pod kontrolom  $P_{Ltl}$  promotora daje oko 2,7 puta veću aktivnost. S obzirom da se ova dva promotora jedino razlikuju u regionu uzvodno od "-35" sekvence, to se ova razlika u stepenu ekspresije može tumačiti postojanjem jednog kontinualnog dugog (27bp) AT-bogatog niza kod  $P_{Ltl}$  promotora, dok je kod *lac* promotora AT-bogati region sastavljen od dva kraća dela (12 i 14bp) odvojena segmentom od 25bp.

Činjenica da su ekspresioni plazmidi koristili različite domaćine, takođe je mogla da ima uticaja na razliku u stepenu ekspresije. Za konstrukciju sa *lac* promotorom korišćen je soj-domaćin JM101 koji se odlikuje hiperprodukcijom *lac* represora, dok je za konstrukciju sa  $P_{Ltl}$  promotorom korišćen soj POP2136, koji opet u okviru svog hromozoma sadrži gen koji kodira za temperaturno senzitivni represor faga  $\lambda$ . Pošto  $P_{Ltl}$  promotor sadrži operatorske regije  $P_L$  promotora preko kojih se regulacija transkripcije vrši vezivanjem ili inaktivacijom temperaturno senzitivnog represora, osnovni princip je da se rast ćelija odvija na nižim temperaturama od  $28\text{-}30^{\circ}\text{C}$ , a indukcija povišenjem temperature medijuma na  $40\text{-}42^{\circ}\text{C}$ .

Eksperimenti su pokazali da se nakon rasta ćelija na  $30^{\circ}\text{C}$  i punom indukcijom na  $42^{\circ}\text{C}$  i 1mM IPTG-om, dobija samo 25% ekspresije  $\beta$ -interferona pod kontrolom  $P_{Ltl}$  promotora u odnosu na eksperiment sa istovetnim načinom indukcije, ali posle rasta ćelija na  $37^{\circ}\text{C}$ . Ovako snižena vrednost ekspresije na nižoj temperaturi medijuma u kome su rasle ćelije, najverovatnije u našem sistemu potiče ili od fiziološki niske temperature za optimalno funkcionisanje ćelija domaćina, ili od suboptimalne temperature za

vezivanje polimeraze RNK za sekvencu na promotoru. Konstrukcija koja sadrži *P<sub>L</sub>tl* promotor, pored IPTG-om, pokazuje i očekivanu temperaturno-zavisnu indukciju.

### 5.3. Ekspresija β-interferon-lacZ genskih fuzija.

Svakako, jednostavniji i precizniji način određivanja jačine promotora i njegove regulacije je korišćenje *lacZ* gena kao "gena reportera". Zbog toga su konstruisane fuzije koje su sadržale jedan od promotora, sekvencu koja kodira za prvih 46 aminokiselina β-interferona i u fazi čitanja sekvencu *lacZ* gena. Na ovaj način smo poredili stepen ekspresije oba promotora pod identičnim uslovima: a) u ćelijama istog domaćina i b) korišćenjem istih konstrukcionih sklopova izuzev delova koje pokrivaju promotori.

Upoređivanjem aktivnosti oba promotora pri rastu ćelija domaćina na temperaturi medijuma od 37° C, a pod kontrolom samo *lac* represora, dobijen je dvostruko viši nivo aktivnosti β-galaktozidaze, bilo konstitutivni, bilo indukovani, kod konstrukcije sa *P<sub>L</sub>tl* promotorom (Slika 22.). S obzirom da su obe konstrukcije koristile istog domaćina za ekspresiju, za razliku od eksperimenata sa ekspresijom β-interferona, to je svaka sumnja da izbor domaćina može da utiče na toliku razliku u ekspresiji eliminisana. Dakle, ovaj rezultat ukazuje da sekvene koje se nalaze uzvodno od "-35" regionala sigurno utiču na efikasnost transkripcije. Pošto se AT-bogati regionali nalaze u navedenoj oblasti i razlikuju se kod ovih promotora kako po veličini regionala koji obuhvataju, tako i po njihovom mestu, najverovatnije je da su oni i najtešnje uključeni sa drugim elementima u kompleks faktora koji utiču na efikasnost jednog promotora.

*P<sub>L</sub>tl* promotor sadrži uzvodno od "-35" regionala, pored AT bogate sekvene, i dva operatorska mesta (*O<sub>L</sub>Z* i *O<sub>R</sub>O*) za vezivanje represora faga λ (CI represor). Zahvaljujući ovoj

karakteristici, posle uvodenja u sistem gena koji kodira za temperaturno senzitivni represor, mogli smo *P<sub>L</sub>tl* promotor da kontrolišemo pomoću dva različita represora: *lac* i  $\lambda$  represora. Da bismo maksimalno usaglasili oba promotorska sistema, onda smo represor faga  $\lambda$ , bez obzira na njegovu funkciju da se vezuje samo za operatorske regije *O<sub>L</sub>z* i *O<sub>L</sub>s* *P<sub>L</sub>tl* promotora, ubacivali i u sistem koji sadrži *tac* promotor. U sistemu u kome smo merili aktivnosti oba promotora koristili smo istog domaćina koji hiperprodukuje *lac* represor. Za izvor  $\lambda$  represora korišćen je poseban plazmid sa kloniranim *cI857* genom za temperaturno senzitivni represor. Dakle, u ovom slučaju smo imali u jednoj ćeliji dva različita plazmida: jedan je nosio ekspresioni sistem sa *tac* ili *P<sub>L</sub>tl* promotorom, dok se na drugom nalazio gen koji kodira za  $\lambda$  represor.

Aktivnosti oba promotora smo poredili na obe temperature medijuma u kome su rasle ćelije domaćina, 30° C i 37° C i to pomoću oba načina indukcije, sa 1mM IPTG-om i temperaturnim pomakom na 42° C (Slika 24.). Združeni efekat dvostrukе indukcije *P<sub>L</sub>tl* promotora na obe temperature na kojima smo vršili merenje aktivnosti  $\beta$ -galaktozidaze je očigledan. Na temperaturi od 30° C, jasno se uočava samo delimična derepresija pojedinačnom inaktivacijom represora a puna derepresija inaktivacijom oba represora. Na temperaturi od 37° C situacija je nešto drugačija. Na višoj temperaturi (37° C) indukcija samo IPTG-om je znatno izrazitija, dok se efekat samo temperaturne ili kompletne indukcije suštinski ne razlikuje od rezultata na nižoj temperaturi (30° C). Ovaj efekat se svakako mora tumačiti delimičnom inaktivacijom temperaturno senzitivnog represora faga  $\lambda$ . Postupnim smanjenjem temperature medijuma u kome rastu ćelije domaćina, svakako bi se mogla postići i gradacija nivoa ekspresije ukoliko *lac* represor nije prisutan ili je inaktiviran. Postepena simultana inaktivacija oba represora

postupnim povišenjem temperature bila bi moguća ukoliko bi se umesto "divlje tipa" koristio temperaturno senzitivni mutant lac represora.

Istovremeno, ako se posmatra ekspresija kod konstrukcije sa tac promotorom (Slika 24.) može se uočiti da pored očekivanog povećanja ekspresije nakon inaktivacije lac represora, postoji i izvesno povećanje konstitutivne ekspresije povišenjem temperature na  $42^{\circ}$  C. Aditivni temperaturni efekat i efekat IPTG-a je neznatan, ali ipak zapažen. Kako nam nije poznato da u okviru sekvene tac promotora postoji mesto tolikog stepena homologije za koju bi se vezivao  $\lambda$  represor, ovakav efekat temperature premožemo da pripišemo faktorima koji su vezani za postojanje dva plazmida u jednoj ćeliji domaćina, nego za funkcionalnu korelaciju represora faga  $\lambda$  i tac promotora.

Ako uporedimo vrednosti aktivnosti  $\beta$ -galaktozidaze kod sistema koji je kontrolisan samo lac represorom (Slika 22.) sa onim kod koga je prisutan i drugi represorski molekul koji produkuje cl gen na posebnom plazmidu u ćeliji (Slika 24.), vidimo da se, bez obzira na tip promotora u plazmidnoj konstrukciji, dobijaju za čitav red veličine niže vrednosti kod ekspresionog sistema sa dva plazmida. Ovakav sistem sa dva plazmida je svakako veoma nepovoljan ukoliko je osnovni cilj dobijanje efikasne ekspresije nekog gena.

Da bi smo eliminisali očigledno nepovoljan efekat dva različita plazmida kada se oni nalaze istovremeno u istoj ćeliji-domaćinu, klonirali smo u postojeće ekspresione plazmide pDFTZ i pDFPZ fragment sa genom koji kodira za temperaturno senzitivni represor faga  $\lambda$ . Pod istim eksperimentalnim uslovima, pratili smo aktivnosti  $\beta$ -galaktozidaze dobijene pod kontrolom tac i PltI promotora na dve temperature medijuma u kome su rasle ćelije domaćina:  $30^{\circ}$  C i  $37^{\circ}$  C (Slika 25). Slično, kao i u prethodnom sistemu sa dva plazmida, konstrukcija koja sadrži PltI promotor je

pokazala na obe temperature izvesno povišenje aktivnosti  $\beta$ -galaktozidaze posle pojedinačne inaktivacije represora i vrlo jasan zdržani efekat nakon pune indukcije (inaktivacije oba represora). Ovde je sasvim jasan efekat delimične inaktivacije  $\lambda$  represora nakon indukcije  $P_{Ll}$  promotora sa IPTG-om na temperaturi od 37° C.

Ono što se najpre uočava kod ovih rezultata jeste nivo konstitutivne ekspresije  $P_{Ll}$  promotora na obe temperature medijuma (Slika 25a i b). Za razliku od svih naših prethodnih konstrukcija sistema za ekspresiju (Slike 22 i 24), gde je konstitutivna ekspresija  $\beta$ -galaktozidaze pod kontrolom  $P_{Ll}$  promotora znatno viša nego kod tac promotora, ovde je situacija obrnuta. Na nižoj temperaturi rasta ćelija domaćina,  $P_{Ll}$  promotor pokazuje neznatnu konstitutivnu ekspresiju, pa bi moglo da se kaže da je aktivnost promotora pod potpunom kontrolom oba represora. U poređenju sa prethodnim dvostrukim plazmidnim sistemom, kod obe promotorske konstrukcije se pod punom indukcijom postiže znatno viši nivo ekspresije  $\beta$ -galaktozidaze.

Sada je jasno da je sistem koji sadrži samo jedan plazmid daleko superiorniji iz nekoliko razloga. Prvo, ukoliko se oba plazmida proizvode u više kopija po ćeliji, tada usled kompeticije može da dođe do smanjenja populacije ćelija koje sadrže oba plazmida. Drugo, antibiotski pritisak može da stvara negativnu selekciju favorizovanjem samo jednog tipa plazmida. Treće, moguće je nagomilavanje molekula u ćeliji koji ne predstavljaju proizvod željenog gena, već različite proizvode transkripcije i translacije poreklom sa oba plazmida.

Plazmidna konstrukcija koja sadži tac promotor, posle pune indukcije pokazuje, kao i u prethodnim slučajevima, nižu aktivnost  $\beta$ -galaktozidaze u poređenju sa  $P_{Ll}$  promotorom. Ukoliko se tokom indukcije tac promotora sa IPTG-om, temperatura medijuma povisi na 42° C, javlja se

inhibitorni efekat na ekspresiju. Ovaj efekat je naročito izražen nakon povećanja temperature medijuma u kome rastu ćelije sa  $37^{\circ}\text{C}$  na  $42^{\circ}\text{C}$ . Ovaj rezultat (Slika 25) je u potpunoj saglasnosti sa onim koji je dobijen kada se tac promotor nalazi u sistemu koji sadrži samo lac represor (Tabela II.). U slučaju sistema sa dva plazmida imamo obrnutu situaciju (Slika 24). Kada smo diskutovali rezultat dobijen indukcijom tac promotora uz dodatno povišenje temperature na  $42^{\circ}\text{ C}$ , a u sistemu sa dva plazmida, pretpostavili smo da je povećana ekspresija manje verovatno rezultat funkcionalne korelacije temperaturno senzitivnog  $\lambda$  represora i tac promotora, već pre efekat koji je najpre izazvan postojanjem dva različita plazmida u jednoj ćeliji. Dva nezavisna eksperimenta svakako idu u prilog ovoj pretpostavci. Prvo, sa tac promotorom, u sistemu gde je prisutan samo lac represor, povišenjem temperature na  $42^{\circ}\text{ C}$ , (sa ili bez indukcije IPTG-om), konstatuje se snižavanje nivoa ekspresije (Tabela II.). Drugo, isti efekat dobijamo i kod sistema kod koga se gen za represor faga  $\lambda$  nalazi na istom ekspcionom plazmidu sa tac promotorom (Slika 25B.). Iz ovoga može da se zaključi, da u slučaju kada bi postojala funkcionalna zavisnost  $\lambda$  represora i tac promotora, da bi tada povećanje ekspresije morali dobiti posle temperaturne indukcije i kod plazmidne konstrukcije sa *cI* genom (pDFTZcI).

Dakle, upoređivanjem aktivnosti ova dva promotora kod sva tri tipa ekspcionih konstrukcija (Slike 22, 24 i 25) zapažamo jasno izraženu veću aktivnost hibridnog P<sub>LtL</sub> promotora, očiglednu i vrlo efikasnu kontrolu ovog promotora sa dva nezavisna represora i fleksibilnost koja podrazumeva pojedinačno ili združeno korišćenje osobina promotora od kojih je nastao.

Iz prethodnih rezultata (Slike 22, 24 i 25) se vidi da ekspresioni sistem koji ne sadrži  $\lambda$  represor sintetiše najveću količinu  $\beta$ -galaktozidaze u odnosu na bilo koju drugu konstrukciju.

5.4. Uticaj orijentacije kloniranog *cI857* gena na stepen aktivnosti  $\beta$ -galaktozidaze pod kontrolom *P<sub>L</sub>tl* promotora.

Sva merenja i poređenja aktivnosti  $\beta$ -galaktoozidaze preko oba promotora kod konstrukcija koje sadže *cI857* gen su vršena sa klonovima gde je orijentacija ovog gena bila orijentisana obrnuto smeru transkripcije promotor-interferon-lacZ fuzije ("—" orijentacija). Osim toga izabrali smo jedan klon u konstrukciji sa *P<sub>L</sub>tl* promotorom koji je imao kloniran fragment sa *cI857* genom u istoj orijentaciji sa transkripcijom *P<sub>L</sub>tl*-interferon-lacZ fuzije ("+" orijentacija).

Na temperaturi od 30° C, osim konstitutivne ekspresije, koja je niža, kod pojedinačnih inaktivacija represora, kao i kod kompletne indukcije, dobili smo znatno viši nivo ekspresije sa konstrukcijom koja sadrži "—" orijentaciju. Na višoj temperaturi (37° C) dobili smo istu sliku, izuzev u slučaju indukcije sa IPTG-om gde "+" orijentacija pokazuje veću sintezu  $\beta$ -galaktozidaze.

Rezultati (Slika 26) pokazuju da i sama orijentacija represora ima značajan uticaj na ishod ekspresije. Fragment faga  $\lambda$  od 2,4kb sadži *P<sub>R</sub>* promotor i prvih 60bp *cro* gena. Nasuprot tome, na komplementarnom lancu odmah pored *P<sub>R</sub>* promotora nalazi se *P<sub>RM</sub>* promotor i nizvodno sekvenca *cI857* gena, a u nastavku kompletan *rexA* i *rexB* gen (Slika 27).



Slika 27. Fragment od 2,4kb iz  $\lambda$  faga oivičen *BglII* restrikcionim mestima koji sadrži gen koji kodira za *cI* represor.

Znači da fragment koji smo koristili kao izvor represora sadrži i gene koji se eksprimiraju zajedno sa CI represorom, a nemaju funkcionalnu vezu sa našim hibridnim promotorom. Dakle, ovako kloniran fragment, hiperprodukujući proizvode *cI*, *rexA* i *rexB* gena, osim uloge kontrole našeg promotora, može da ima znatan nepovoljni uticaj na neke procese u ćeliji. Temperaturnom inaktivacijom CI represora, koji je aktivator inicijacije transkripcije preko *P<sub>R</sub>M* promotora, istovremeno se aktivira transkripcija preko *P<sub>R</sub>* promotora. Sve ove činjenice ne možemo zanemariti pri tumačenju rezultatata dobijenih sa konstrukcijama koje sadrže ovaj fragment. Zato razliku u stepenu ekspresije među klonovima koji sadrže *cI* gen u različitim orijentacijama možemo tumačiti dvojako. Moguće je da se kod "+" orijentacije, inaktivacijom CI represora i aktivacijom transkripcije preko jakog *P<sub>R</sub>* promotora koji je okrenut u smeru obrnutom od smera transkripcije sa *P<sub>L</sub>tL* promotora, remeti efikasna ekspresija *lacZ* gена, pa se dobija niža aktivnost β-galaktozidaze u odnosu na "--" orijentaciju. Ovakav efekat je najverovatnije posledica negativne superspiralizacije koja je izazvana aktivacijom dva jaka, obrnuto usmerena promotora (Wu et al. 1988). Drugo tumačenje bi moglo biti da kod "--" orijentacije imamo jak *P<sub>R</sub>* promotor usmeren ka hibridnom *P<sub>L</sub>tL* promotoru i da se njegovom aktivacijom tokom indukcije postiže aditivni efekat aktivnosti dva promotora, te se tako dobija povišen stepen ekspresije u odnosu na "+" orijentaciju. Rezultat koji se dobija na temperaturi od 37° C sa konstrukcijom koja ima "+" orijentaciju pre ide u prilog prvog tumačenja. Naime, posle indukcije samo sa IPTG-om, dobija se maksimalna aktivnost β-galaktozidaze, dok se inaktivacijom oba represora dobija smanjenje aktivnosti. Rezultat je prilično neočekivan u poređenju sa ostalim, izuzev ako se prihvati ideja da na 37° C imamo delimičnu inaktivaciju CI represora, a samim tim i delimičnu aktivaciju *P<sub>R</sub>* promotora. Ovakvom

delimičnom aktivacijom  $P_R$  promotora dobijamo i proporcionalno niži njegov inhibitorni efekat. Tek sa punom temperaturnom indukcijom potpuno aktiviramo  $P_R$  promotor pa dobijamo i sniženje aktivnosti  $\beta$ -galaktozidaze.

#### 5.5. Efekat temperature na nivo ekspresije kloniranih gena.

Složenost tumačenja rezultata se još više povećava kada se u sve uvrsti još jedan faktor, koji svakako u našim rezultatima ne sme da se mimoide. To je efekat temperature na ishod ekspresije.

Rezultati koje smo dobili se odnose na dve temperature medijuma u kome su rasle ćelije domaćina,  $30^\circ C$  i  $37^\circ C$ . Videli smo iz tabele I. i Slike 22., 24. i 25. da je optimalna temperatura  $37^\circ C$ , bez obzira na promotor koji kontroliše ekspresiju i bez obzira da li je u pitanju ekspresija eukariotskog (interferona), ili gena prokariota ( $\beta$ -galaktozidaze).

Temperatura od  $42^\circ C$  je korišćena za inaktivaciju temperaturno senzitivnog represora koji se radi upoređivanja rezultata nalazio u konstrukcijama sa oba promotora. Aktivnost  $\beta$ -galaktozidaze testirana je kada su promotori bili pod kontrolom lac represora posle povišenja temperature na  $42^\circ C$  i u prisustvu i odsustvu IPTG-a (Tabela II.). Kad oba promotora jasno je uočljiv inhibitorni efekat povišene temperature na ekspresiju. Pošto se aktivnost  $P_{Ll}$  promotora pored lac represora reguliše i inaktivacijom temperaturno senzitivnog represora faga  $\lambda$ , tada, povišenjem temperature na  $42^\circ C$ , sasvim normalno bi bilo da očekujemo i povećanje nivoa ekspresije. Ovakav efekat i dobijamo kod svih konstrukcija, izuzev one koja sadrži "+" orijentaciju CI represora (Slika 26B). Ovaj rezultat smo prethodno tumačili inhibitornim efektom posebno regulisanog  $P_R$  promotora, mada je moguće da kod ovakve konstrukcije imamo još i dodatni efekat temperaturne inhibicije. Upoređivanjem stepena

ekspresije  $P_{Ltl}$  promotora kod različitih konstrukcija možemo da konstatujemo da se najviši stepen ekspresije postiže kod ekspresionog sistema koji je kontrolisan samo  $lac$  represorom (Slika 22). Videli smo da podizanjem temperature medijuma na  $42^{\circ} C$  kod iste konstrukcije smanjujemo nivo ekspresije (Tabela II). Ako sada taj rezultat uporedimo sa stepenom ekspresije kod "najuspešnije" konstrukcije koja sadrži  $\lambda$  represor ( $pDFPZcI$ ), možemo zaključiti da su te vrednosti vrlo slične (Tabela II i Slika 25). Mogući mehanizam regulacije  $P_{Ltl}$  promotora bi onda mogao biti sledeći: Ukoliko su prisutna oba represora, bazna aktivnost je veoma niska. Onoga momenta kada se inaktivira jedan od represora dolazi do delimične aktivacije. Podizanjem temperature na  $42^{\circ} C$ , a u prisustvu IPTG-a, represore potpuno inaktiviramo i promotor se aktivira. Istovremeno povišena temperatura inhibira punu aktivnost promotora, što verovatno potiče od toga jer se smanjuje efikasnost vezivanja polimeraze RNK za odgovarajuću sekvencu na promotoru. Rezultat je, sa jedne strane, vrlo efikasna inaktivacija promotora represorom, ali je sa druge strane žrtvovana puna aktivnost promotora. Obrnuto, kod sistema kod koga samo  $lac$  represor kontroliše  $P_{Ltl}$  promotor, imamo slabiju inaktivaciju promotora represorom, ali zato daleko kompletniju aktivnost jer se potpuna indukcija odvija na povoljnijoj temperaturi, tj. na temperaturi od  $37^{\circ} C$ .

## 6. ZAKLJUČCI

1. Konstruisan je novi hibridni  $P_{Ltl}$  promotor koji je sastavljen od "-10" regionala  $lacUV5$  promotora, okoline "-35" regionala poreklom od  $trp$  promotora i užvodnog regionala od "-35" sekvence  $P_L$  promotora faga  $\lambda$ . Novi promotor sadrži dva operatorska regionala za koje se represor faga  $\lambda$  i  $lac$  represor vezuju nezavisno jedan od drugog.
2. Upoređivanjem jačine  $tac$  promotora sa našim  $P_{Ltl}$  promotorom u model sistemima u kojima su oni bili vezani sa genom za humani  $\beta$ -interferon ili sa  $\beta$ -interferon- $lacZ$  genskom fuzijom, ovaj poslednji je znatno jači.
3. Pokazano je da se na temperaturi medijuma od  $30^\circ C$  tj. u slučaju, kada su oba represora aktivna, postiže veoma efikasna represija  $P_{Ltl}$  promotora. Za razliku od  $tac$  promotora, pod ovim uslovima konstitutivna ekspresija  $\beta$ -galaktozidaze je zanemarljiva. U slučajevima kada bi proizvod kloniranog gena mogao biti toksičan za ćeliju domaćina, ova osobina bi bila od značaja za odgovarajuću biotehnološku proizvodnju.

4. U slučaju kada bi se u ekspresionom sistemu umesto divljeg tipa nalazio temperaturno senzitivni mutant laci gena (Bukrinsky et al. 1988) predviđamo, da bi tada bilo moguće da se *P<sub>L</sub>tl* promotor umesto sa pojedinačnom indukcijom IPTG-om i povišenjem temperature, aktivira istovremenom temperaturnom inaktivacijom oba represora.

5. Mogućnost da se za kontrolu promotora koriste oba ili da se odabere samo jedan željeni represor, pruža slobodniji izbor i načina indukcije *P<sub>L</sub>tl* promotora, i temperature na kojoj se kultivišu ćelije domaćina.

6. Na osnovu navedenih karakteristika, *P<sub>L</sub>tl* promotor sa svojom fleksibilnom kontrolom ekspresije gena moći će da se koristi za proizvodnju i onih proteina koji zbog svojih biohemičkih svojstava ne bi mogli da se sintetišu posredstvom nekog drugog promotora.

## 7. LITERATURA

- Amann, E., Brosius, J., and Ptashne, M. (1983), Vectors bearing a hybrid *trp-lac* promoter useful for regulated expression of cloned genes in *Escherichia coli*. *Gene*, 25, 167-178.
- Amann, E. and Brosius, J., (1985), "ATG vectors" for regulated high-level expression of cloned genes in *Escherichia coli*. *Gene* 40, 183-190.
- Backman, K., Ptashne, M. and Gilbert, W. (1976), Construction of plasmids carrying the CI gene of bacteriophage lambda. *Proc. Natl. Acad. Sci. USA*, 73, 4174-4178.
- Balbás, P., Soberón, X., Merino, E., Zurita, M., Lomeli, H., Valle, F., Flores, N. and Bolívar, F., (1986), Plasmid vector pBR 322 and its special-purpose derivatives -a review. *Gene*, 50, 3-40.
- Bauer, B. F., Kar, E. G., Elford, R. M. and Holmes, W. M. (1988), Sequence determinants for promoter strength in the *leuV* operon of *Escherichia coli*. *Gene*, 63, 123-134.
- Blumberg, B. M., Nakamoto, T. and Epstein, R. H. (1979), Kinetics of initiation of bacterial protein synthesis. *Proc. Natl. Acad. Sci. USA*, 76, 251-255.
- Boros, I., Lukascovicic, T., Baliko, G. and Venetianer, P. (1986), Expression vectors based on the *rac* fusion promoter. *Gene*, 42, 97-100.
- De Boer, H. A., Gilbert, S. F. and Nomura, M. (1979). DNA sequences of promoter regions of rRNA operons *rrnE* and *rrnA* in *E. coli*. *Cell*, 17, 201-209.
- De Boer, H. A., Comstock, L. J., Yansura, D. G. and Heynecker, H. L. Construction of a tandem *trp-lac* promoter and a hybrid *trp-lac* promoter for efficient and controlled expression of the human growth hormone gene in *Escherichia coli*, in Rodriguez, R. L. and Chamberlin, M. J. (Eds.), *Promoters, Structure and Function*, Praeger, New York, 1982, pp 462-481.
- De Boer, H. A., Comstock, L. J. and Vassar, M. (1983), The *tac* promoter: A functional hybrid derived from the *trp* and *lac* promoters. *Proc. Natl. Acad. Sci. USA*, 80, 21-25.

Bolivar, F., Rodriguez, R.L., Greene, P.J., Betlach, M.C., Heyneker, H.L., Boyer, H.W., Crosa, J.H. and Falkow, S. (1977), Construction and characterization of new cloning vehicles, II. A multipurpose cloning system. *Gene*, 2, 95-113.

Bossi,L. and Smith,D.M. (1984), Conformation change in the DNA associated with unusual promoter mutation in a tRNA gene of *Salmonella*. *Cell* 39, 643-652.

Brandsma,J.A., Bosch,D., de Rueyter,M. and van de Putte,P. (1985), Analysis of the regulatory region of the *ssb* gene of *Escherichia coli*. *Nucleic Acids Res.* 13, 5095-5109.

Braun,R. and Wright,A. (1986), DNA methylation differentially enhances the expression of one of the two *E. coli dnaA* promoters *in vivo* and *in vitro*. *Mol. Gen. Genet.* 202, 246-250.

Breathnach, R. and Chambon, P. (1981), Organisation and expression of eukaryotic split genes coding for proteins. *Ann. Rev. Biochem.* 50, 349-383.

Brosius,J., (1984), Toxicity of an overproduced foreign gene product in *Escherichia coli* and its use in plasmid vectors for the selection of transcription terminators. *Gene*, 27, 161-172.

Buell, G. and Panayotatos, N. In "From Gene to Protein: Steps Dictating the Maximal Level of Gene Expression" Reznikoff, W.S. and Gold, L. (eds), 1985 Benjamin/Cummings, New York.

Buell,G., Schulz,M.-F., Selzer,G., Chollet,A., Movva,N.R., Semon,D., Escanez,S. and Kawashima,E. (1985), Optimazing the expression in *E. coli* of a synthetic gene encoding somatomedin-C (IGF-I). *Nucleic Acids Res.* 13, 1923-1938.

Buell,G. and Panayotatos,N. (1986), Mechanism and practise in Reznikoff,W., Gold,L. (Ed.), (1986), Maximizing gene expression, pp. 345-363., Butterworths Publishers.

Bukrinsky,M.I., Barsov,E.V. and Shilov,A.A. (1988), Multicopy expression vector based on temperature-regulated lac repressor: expression of human immunodeficiency virus *env* gene in *Escherichia coli*. *Gene*, 70, 415-417.

Bushman,F.D. and Ptashne,M. (1988), Turning λ Cro into transcriptional activator. *Cell*, 54, 191-197.

Carpousis, A.J., and Gralla,J.D. (1980), Cycling of ribonucleic polymerase to produce oligonucleotides during initiation *in vitro* at the lac UVS promoter. *Biochemistry*, 19, 3245-3253.

Chamberlin, M. J., (1974), The selectivity of transcription. Annu. Rev. Biochem. 43, 721-775.

Childs, J., Villanueva, K., Barrick, D., Schneider, T. D., Stormo, G., Gold, L., Leitner, M. and Caruthers, M. (1985), Ribosome binding site sequences and function. pp. 341-350. In Calendar, R. and Gold, L. (Ed.) Sequence specificity in transcription and translation. Alan R. Liss, New York.

Christie, G. E., Farnham, P. J. Platt, T. (1981), Synthetic sites for transcription termination and functional comparison with tryptophan operon termination sites in vitro. Proc. Natl. Acad. Sci. USA, 78, 4180-4184.

Corden, J., Waslylyk, B., Buchwalder, A., Sassone-Corsi, P., Kedinger, C. and Chambon, P. (1980) Promoter sequences of eukaryotic protein coding genes. Science 209, 1406-1414.

Crkvenjakov, R., Drmanac, R., Bucan, M., Konstantinovic, M., Fogel, M., Maksimovic, V., Petrovic, N., Savic, A., and Glisin, V., (1984), Cloning of eukaryotic gene sequences: studies on human fibroblast interferon and rat globin genes. Periodicum Biologorum, 86, 115-124.

Degrave, W., Deryck, R., Tavernier, J., Haegeman, G., and Fiers, W. (1981), Nucleotide sequence of the chromosomal gene for human fibroblast ( $\beta$ -1) interferon and of the flanking region. Gene, 14, 137-134.

Edge, M. D., Greene, A. R., Heathcliffe, G. R., Meacock, P. A., Schuch, W., Scanlon, D. B., Atkinson, T. C., Newton, C. R. and Markham, A. F. (1981) Total synthesis of a human leukocyte interferon gene. Nature, 292, 756-762.

Gamper, H. B. and Hearst, J. E. (1982), A topological model for transcription based on unwinding angle analysis of *E. coli* RNA polymerase binary, initiation and ternary complexes. Cell, 29, 81-90.

Gilbert, W. (1976), Starting and stoping sequences for the RNA polymerase, in Losick, R., and Chamberlin, M. (Eds.) RNA Polymerase. Cold Spring Harbor Laboratories, Cold Spring Harbor, NY, 1976, pp. 193-205.

Goeddel, D. V., Heynecker, H. L., Hozumi, T., Arentzen, R., Itakura, K., Yansura, D. G., Ross, M. J., Miozzari, G., Crea, R., and Seeburg, P. H. (1979) Direct expression in *E. coli* of a DNA sequence coding for human growth hormone. Nature, 281, 544-548.

Goeddel, D. V., Shepard, H. M., Yelverton, E., Leung, D. and Crea, R. (1980), Synthesis of human fibroblast interferon by *Escherichia coli*. Nucleic Acids Res. 8, 4057-4074.

Gold,L. and Stormo,L. (1987), Translational initiation. pp. 1303-1307. In Neidhart,F., Ingraham,J.L., Low,K.B., Magasanik,B., Schaecheter,M. and Umbarger,H.E. (ed), *Escherichia coli* and *Salmonella typhimurium*-cellular and molecular biology. American Society for Microbiology, Washington D.C.

Gourse,R.L., De Boer,H.A., and Nomura,M. (1986), DNA determinants of rRNA Synthesis in *E. coli*: Growth Rate Dependent Regulation, Feedback Inhibition, Upstream Activation, Antitermination. *Cell*, 44, 197-205.

Gouy, M. and Gautier, C. (1982), Codon usage in bacteria: correlation with gene expressivity, *Nucleic Acids Res.* 10, 7055-7074.

Grantham, R., Gautier, C., Gouy, M., Jacobzone, M. and Mercier, R. (1981), Codon catalog usage is a genome strategy modulated for gene expressivity. *Nucleic Acids Res.* 9, 443-r75.

Gray,H.B., Ostrander,D.A., Hodnett,J.L., Legarski,R.J. and Robberson,D.L. (1975), Extracellular nuclease of *Pseudomonas* BAL 31. I. Characterization of single strand-specific deoxyriboendonuclease and double-strand deoxyriboexonuclease activities. *Nucleic Acids Res.*, 2 1459-1492.

Greenblatt, J. (1981). Regulation of transcription termination by the N gene protein of bacteriophage lambda. *Cell*, 24, 8-9.

Grosjean, H. and Fiers, W. (1982) Preferential codon usage in prokaryotic genes. The optimal codon- anticodon interaction energy and selective codon usage in efficiently expressed genes. *Gene*, 18, 199-209.

Gross,G., Mayr,U., Bruns,W., Grosveld,F., Dahl,H.-H.M. and Collins,J. (1981), The structure of a thirty-six kilobase region of the human chromosome including the fibroblast interferon-IFN-beta. *Nucleic Acids Res.*, 9, 2495-2507.

Grossman,A.D., Erickson,J.W. and Gross,C.A. (1984), The *htpR* gene product of *E. coli* is a sigma factor for heat shock promoters. *Cell*, 38, 383-390.

Guo,L.-H. and Wu,R. (1983), Exonuclease III: Use for DNA sequence analysis and in specific deletions of nucleotides. *Methods in Enzymology*, 100, 60-96.

Hallewell, R.A. and Emtage, S. (1980), Plasmid Vectors containing the tryptophan operon promoter suitable for efficient regulated expression of foreign genes. *Gene*, 9, 24-47.

Hanna, M. M. and Meares, C. F. (1983), Topography of transcription: path of the leading end of nascent RNA through the *Escherichia coli* transcription complex. Proc Natl. Acad. Sci. USA, 80, 4238-4242.

Hanahan, D., (1983), Studies on transformation of *Escherichia coli* with plasmids. J. Mol. Biol. 166, 557-580.

Hawley, D. K. and McClure, W. R. (1983), Compilation and analysis of *Escherichia coli* promoter DNA sequences. Nucleic Acids Res., 11, 2237-2250.

Hawley, D. K., Johnson, A. D. and McClure, W. R. (1985), Functional and physical characterization of transcription initiation complexes in the bacteriophage  $\lambda$  OR region. J. Biol. Chem., 260, 8618-8626.

Hershfield, M. V., Boyer, H. W., Yanofsky, C., Lovett, M. and Helinski, D. R., (1974), Plasmid Col E1 as a molecular vehicle for cloning and amplification of DNA. Proc. Natl. Acad. Sci. USA, 71, 3455-3459.

Hopkins, A. S., Murray, E. and Brammar, W. J. (1976). Characterisation of lambda trp-transducing bacteriophage made *in vitro*. J. Mol. Biol. 107, 549- 569.

Hoopes, B. C. and McClure, W. R. (1987), Strategies in regulation of transcription initiation. 1231-1240. In Neidhart, F., Ingraham, J. L., Low, K. B., Magasanik, B., Schaecheter, M. and Umbarger, H. E. (ed), *Escherichia coli and Salmonella typhimurium-cellular and molecular biology*. American Society for Microbiology, Washington D. C.

Horn, G. T. and Wells, R. D., (1981a), The leftward promoter of bacteriophage  $\lambda$ . Structure, Biological activity, and influence by adjacent regions. J. Biol. Chem. 256, 2003-2009.

Horn, G. T. and Wells, R. D., (1981b), The leftward promoter of bacteriophage  $\lambda$ . Isolation of a small restriction fragment and deletion of adjacent regions. J. Biol. Chem. 256, 1998-2002.

Ikemura, T. (1981), Correlation between the abundance of *E. coli* transfer RNAs and the occurrence of respective codons in its protein genes. J. Mol Biol. 146, 1-21.

Iserentant, D. and Fiers, W. (1980), Secondary structure of mRNA and efficiency of translation initiation. Gene, 9, 1-12.

Itakura,K., Hirose,T., Crea,R. Riggs,A.D., Heyneker,H.L., Bolivar,F. and Boyer,H.W. (1977), Expression in *E. coli* of a chemically synthesised gene for the hormone somatostatin. *Science*, 198, 1056-1063.

Jay,G. and Kaempfer,R. (1975), Initiation of protein synthesis. *J. Biol. Chem.* 250, 5742-5748.

Jay, G., Khoury, G., Seth, A.K. and Jay, E. (1981). Construction of a general vector for efficient expression of mammalian proteins in bacteria: Uses of a synthetic ribosome binding site. *Proc. Natl. Acad. Sci. USA*. 78, 5543-5548.

Jehle,H. (1965), Replication of double-strand nucleic acids. *Proc. Natl. Acad. Sci. USA*, 53, 1451-1455.

Kirkegaard,K., Buc,H., Spassky,A. and Wang,J.C. (1983), Mapping of single-stranded regions in duplex DNA at the sequence level: Single-strand-specific cytosine methylation in RNA polymerase-promoter complexes. *Proc. Natl. Acad. Sci. USA*. 80, 2544-2548.

Kozak, M. (1981), Possible role of flanking nucleotides in recognition of the AUG initiator codon by eukaryotic ribosomes. *Nucleic Acids Res.* 9, 5233- 5252.

Lamond,A.I. and Travers,A.A.,(1983), Requirement for an upstream element for optimal transcription of a bacterial tRNA gene. *Nature*, 305, 248-250.

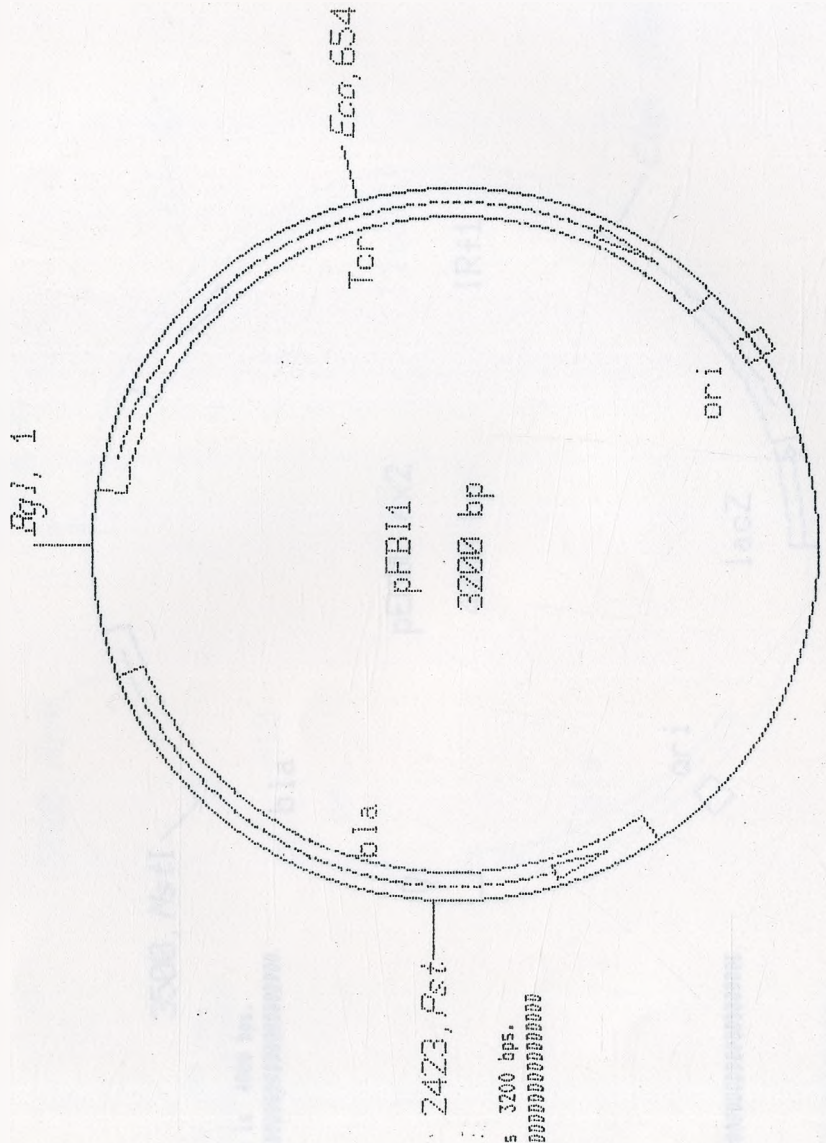
Landick,R. and Yanofsky,C. (1987), Transcriptionattenuation. 1276-1302. In Neidhart,F., Ingraham,J.L., Low,K.B., Magasanik,B., Schaecheter,M. and Umbarger,H.E. (ed), *Escherichia coli and Salmonella typhimurium-cellular and molecular biology*. American Society for Microbiology, Washington D.C.

Lawn,R.M., Adelman,J., Franke,A.E., Houck,C.M., Gross,M., Najarian,R. and Goeddel,D.V. (1981), Human fibroblast interferon gene lacks introns. *Nucleic Acids Res.* 9, 1045-1052.

de Lorenzo,V., Herrero, M., and Neilands,J.B.,(1988), pCON4 and pCON5: improved plasmid vectors to study bacterial promoters. *FEMS Microbiology Letters*, 50, 17-23.

Mandecki,W. and Reznikoff,W.S.,(1982) A lac promoter with a changed distance between -10 and -35 regions. *Nucl. Acids Res.* ,10, 903-912.

Maniatis,T.,Fritsch,E.F.,and Sambrook,J. *Molecular Cloning. A Laboratory Manual*. Cold Spring Harbor Laboratory, Cold Spring Harbor, NY, 1982.



#### Restriction Enzyme Table

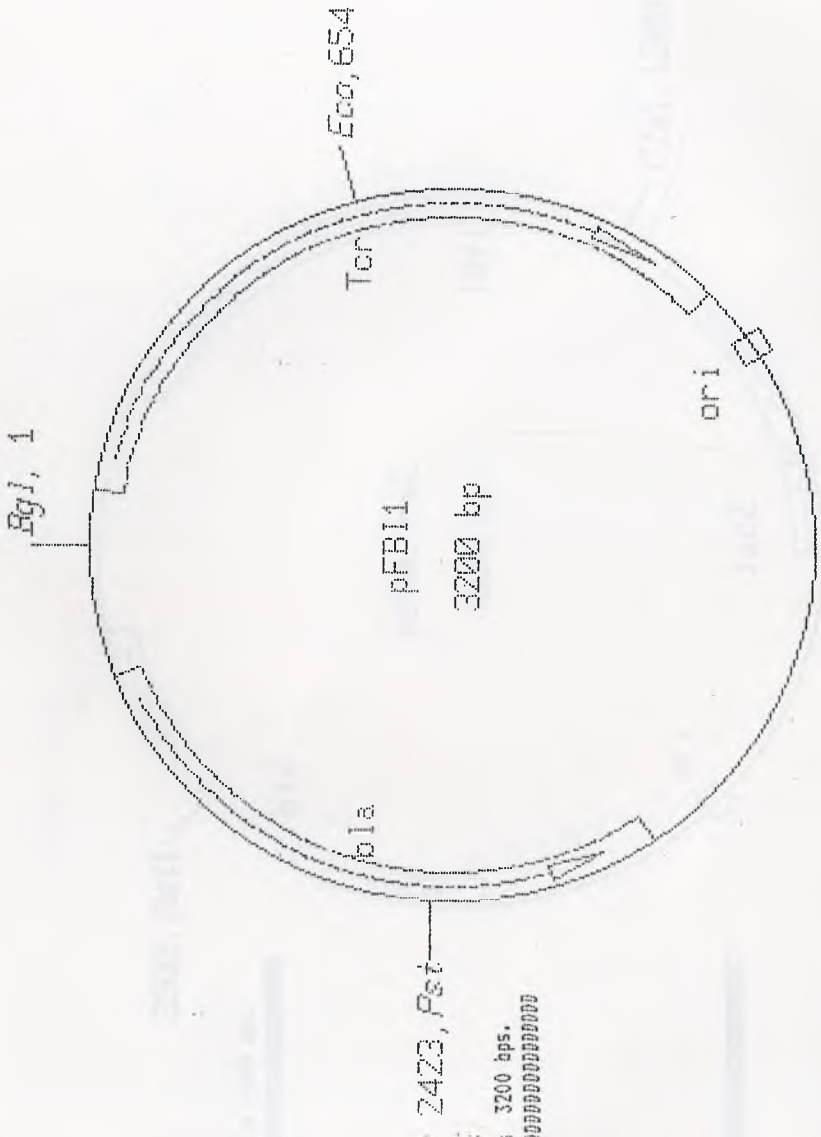
NO.	Name	Location	Displayed
1	B91	1	YES
2	Eco	654	YES
3	Pst	2423	YES

Table I

No.	Name	Location
1	Tcr	80 to 1200
2	bla	3000 to 2100

Tables

No. Name Location  
1. or 1 1300



Restriction Enzyme Table:

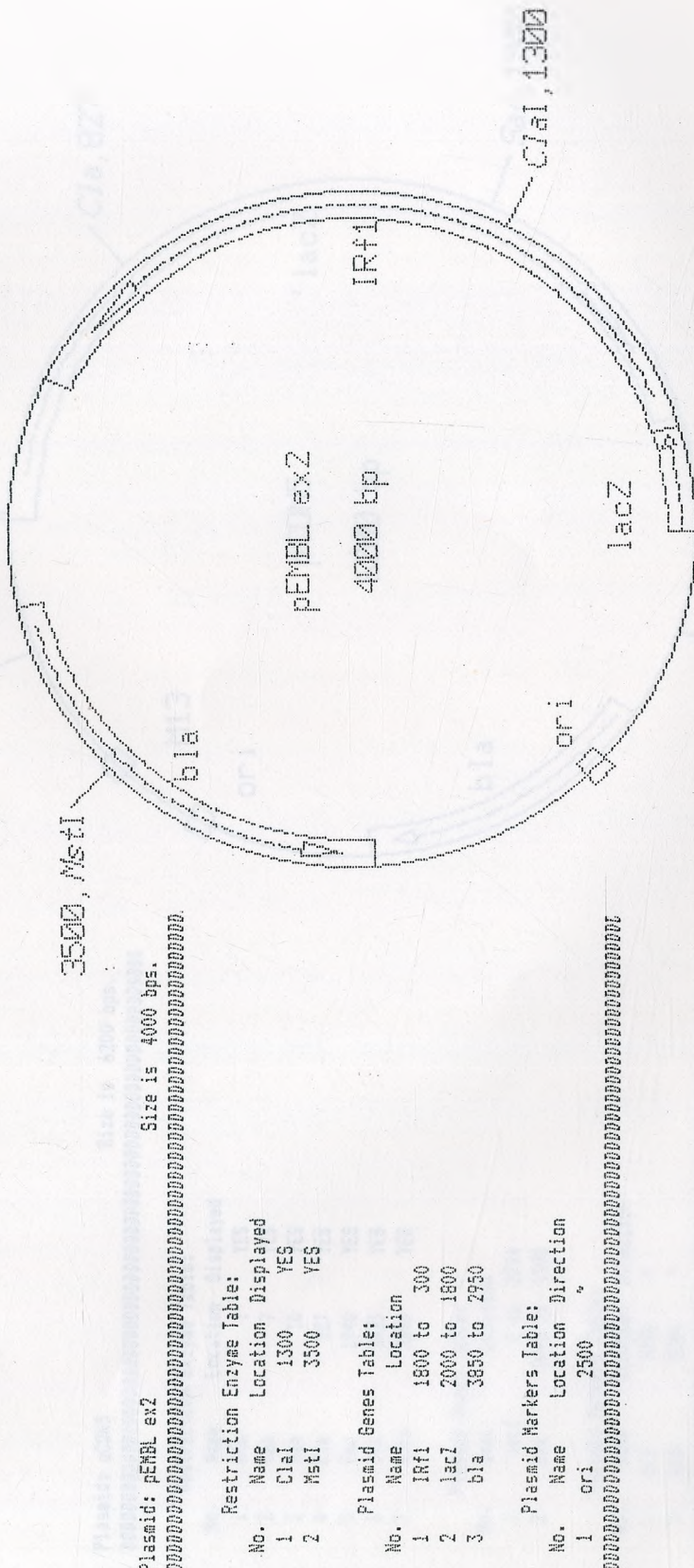
No.	Name	Location	Displayed
1	BglI	1	YES
2	EcoI	654	YES
3	PstI	2423	YES

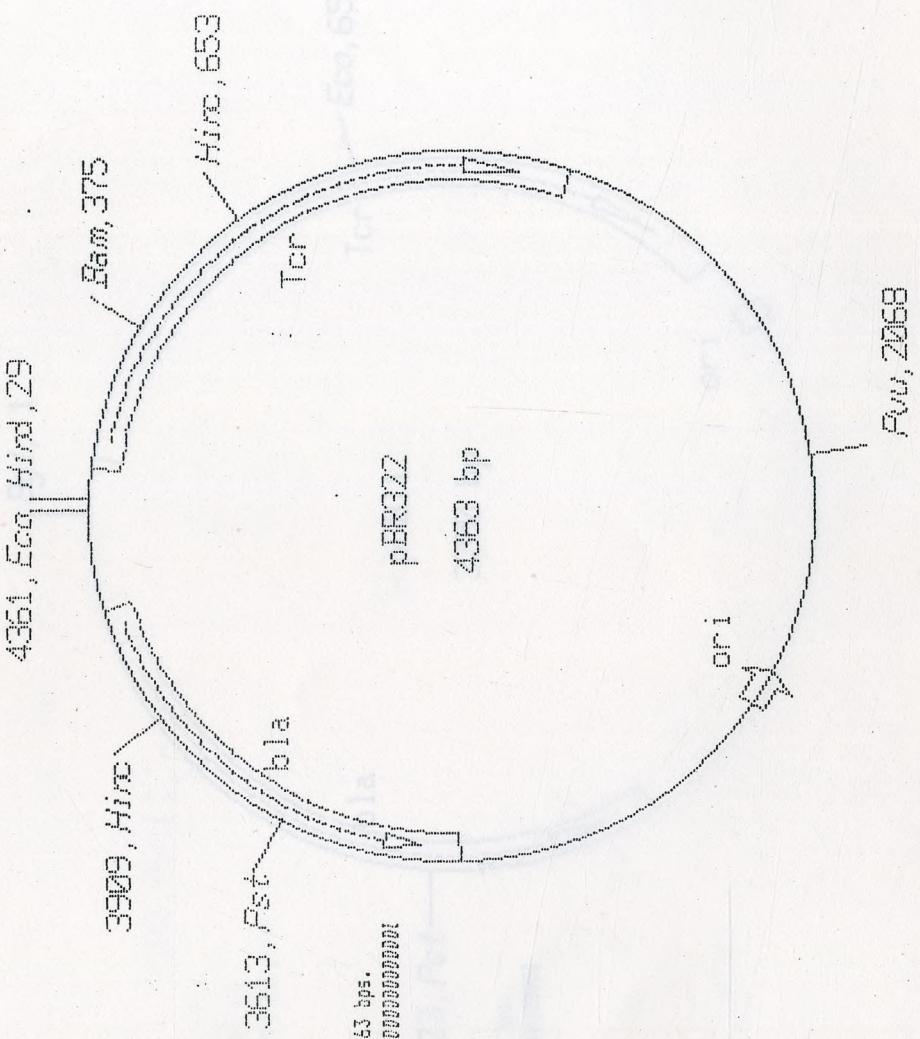
Plasmid Genes Table:

No.	Name	Location	Direction
1	Tcr	80 to 1200	"
2	bla	3000 to 2100	"

Plasmid Markers Table:

No.	Name	Location	Direction
1	gri	1300	"





Plasmid: pBR322  
Size is 4363 bps.  
XXXXXXXXXXXXXXXXXXXXXXXXXXXXXXXXXXXXXX

#### Restriction Enzyme Table:

No.	Name	Location	Displayed
1	Hind	29	YES
2	Bam	375	YES
3	Hinc	653	YES
4	Pvu	2088	YES
5	Pst	3613	YES
6	Hinc	3909	YES
7	Eco	4361	YES

No.	Name	Location
1	Tcr	80 to 1320
2	bla	4160 to 3260

#### Plasmid Markers Table:

No.	Name	Location	Direction
1	ori	2540	<

R.W., 2068

Maxam, A. M. and Gilbert, W., (1980), Sequencing end-labeled DNA with base-specific chemical cleavages. *Methods Enzymol.* 65, 499-560.

McClure, W. R., (1980), Rate-limiting steps in RNA chain initiation. *Proc. Natl. Acad. Sci. USA*, 77, 5634-5638.

McClure, W. R., Hawley, D. K., Youderian, P. and Susskind, M. M. (1983), DNA determinants of promoter selectivity in *Escherichia coli*. *Cold Spring Harbor Symp. Quant. Biol.* 47, 477-481.

McClure, W. R. (1985), Mechanism and control of transcription initiation in prokaryotes. *Ann. Rev. Biochem.* 54, 171-204.

Miller, J. H. Experiments in Molecular Biology. Cold Spring Harbor Laboratory, Cold Spring Harbor, NY, 1972.

Miller, J. H. and Reznikoff, W. S. (1978). The Operon. Cold Spring Harbor Laboratory, Cold Spring Harbor Laboratory, New York.

Mizushima-Sugano, J. and Kaziro, Y., (1985), Regulation of the expression of the *tufB* operon: DNA sequences directly involved in the stringent control., *The EMBO Journal*, 4, 1053-1058.

Moir, A. and Brammar, W. J., (1976), The use of specialized transducing phage in the amplification of enzyme production. *Molec. Genet. 149*, 87-99.

Mulligan, M. E., Hawley, D. K., Entriken, R. and McClure, W. R. (1984), *Escherichia coli* promoter sequences predict *in vitro* RNA polymerase selectivity. *Nucleic Acids Res.* 12, 789-800.

Munson, L. M., Stormo, G. D., Niece, R. L. and Reznikoff, W. S. (1984), *lacZ* translational initiation mutation. *J. Mol. Biol.* 177, 663-683.

Nakamura, K and Inouye, M., (1979), DNA sequence of the gene for the outer membrane lipoprotein of *E. coli*: an extremely AT-rich promoter. *Cell*, 18, 1109-1117.

Nakamura, K. and Inouye, M. (1982) Construction of versatile expression cloning vehicles using lipoprotein gene of *E. coli*. *EMBO Journal* 1, 771-775.

Nakamura, K., Masui, Y. and Inouye, M. (1982), Use of a *lac* promoter-operator fragment as a transcriptional control switch for expression of the constitutive *lpp* gene in *E. coli*. *J. Mol. Appl. Genet.* 1, 289-299.

Nishi,T. and Itoh,S. (1986), Enhancement of transcriptional activity of the *Escherichia coli* *trp* promoter by upstream A+T-rich regions. *Gene*, 44, 29-36.

Ohno,S. and Taniguchi,T. (1981), Structure of chromosomal gene for human interferon beta. *Proc. Natl. Acad. Sci. USA*, 78, 5305-5309.

Olins,P.O., Devine,C.S., Rangwala,S.H. and Kavka,K.S. (1988), The T7 phage gene 10 leader RNA, a ribosome-binding site that dramatically enhances the expression of foreign genes in *Escherichia coli*. *Gene*, 73, 227-235.

Panayotatos,N. and Truong,K. (1981) Specific deletion of DNA sequences between preselected basis. *Nucleic Acids Res.*, 9, 5679-5688

Phillips,T.A., van Bogelen,R.A. and Neidhardt,F.C. (1984), lon gene product of *Escherichia coli* is a heat-shock protein. *J. Bacteriology*, 159, 283-287.

Plaskon,R.R. and Wartell,R.M.,(1987), Sequence distributions associated with DNA curvature are found upstream of strong *E. coli* promoters. *Nucl. Acids Res.*, 15, 785-796.

Pribnow,D.,(1975) , Nucleotide sequence of an RNA polymerase binding site at an early T7 promoter. *J. Mol. Biol.*, 99, 419-443.

Ptashne,M. (1986), A Genetic Switch - Gene Control and Phage  $\lambda$ ., Harvard University, Protein-DNA interactions and gene control pp. 33-47., Blackwell Scientific Publications & Cell Press.

Raibaud,O. and Schwartz,M. (1984) Positive control in transcription initiation in bacteria. *Ann. Rev. Genet.* 15, 173-206.

Remaut,E., Stanssens,P. and Fiers,W. (1981), Plasmid vectors for high-efficiency expression controlled by the *PL* promoter of coliphage lambda. *Gene*, 15, 81-93.

Remaut,E., Stanssens,P. and Fiers,W. (1983), Inducible High level synthesis of mature human fibroblast interferon in *Escherichia coli*. *Nucleic Acids Res.* 11, 4677-4687.

Reznikoff,W.S., Maquat,L.E., Munson,L.M., Johnson,R.C. and Mandecki,W. (1982), The *lac* promoter: analysis of structural signals for transcription, initiation, and identification of a new sequence-specific event, pp.80-95. In Rodriguez,R.L. and Chamberlin,M.J. (ed), Promoters: structure and function. Praeger, New York.

Roberts,D., Hoopes,B.C., McClure,W.R. and N. Kleckær (1985), IS10 transposition is regulated by DNA adenine methylation. *Cell*, 43, 117-130.

Rosenberg, M. and Court, D. (1979) Regulatory sequences involved in the promotion and termination of RNA transcription. *Ann. Rev. Genetics* 13, 319-353.

Rubinstein,S., Familletti,P.C. and Pestka,S.,(1981), Convenient assay for interferons. *Journal of Virology* 37, 755-758.

Russell,D.R. and Bennett,G.N.,(1982), Construction and analysis of *in vitro* activity of *E. coli* promoter hybrids and promoter mutants that alter the -35 and -10 spacing. *Gene* 20, 231-234.

Sanzey, B. (1979), Modulation of gene expression by drugs affecting deoxyribonucleic acid gyrase. *J. Bacteriology*, 138, 40-47.

Sauer,R.T., Krovatin,W., DeAnda,J., Youderian,P. and Susskind,M.M. (1983), Primary structure of the *immI* immunity region of bacteriophage P22. *J. Mol. Biol.* 168, 699-713.

Shine, J. and Dalgarno, L. (1974) The 3'-terminal sequence of *Escherichia coli* 16S ribosomal RNA: complementarity to nonsense triplets and ribosome binding sites. *Proc. Natl. Acad. Sci. USA*, 71, 1342-1346.

Shine, J. and Dalgarno, L. (1975) Determinant of cistron specificity in bacterial ribosomes. *Nature*, 254, 34-38.

Shortle, D., Dimaio, D. and Nathans, D. (1981) Directed mutagenesis. *Ann. Rev. Genetics*, 15, 265-294

Siebenlist, U., Simpson, R.B. and Gilbert, W. (1980). *E. coli* polymerase interacts homologously with two different promoters. *Cell*, 20, 269-281.

Silverstone,A.E., Arditti,R.R., and Magasnik,B. (1970), Catabolite insensitive revertants of *lac* promoter mutants. *Proc. Natl. Acad. Sci. USA*, 68, 773-778.

Sninsky, J.J., Uhlin, B.E., Gustafsson, P. and Cohen, S.N. (1981), Construction and characterization of a novel two-plasmid system for accomplishing temperature-regulated amplified expression of cloned adventitious genes in *E. coli*. *Gene*, 16, 275-286.

Soberón, X., Covarrubias, L. and Bolívar, L. (1980), Construction and characterization of new cloning vehicles, IV. Deletion derivatives of pBR322 and pBR325. *Gene*, 9, 287-350.

Sollazzo, M., Frank, R. and Cesareni, G. (1985), High level expression of RNAs and proteins: the use of oligonucleotides for the precise fusion of coding-to-regulatory sequences. *Gene*, 37, 199-206.

Steege, D. A. (1977), The 5' terminal sequence of the *E. coli* lactose repressor messenger RNA: features of translational initiation and reinitiation sites. *Proc. Natl. Acad. Sci. USA*, 74, 4163-4167.

Stefano, J. E. and Gralla, J. D. (1982), Spacer mutations in the lac  $p^s$  promoter. *Proc. Natl. Acad. Sci. USA*, 79, 1069-1082.

Steitz, J. A. (1979). Genetic signals and nucleotide sequences in messenger RNA. In "Biological Regulation and development 1. Gene Expression" (Goldberger, R.F., ed) pp. 349-399. Plenum Press, New York.

Stephens, J. C., Artz, S. W. and Ames, B. N. (1975), Guanosine 5'-diphosphate 3'-diphosphate (ppGpp) positive effector for histidine operon transcription and general signal for amino-acid deficiency. *Proc. Natl. Acad. Sci. USA*, 72, 4389-4393.

Sternberg, N. (1985), Evidence that adenine methylation influences DNA-protein interactions in *Escherichia coli*. *J. Bacteriology*, 164, 490-493.

Stormo, G. D., Schneider, T. D. and Gold, L. (1982), Characterization of translational initiation sites in *E. coli*. *Nucleic Acids Res.*, 10, 2971-2996.

Stüber, D. and Bujard, H. (1981), Organization of transcriptional signals in plasmid pBR322 and pACYC184. *Proc. Natl. Acad. Sci. USA*, 78, 167-171.

Sutcliffe, J. G. (1978), pBR322 restriction map marked from the DNA sequence: Accurate DNA size markers up to 4361 nucleotide pairs long. *Nucleic Acids Res.*, 5, 2721- .

Sutcliffe, J. G. (1979), Complete nucleotide sequence of the *Escherichia coli* plasmid pBR322. *Cold Spring Harbor Symp. Quant. Biol.*, 43, 77- .

Takagi,H., Morinaga,Y., Tsuchiya,M., Ikemura,H. and Inouye,M. (1988), Control of folding of proteins secreted by a high expression secretion vector, pIN-III-*ompA*: 16-fold increase in production of active subtilisin E in *Escherichia coli.*, *Bio/technology*, 6, 948-950.

Talmadge, K., Kaufman, J. and Gilbert, W. (1980a) Bacteria mature preproinsulin to proinsulin. *Proc. Natl. Acad. Sci. USA*, 77, 3988-3992.

Talmadge, K., Stahl, S. and Gilbert, W. (1980b) Eukaryotic signal sequence transports insulin antigen in *E. coli*. *Proc. Natl. Acad. Sci. USA*, 77, 3369-3373

Tavernier,J., Gheysen,D., Duerinck,F., van der Heyden,J. and Fiers,W. Deletion mapping of the inducible promoter of human IFN-beta gene. (1983) *Nature*, 301, 634-636.

Travers,A.A., (1980), A tRNA<sup>tyr</sup> promoter with an altered *in vitro* response to ppGpp., *J. Mol. Biol.* 141, 91-97.

Twigg,A.J. and Sherratt,D. (1980), Trans-complementable copy number mutants of plasmid ColE1. *Nature*, 283, 216-218.

Vollenweider,H.J., Fiandt,M. and Szybalski,W., (1979), A relationship between DNA helix stability and recognition sites for RNA polymerase. *Science*, 205, 508-511.

Wu,H.M. and Crothers,D.M. (1984), The locus of sequence directed and protein induced DNA bending. *Nature (London)*, 308, 509-513.

Wu,H.-Y., Shyy,S., Wang,J.C. and Liu,L.F. (1988), Transcription generates positively and negatively supercoiled domains in the template. *Cell*, 53, 433-440.

Yager,T.D. and von Hippel,P.H. (1987), Transcript elongation and termination in *Escherichia coli*. 1241-1275. In Neidhart,F., Ingraham,J.L., Low,K.B., Magasanik,B., Schaecheter,M. and Umbarger,H.E. (ed), *Escherichia coli and Salmonella typhimurium-cellular and molecular biology*. American Society for Microbiology, Washington D.C.

Yamamori,T. and Yura,T. (1982), Genetic control of heat-shock protein synthesis and its bearing on growth and thermal resistance in *Escherichia coli* K-12. *Proc. Natl. Acad. Sci. USA*, 79, 860-864.

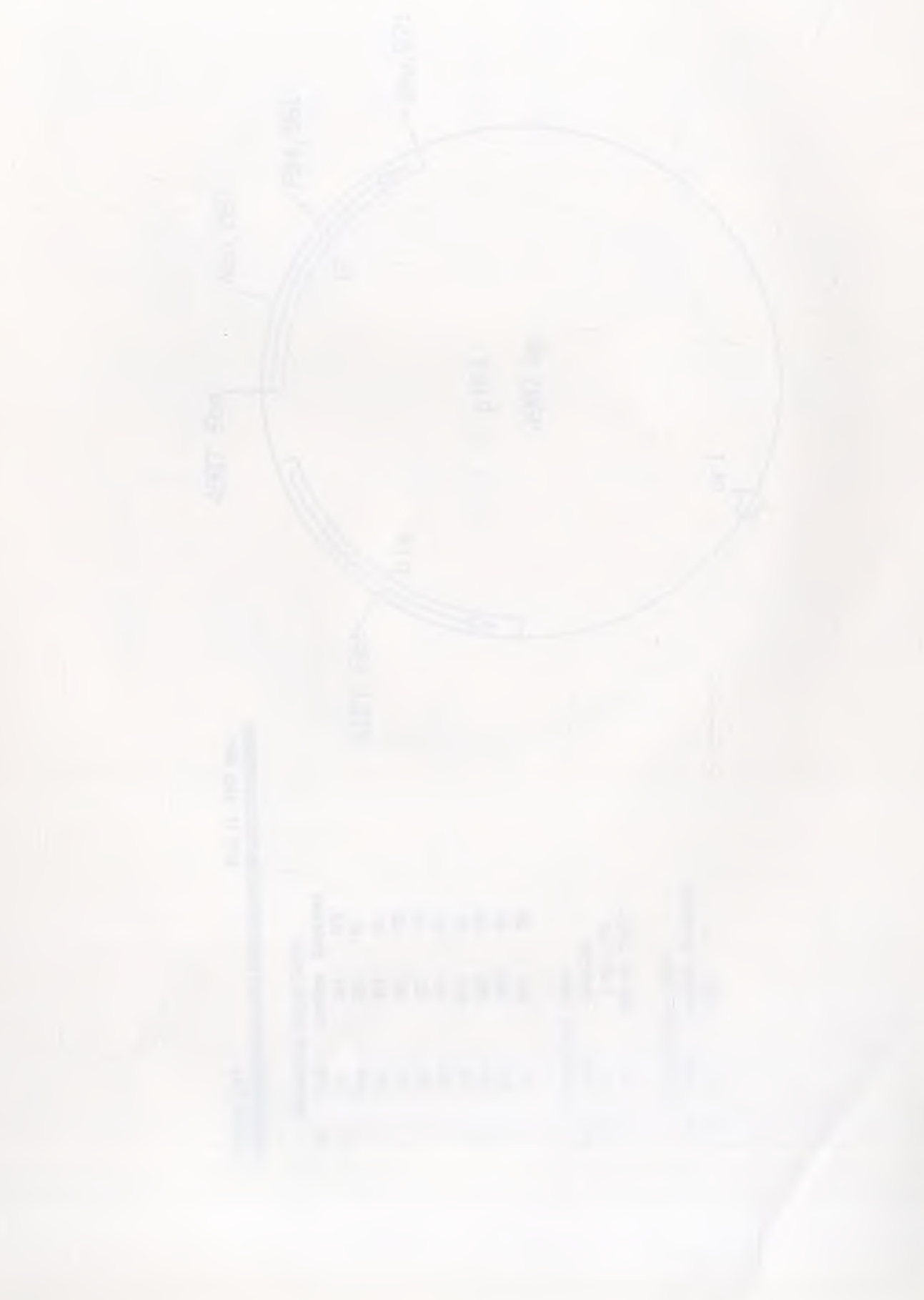
Yanisch-Perron,C., Vieira,J., and Messing,J.,(1985), Improved M13 cloning vectors and host strains: nucleotide sequences of the M13mp18 and pUC19 vectors. *Gene* 33, 103-119.

Yanofsky, C., Kelley, R.L. and Horn, V. (1984), Repression is relieved before attenuation in the *trp* operon of *Escherichia coli* as tryptophan starvation becomes increasingly severe. J. Bacteriology, 158, 1018-1024.



§. DODATAK

## 8.1. FIZIČKE MAPE PLAZMIDA



Plasmid: pIF4  
Size is 4907 bps.

4907, Eco



Restriction Enzyme Table:

No.	Name	Location	Displayed
1	Nco	268	YES
2	Hinc	351	NO
3	Pvu	555	NO
4	Pst	561	YES
5	Sau	921	YES
6	Hinc	1197	NO
7	Pvu	2613	NO
8	Pst	4157	YES
9	Hinc	4453	NO
10	Eco	4907	YES

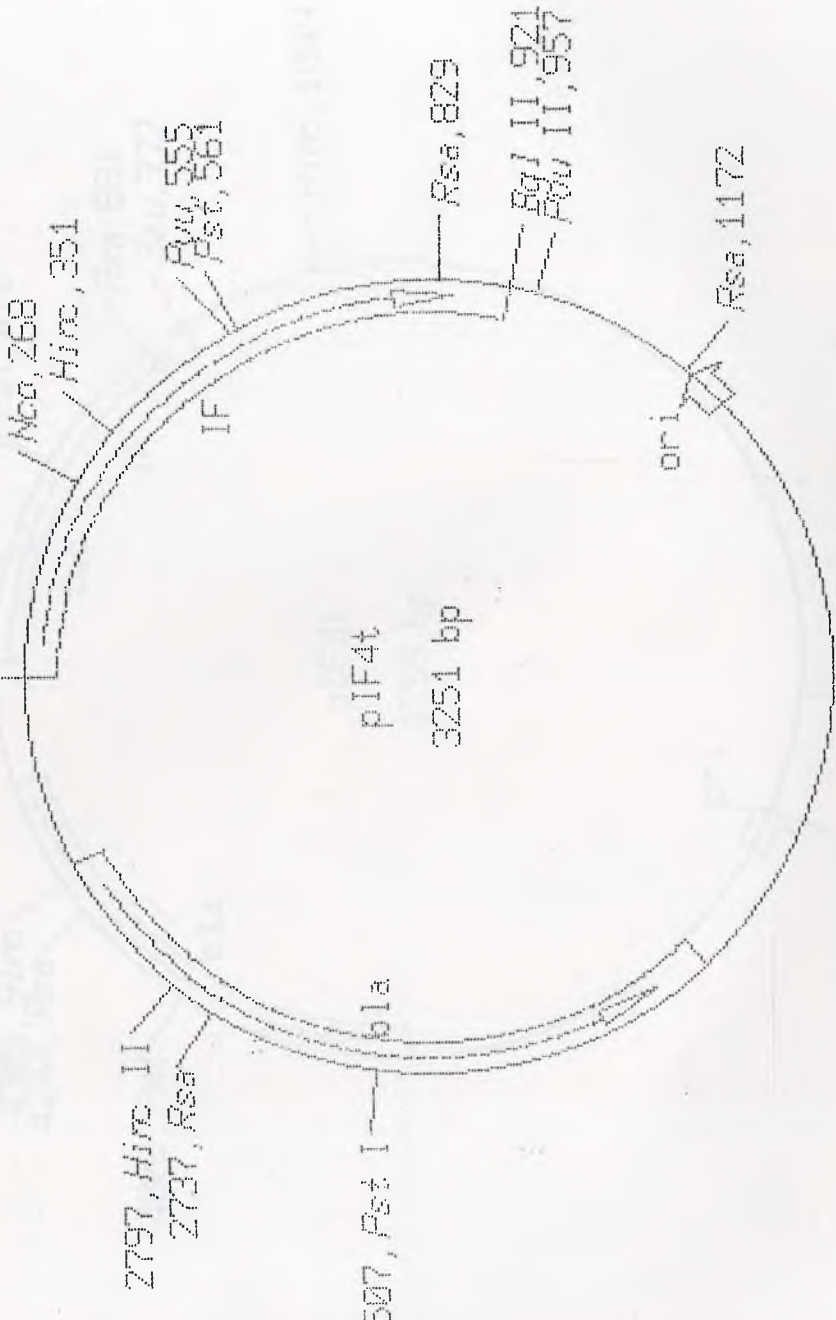
Plasmid Genes Table:

No.	Name	Location
1	IF	1 to 921
2	bla	4675 to 3707

Plasmid Markers Table:

No.	Name	Location	Direction
1	cri	2654	<=

3249, Eco RI



Restriction Enzyme Table:

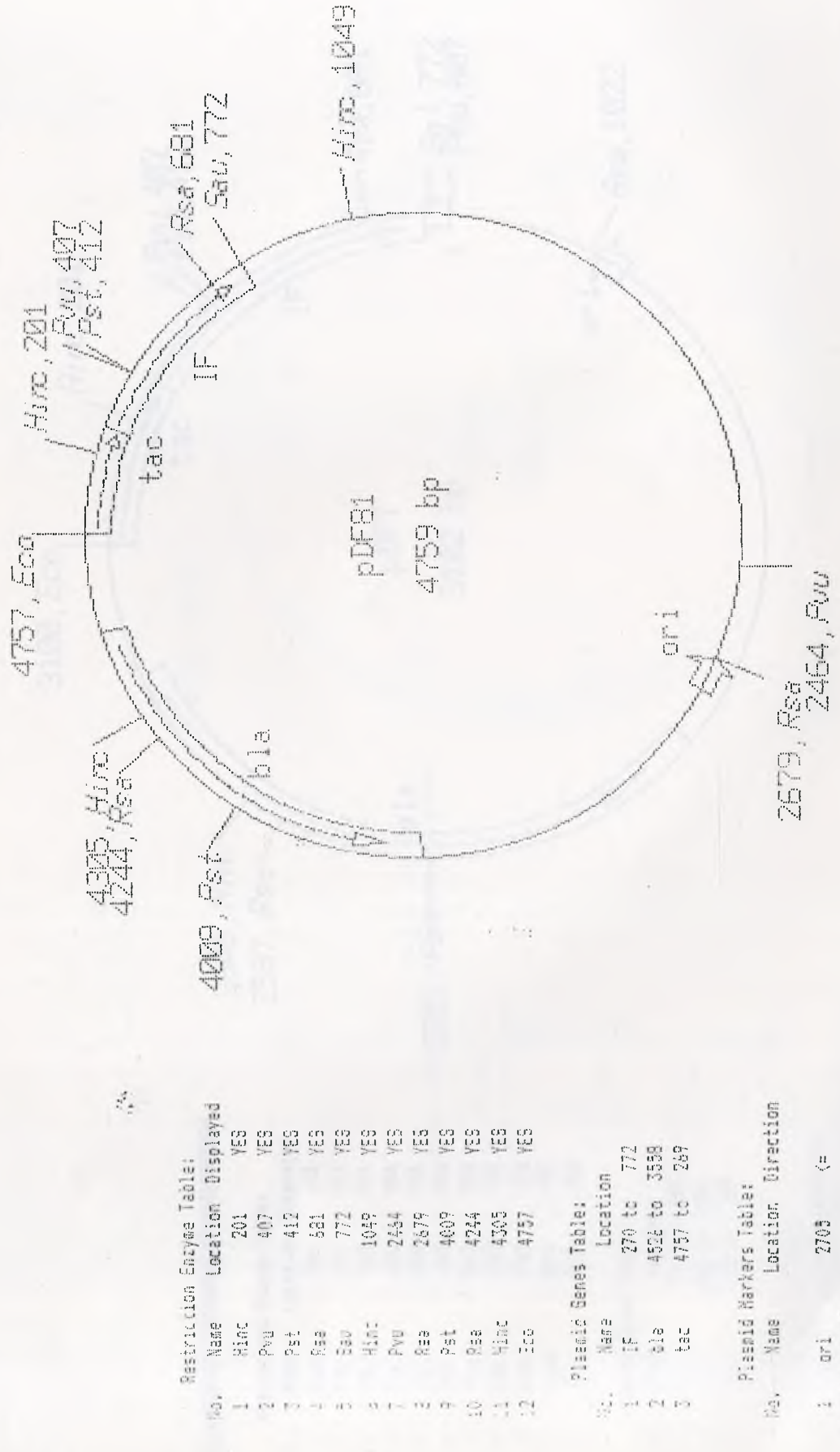
No.	Name	Location	Displayed
1	NEO	268	YES
2	Hinc	351	YES
3	Rsa I	555	YES
4	Pst I	561	YES
5	Hpa I	829	YES
6	Hpa II	921	YES
7	Frt I	957	YES
8	Frt I	957	YES
9	DNA I	2607	YES
10	Rsa I	2737	YES
11	DNA I	2737	YES
12	DNA I	3249	YES

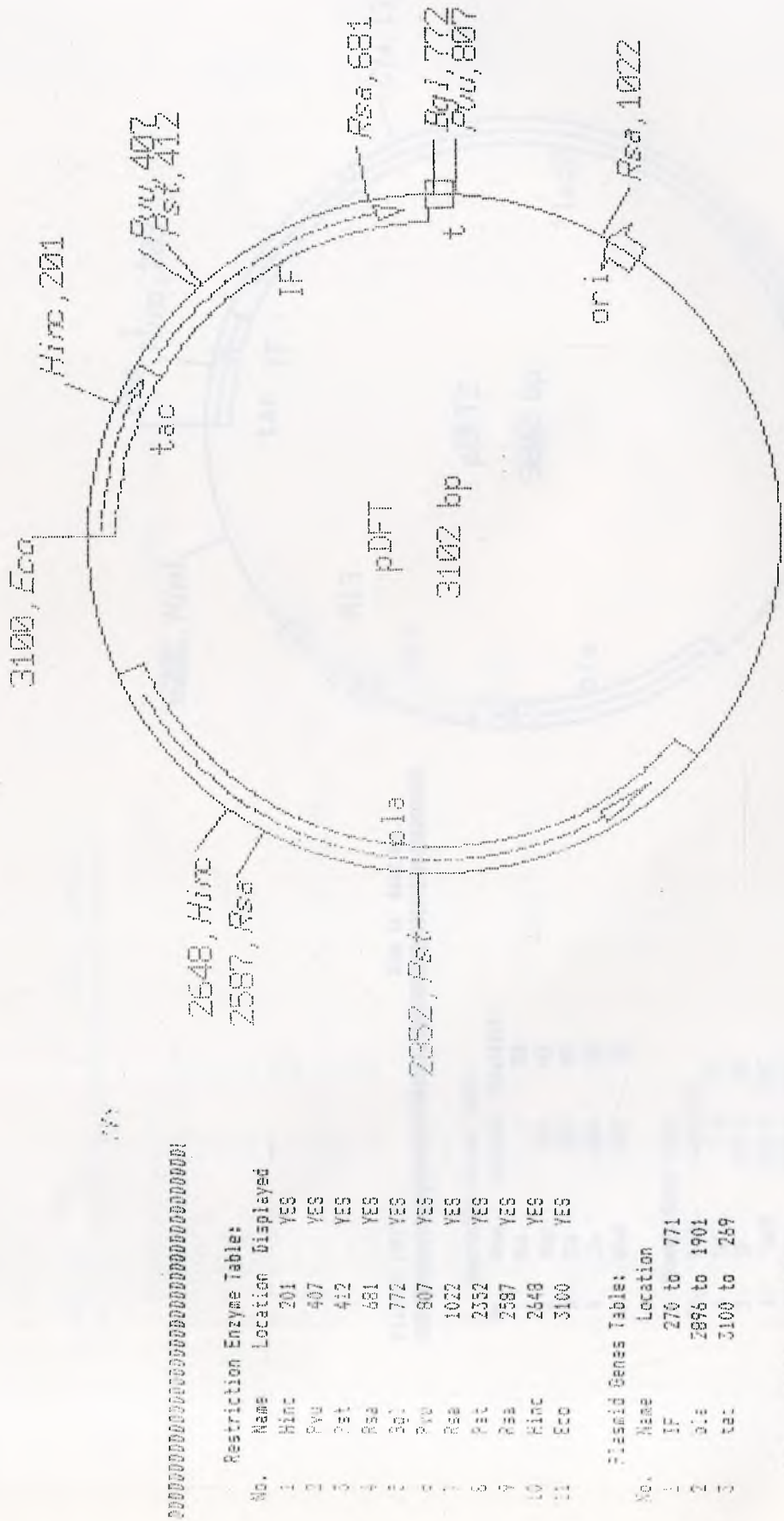
Plasmid Genes Table:

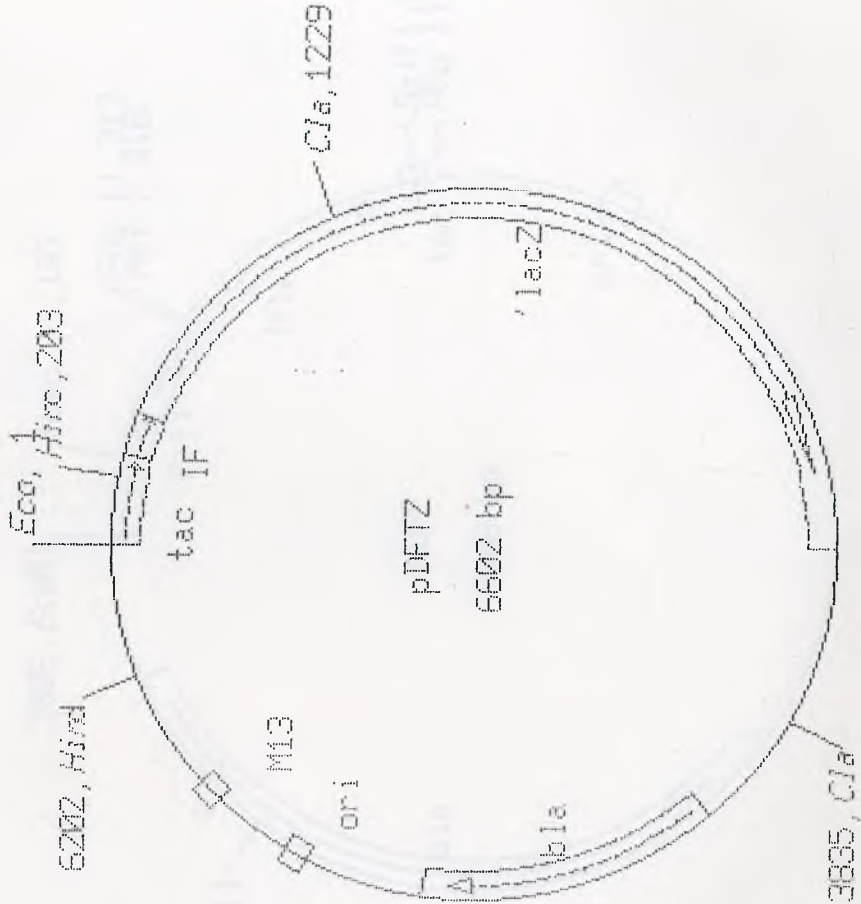
No.	Name	Location	Direction
1	ori	1 to 921	=
2	bla	3061 to 2051	=

Plasmid markers Table:

No.	Name	Location	Direction
1	ori	1 to 921	=







Plasmid: pLFTZ  
Size is 6602 bp.

Restriction Enzyme Table:

No.	Name	Location	Displayed
1	Eco	1	YES
2	Hinc	203	YES
3	Cla	1229	YES
4	Cla	3835	YES
5	Hind	4202	YES

Plasmid Genes Table:

No.	Name	Location
1	tac	1 to 271
2	IF	272 to 409
3	'lacZ	410 to 3301
4	bla	4205 to 5105

Plasmid Markers Table:

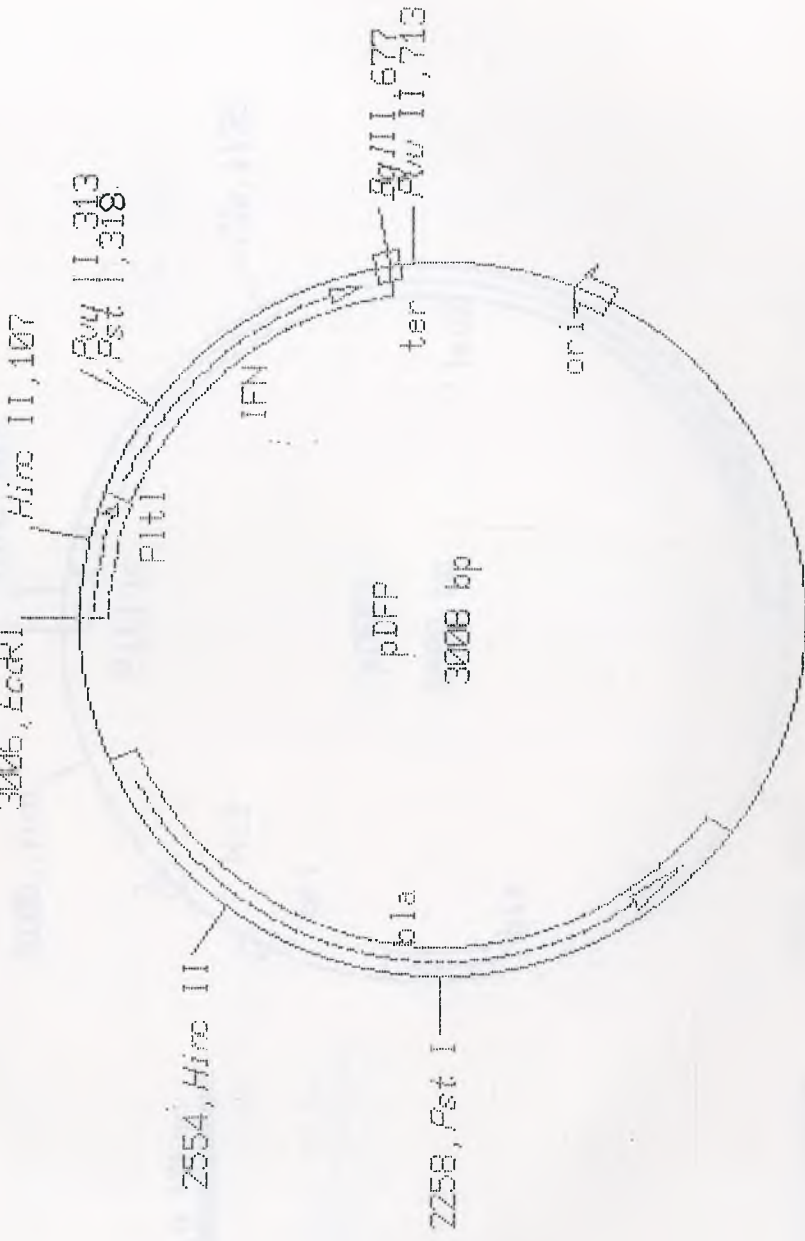
No.	Name	Location	Direction
1	ori	5490	"
2	M13	5770	"

Plasmid: pDFF  
Size is 3008 bp.

Restriction Enzyme Table:

No.	Name	Location	Displayed
1	Hinc II	107	YES
2	Pvu II	313	YES
3	Pst I	318	YES
4	Bgl II	677	YES
5	Pvu II	713	YES
6	Pst I	2258	YES
7	Hinc II	2554	YES
8	EcoRI	3006	YES

Restriction Enzyme Table:

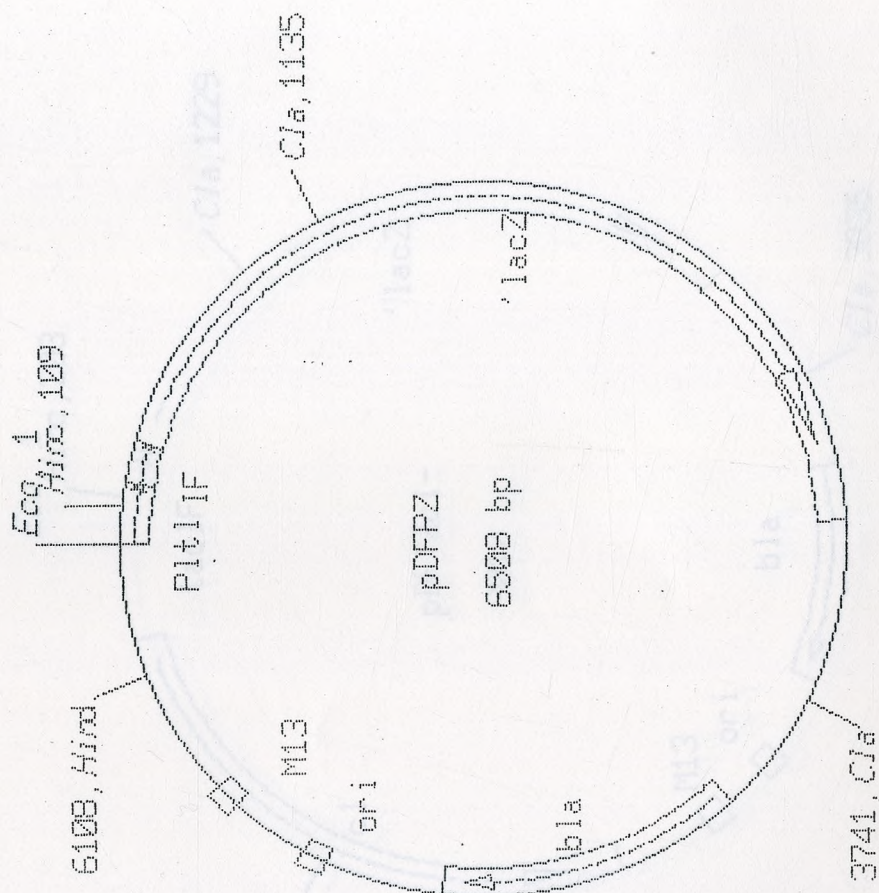


Plasmid Genes Table:

No.	Name	Location
1	IFN	176 to 577
2	b1a	2804 to 1809
3	Pst I	3006 to 175

Plasmid Markers Table:

No.	Name	Location	Direction
1	ter	650	-
2	ori	946	=



Plasmid: pDPFZ  
 Size is 6508 bp.

Restriction Enzyme Table:

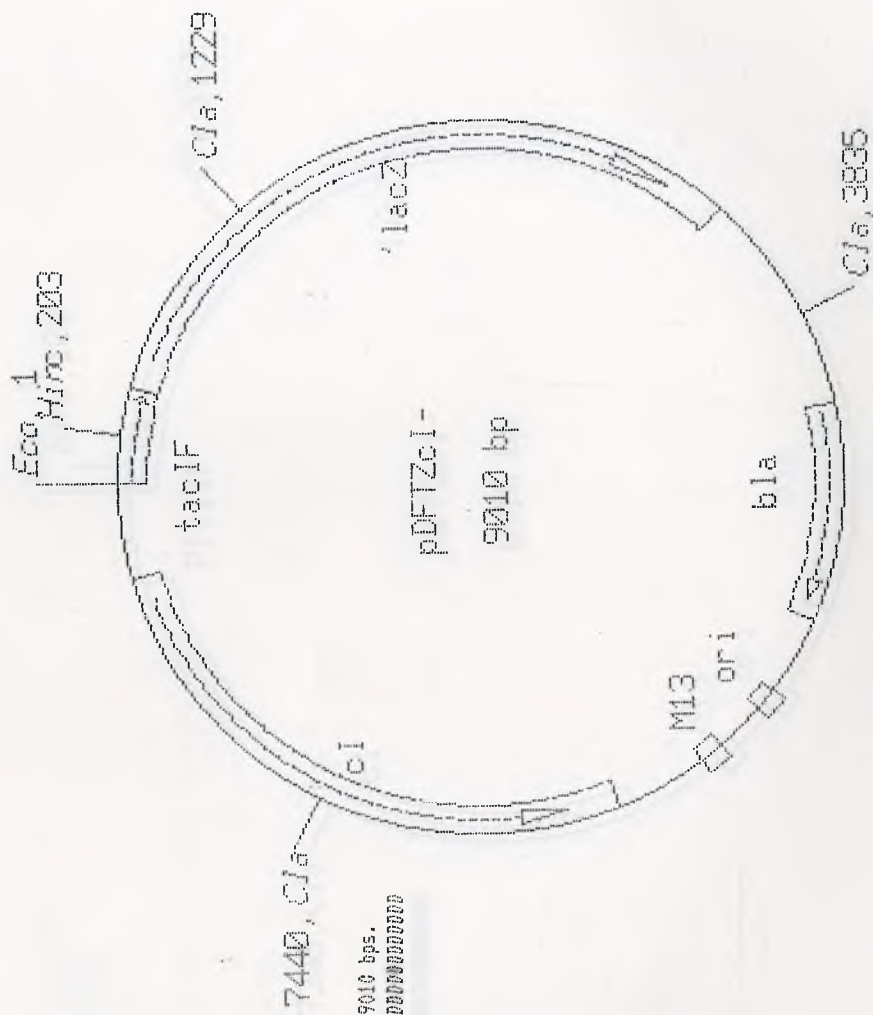
No.	Name	Location	Displayed
1	Eco	1	YES
2	Hinc	109	YES
3	Cla	1135	YES
4	Cla	3741	YES
5	Hind	6108	YES

Plasmid Genes Table:

No.	Name	Location
1	PstI	1 to 177
2	IF	178 to 315
3	'lacZ	316 to 3207
4	bla	4111 to 5011

Plasmid Markers Table:

No.	Name	Location	Direction
1	ori	5396	"
2	M13	5666	"



Plasmid: pBFT1-  
Size is 9010 bps.

ESTERIFICATION ENZYME TABLE

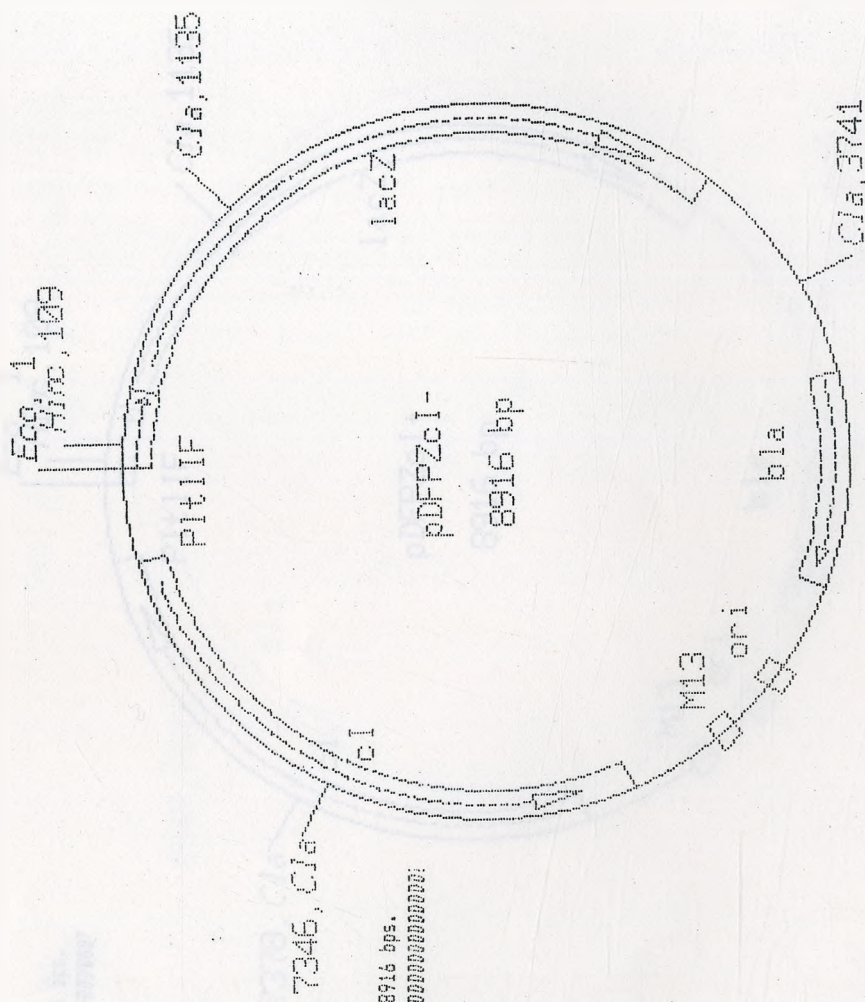
Name	Location	Displayed
1 ECO	1	YES
2 Hinc	203	YES
3 C1a	1229	YES
4 C1a	3835	YES
5 C1a	7440	YES

卷之三

NO.	Name	Location
1	tacif	1 to 409
2	'laci	410 to 3301
3	bla	4205 to 5105
4	cl	8602 to 6216

卷之三

No.	Name	Location	Direction
1	Ori	5470	W
2	M13	5770	N



Plasmid Enzyme Table:

No.	Name	Location	Displayed
1	Eco	1	YES
2	Hinc	109	YES
3	Cla	1135	YES
4	Cla	3741	YES
5	Cla	7346	YES

Plasmid Genes Table:

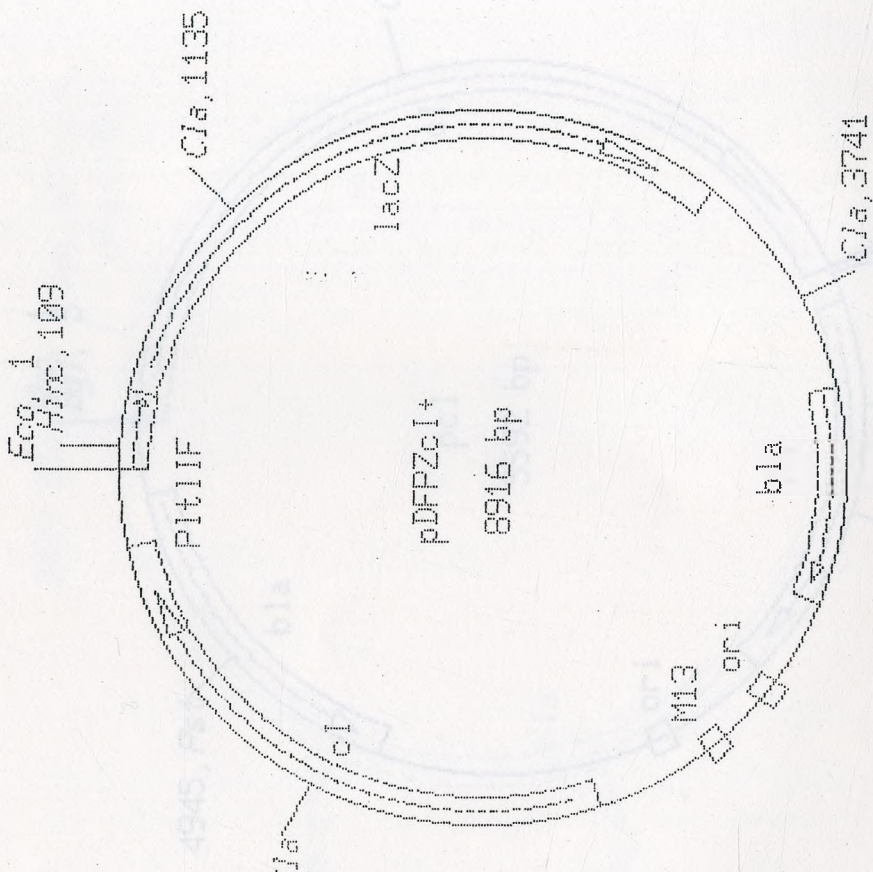
No.	Name	Location
1	PstI IF	1 to 315
2	LacZ	316 to 3207
3	bla	4111 to 5011
4	cI	8508 to 6112

Plasmid Markers Table:

No.	Name	Location	Direction
1	ori	535	*
2	M13	556	*

Plasmid: pDFFP1C1+

Size is 8916 bps.



Restriction Enzyme Table:

No.	Name	Location	Displayed
1	Eco	1	YES
2	Hinc	109	YES
3	Cla	1135	YES
4	Cla	3741	YES
5	Cla	7378	YES

Plasmid Genes Table:

No.	Name	Location
1	PstIIF	1 to 315
2	lacZ	316 to 3207
3	bla	4111 to 5011
4	cl	6216 to 8602

No.	Name	Location	Direction
1	ori	5396	-
2	M13	5696	-

Plasmid Markers Table:

No.	Name	Location	Direction
1	ori	5396	-
2	M13	5696	-

Plasmid: pCI  
Size is 5592 bps.

Plasmid: pCI  
Size is 5592 bps.

Restriction Enzyme Table:

No.	Name	Location	Displayed
1	Xba	1	YES
2	Bgl	5	YES
3	Cla	1142	YES
4	Bgl	2401	YES
5	Xba	2406	YES
6	Cla	2423	YES
7	Bam	2771	YES
8	Eco	3050	YES
9	Pst	4945	YES

Plasmid Genes Table:

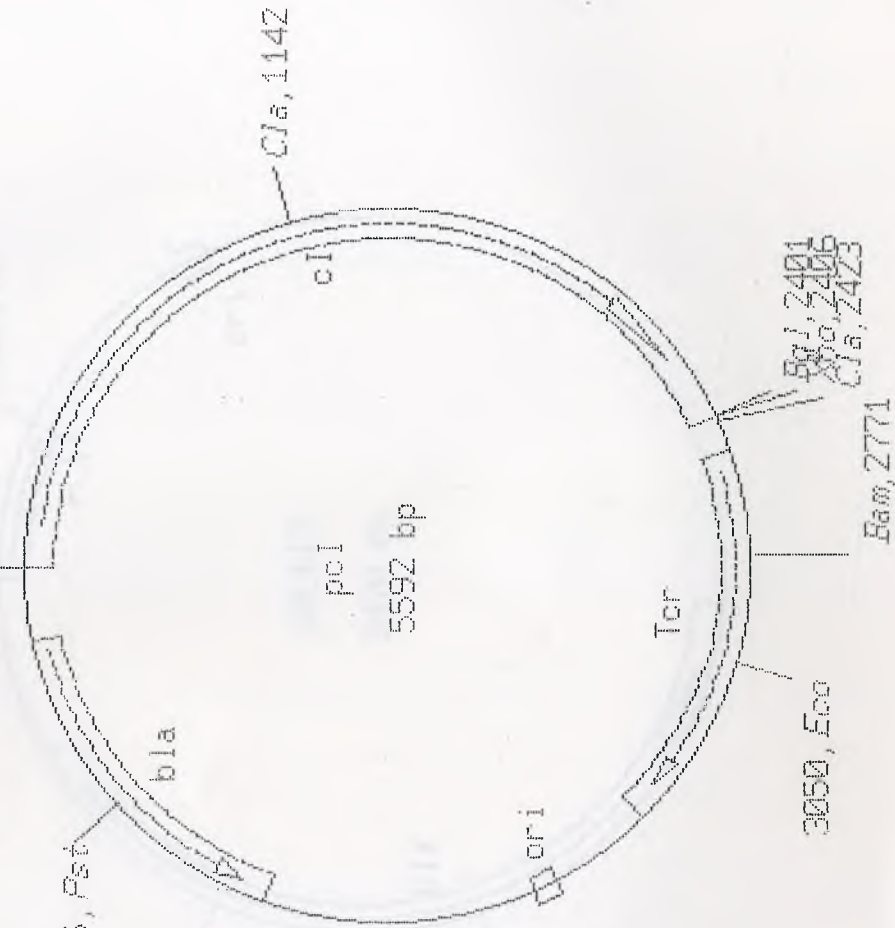
No.	Name	Location
1	cI	5 to 2401
2	Tcr	2500 to 3500
3	bla	5400 to 4500

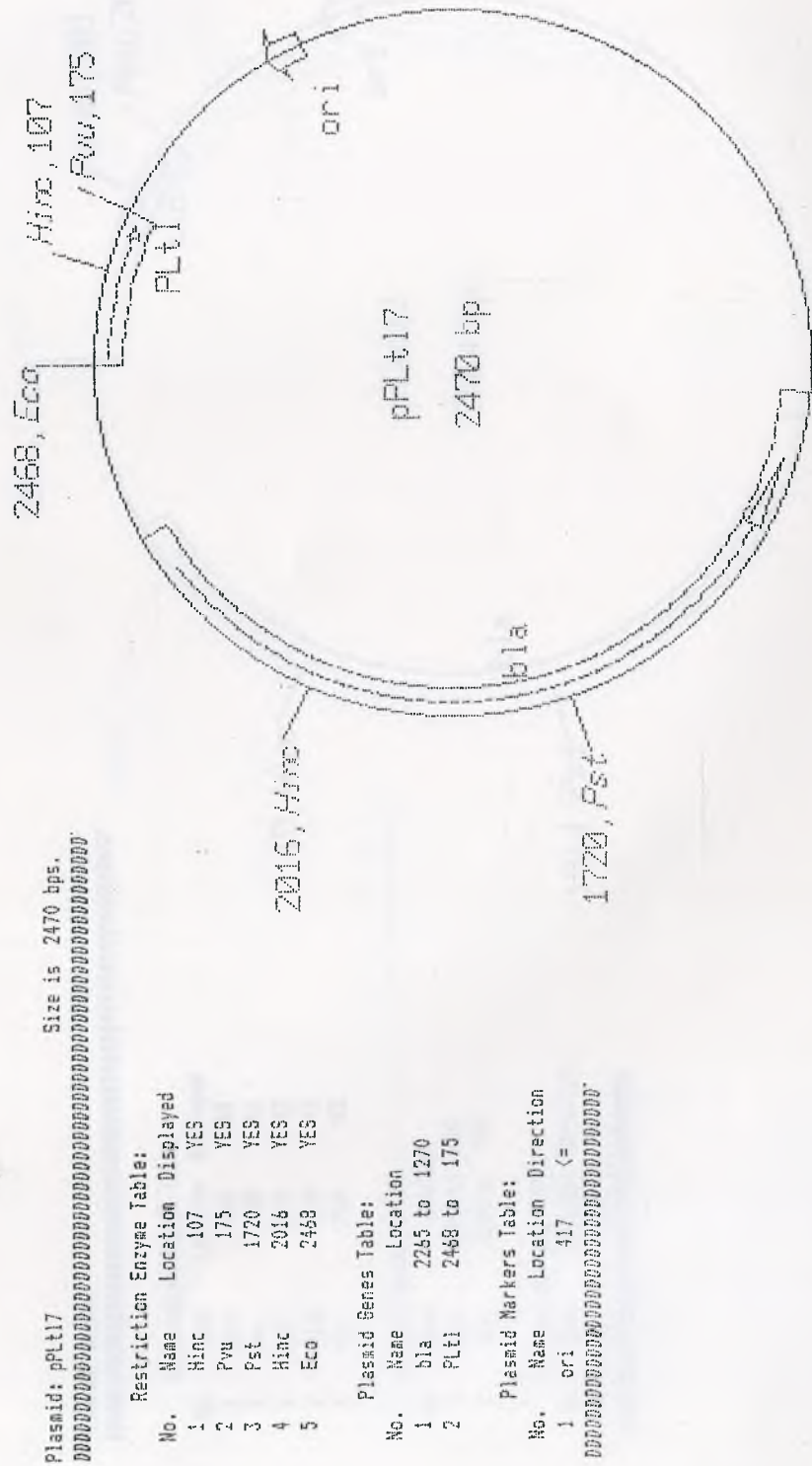
Plasmid Markers Table:

No.	Name	Location	Direction
1	ori	3795	"

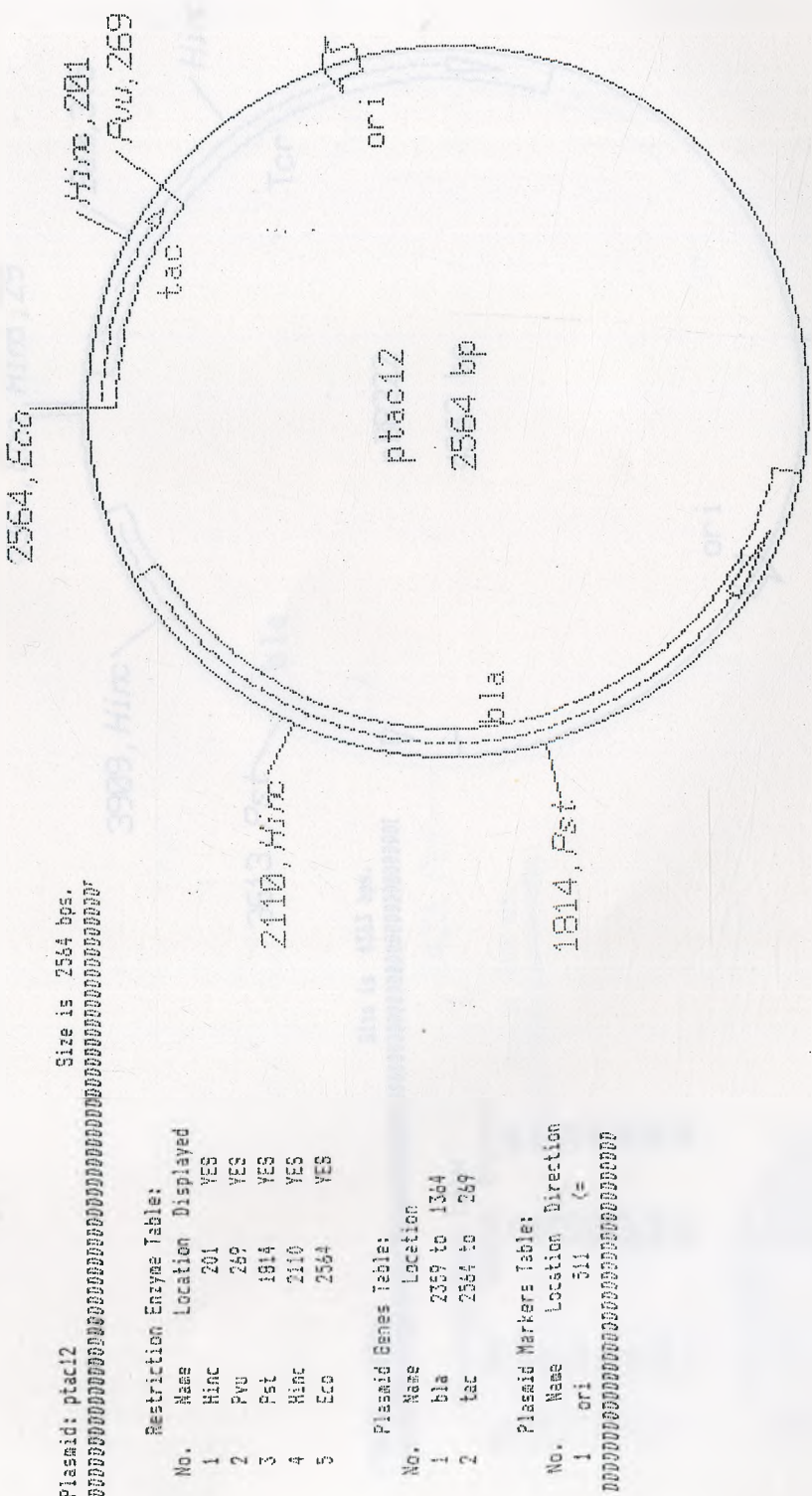
Plasmid: pCI  
Size is 5592 bps.

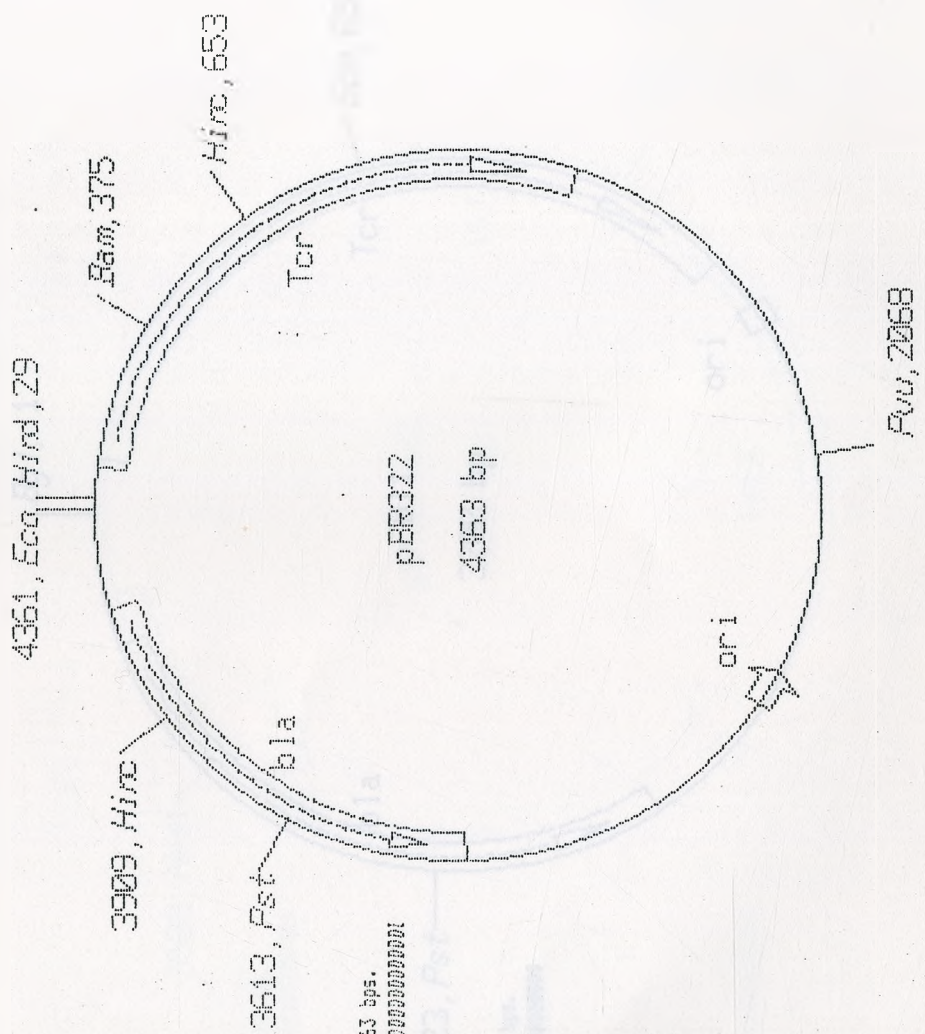
Plasmid: pCI  
Size is 5592 bps.





Plasmid: pPLt17 Size is 2470 bps.





Plasmid: pBR322 Size is 4363 bps.

—  
0.0  
0.04  
0.07  
0.1  
0.14  
0.17  
0.2  
0.24  
0.27  
0.3  
0.34  
0.37  
0.4  
0.44  
0.47  
0.5  
0.54  
0.57  
0.6  
0.64  
0.67  
0.7  
0.74  
0.77  
0.8  
0.84  
0.87  
0.9  
0.94  
0.97  
1.0

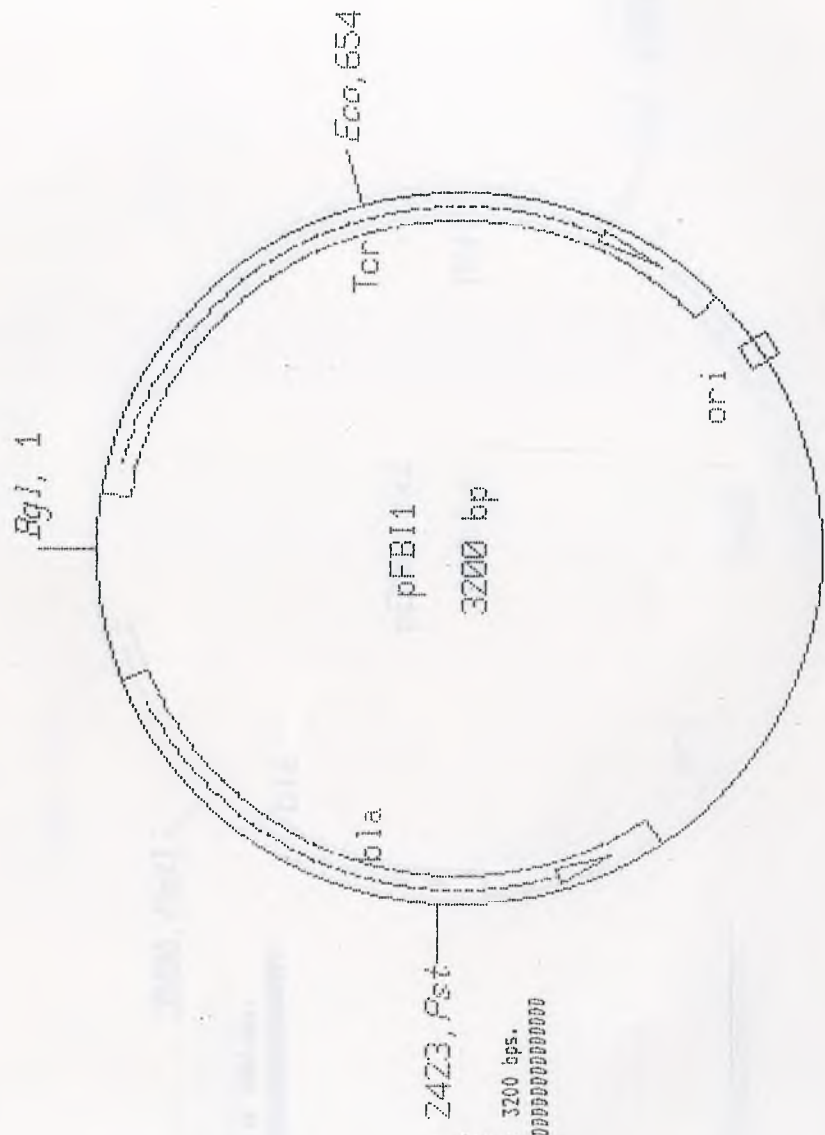
No.	Name	Location	Display
1	Hind	27	YES
2	Bao	375	YES
3	Hinc	653	YES
4	Pyu	2068	YES
5	Pst	3643	YES
6	Hinc	3909	YES
7	Eco	4561	YES

#### PiggyBac Genes Tablets

No.	Name	Location
1	Tcr	80 to 1320
2	bla	4160 to 3260

Plasmid Markers Table:

No. Name Location Direction  
1 cri 2540 ←  
aaaaaaaaaaaaaaaaaaaaaaaaaaaaaaaaaaaaaaa



File No. 44-11884-1  
FBI File No. 44-11884-1  
Size is 320 GDS.

#### **Restriction Enzyme Table**

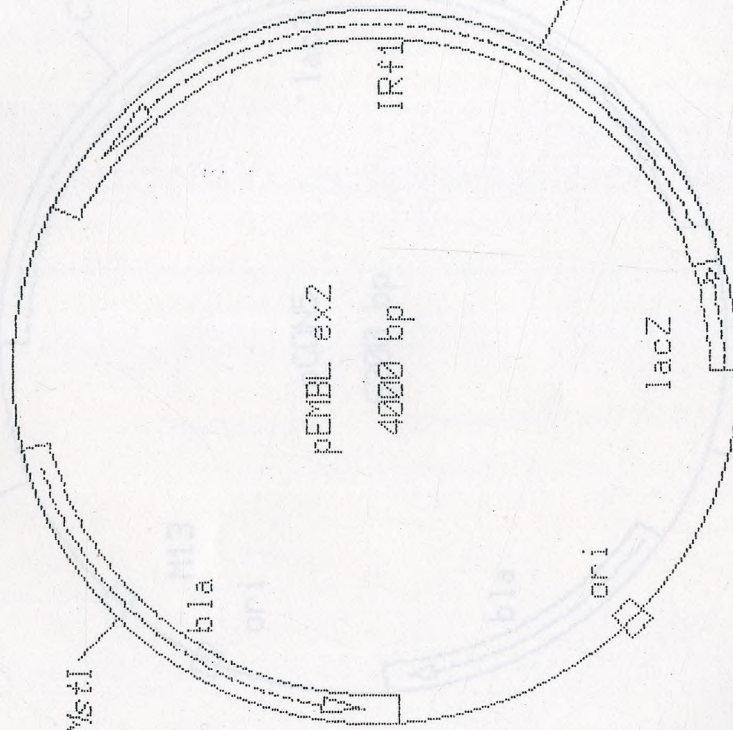
Age	Name	Location	Dispersion	YES
1	Bob	1	YES	1
2	Eco	2	YES	2
3	Joe	3	YES	3
4	Sam	4	YES	4
5	Sue	5	YES	5
6	Tony	6	YES	6
7	Wendy	7	YES	7
8	Zack	8	YES	8

Genetics

WING.	Name	Location
1	Ter	80 to 1200
2	bla	3000 to 2100

#### Plasmid Markers Table:

No. Name Location Direction  
1 ori 1300



Plasmid: pEMBL ex2  
 Size is 4000 bps.

Restriction Enzymes Table:

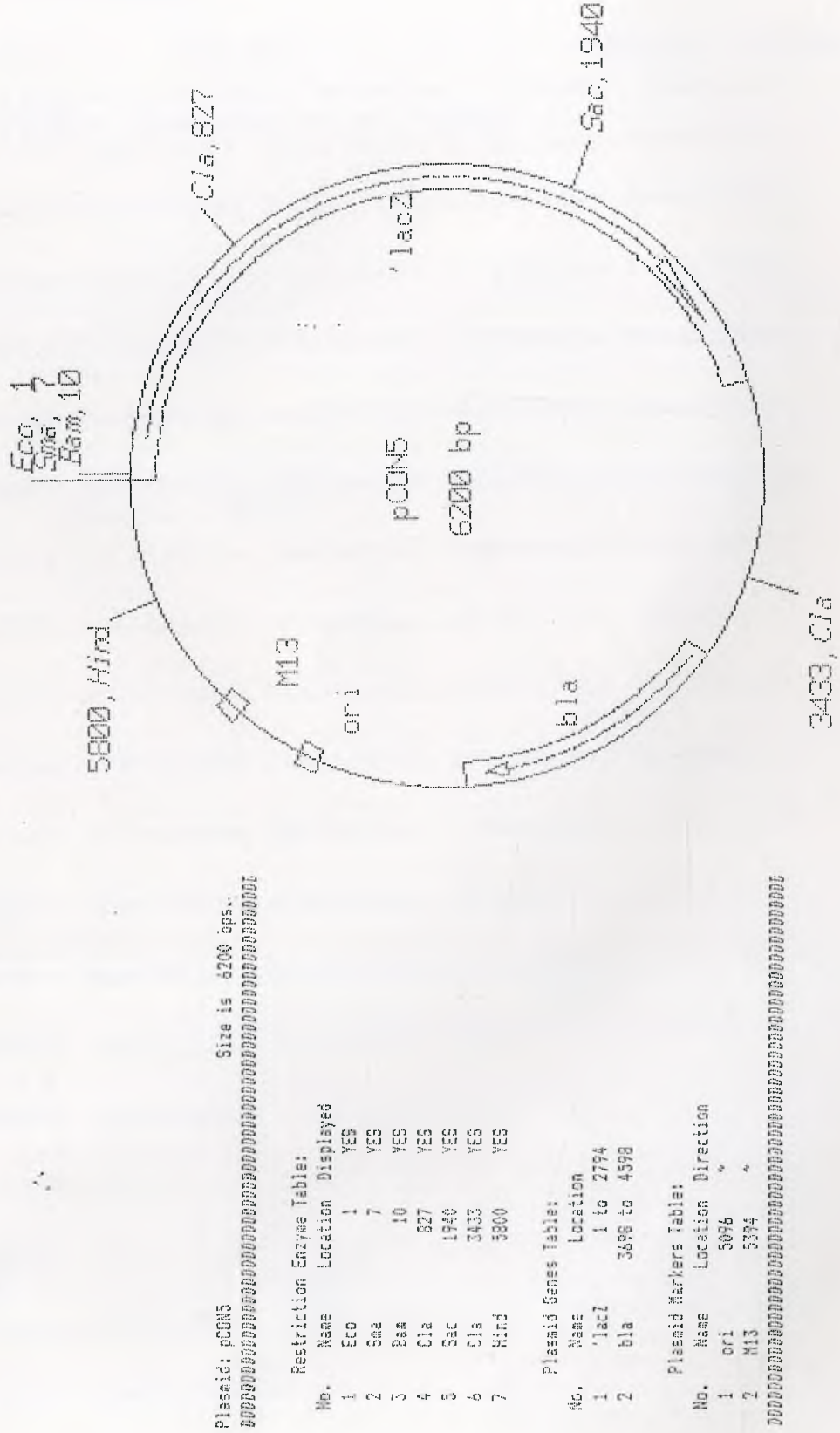
No.	Name	Location	Displayed
1	ClaI	1300	YES
2	MstI	3500	YES

Plasmid Genes Table:

No.	Name	Location
1	IRf1	1800 to 300
2	lacZ	2000 to 1800
3	bla	3850 to 2950

Plasmid Markers Table:

No.	Name	Location	Direction
1	ori	2550	"





HUMAN  $\beta$ -INTERFERON:

LOCUS	IF	921 BP	UPDATED	5/17/89	
LIT.	Lawn et al.(1981), Gross et al.(1981), Degrave et al. (1981), Tavernier et al. (1983).				
1	AATTCTCAGG	TCGTTTGCTT	TCCTTTGCTT	TCTCCCAAGT	CTTGTGTTAC
51	AATTTGCTTT	AGTCATTACAC	TGAAACCTTA	AAAAACATTA	GAAAACCTCA
101	CAGTTTGTAA	ATCTTTTCC	CTATTATATA	TATCATAAGA	TAGGAGCTTA
151	AATAAAGAGT	TTTAGAAACT	ACTAAAATGT	AAATGACATA	GGAAAAACTGA
201	AAGGGAGAAG	TGAAAGTGGG	AAATTCCCTCT	GAATAGAGAG	AGGACCATCT
251	CATATAAATA	<u>G GCCATACCC</u>	<u>ATGGAGAAAG</u>	GACATTCTAA	CTGCAACCTT
		<i>Hae</i> III	<i>Nco</i> I		
301	<del>T</del> CGAAGCCTT	TGCTCTGGCA	CAACAGGTAG	TAGGGGACAC	TGTCGTGTT
	<i>Faq</i> I				
351	<del>G</del> TCAACAT <del>G</del> A	CCAACAAGTG	TCTCCTCCAA	ATTGCTCTCC	TGTTGTGCTT
	<i>Hinc</i> II				
401	CTCCACTACA	GCTCTTCCA	<del>T</del> GAGCTACAA	CTTGCTT <del>G</del> GA	<del>T</del> TCCTACAAA
				<i>Hinf</i> I	
451	GAAGCAGCAA	TTTCAGTGT	CAGAAGCTCC	TGTGGCAATT	GAATGGGAGG
501	CTTGAATACT	GCCTCAAGGA	CAGGATGAAC	TTTGACATCC	CTGAGGAGAT
551	TAAGC <del>A</del> GCTG	<del>C</del> AGCAGTTCC	AGAAGGAGGA	CGCCGCATTG	ACCATCTATG
	<i>Pvu</i> II	<i>Pst</i> I			
601	AGATGCTCCA	GAACATCTTT	GCTATTTCA	<del>G</del> ACAAGAT <del>T</del> C	ATCTAGCACT
				<i>Hinf</i> I	
651	GGCTGGAATG	AGACTATTGT	TGAGAACCTC	CTGGCTAATG	TCTATCATCA
701	GATAAACCAT	CTGAAGACAG	TCCTGGAAGA	AAAACTGGAG	AAAGAAGATT
751	TCACCAGGGG	AAAACTCATG	AGCAGTCTGC	ACCTGAAAAG	ATATTATGGG
801	AGGATTCTGC	ATTACCTGAA	<del>G</del> GCCAAGGAG	TACAGTCACT	GTGCCTGGAC
	<i>Hinf</i> I		<i>Hae</i> III		
851	CATAGTCAGA	GTGGAAATCC	TAAGGAACCTT	TTACTTCATT	AACAGACTTA
901	CAGGTTACCT	CCGAAACTGA	A		

PDF

LOCUS DF81t 809 BP UPDATED 5/17/89  
ORIGIN EcoRI

1 AATTCTCATG TTTGACAGCT TATCATCGAC TGCA CGGTGC ACCA ATGCTT  
~~Tag I~~
  
 51 CTGGCGTCAG GCAGCCATCG GAAGCTGTGG TATGGCTGTG CAGGTCGTA  
  
 101 ATCACTGCAT AATTCTGTGC GCTCAAGGCG CACTCCC GTT CTGGATAATG  
  
 151 TTTTTGCGC CGACATCATA ACGGTTCTGG CAAATATTCT GAAATGAGCT  
  
 -35 -10 ►►►► mRNA  
 201 GTTGACAATT AATCATCGGC TCGTATAATG TGTGGAATTG TGAGCGGATA  
~~Hinc II~~ lac operator  
  
 RBS  
 251 ACAATTCAC ACAGGAAACA GATGAGCTAC AACTTGCTTG GATT CCTAC  
~~MetSerTyr...~~  
  
 301 AAGAACAGC AATTTCACT GTCAAGGCT CCTGTGGCAA TTGAATGGGA  
  
 351 GGCTTGAATA CTGCCTCAAG GACAGGATGA ACTTTGACAT CCCTGAGGAG  
  
 401 ATTAAGCAGC TGCA GGCA GTT CCAGAAGGAG GACGCCGAT TGACCAC TCA  
  
 451 TGAGATGCTC CAGAACATCT TTGCTATTTT CAGACAAGAT TCATCTAGCA  
  
 501 CTGGCTGGAA TGAGACTATT GTTGAGAACCC TCCTGGCTAA TGTCTATCAT  
  
 551 CAGATAAAACC ATCTGAAGAC AGTCCTGGAA GAAAAACTGG AGAAAGAAGA  
  
 601 TTTCACCCAGG GGAAAAGTCA TGAGCAGTCT GCACCTGAAA AGATATTATG  
  
 651 GGAGGATTCT GCATTACCTG AAGGCCAAGG AGTACAGTCA CTGTGCCTGG  
  
 701 ACCATAGTCA GAGTGGAAAT CCTAAGGAAC TTTTACTTCA TTAACAGACT  
  
 751 TACAGGTTAC CTCCGAAACT GAAGATCTAG CCCGCCTAAT GAGCGGGCTT  
  
 801 TTTTTTCAG

*tac* promoter:

LOCUS tacpro 271 BP UPDATED 5/17/89  
ORIGIN EcoRI  
LIT. De Boer (1982)

1 AATTCTCATG TTTGACAGCT TATCATCGAC TGCA~~CGGTGC~~ ACCAATGCTT  
*Taq* I  
51 CTGGCGTCAG GCAGCCATCG GAAGCTGTGG TATGGCTGTG CAGGTCGTA  
101 ATCACTGCAT AATTCTGTGC GCTCAAGGCG CACTCCC GTT CTGGATAATG  
151 TTTTTGCGC CGACATCATA ACGGTCTGG CAAATATTCT GAAATGAGCT  
201 ~~GTTGACAATT~~ <sup>-35</sup> ~~AATCATCGGC~~ <sup>-10</sup> ~~TCGTATAATG~~ ~~TGTGGAATTG~~ ~~TGAGCGGATA~~  
*Hinc* II ~~lac operator~~ ~~mRNA~~  
251 <sup>RBS</sup> ACAATTTCAC ACAGGAAACA G

P<sub>L</sub> promoter:

LOCUS plpro 356 BP UPDATED 5/17/89  
ORIGIN EcoRI  
LIT. Horn and Wells (1981 a,b)

1 AATTCCCTCAG CGCCGGGTTT TCTTGCCTC ACGATGCC CCAAAACACA  
51 TAACCAATTG TATTATTGA AAAATAAATA GATACAACTC ACTAACATA  
101 GCAATTCAG A TCTCTCACCT ACCAAACAAT GCCCCCCTGC AAAAAATAAA  
*Bgl*II Ol<sub>3</sub> Ol<sub>2</sub>  
151 TTCATATAAA AACATACAG ATAACCACAG ATAAACCATCT GCGGTGATAA ATTATCTCTG  
Ol<sub>2</sub> -35- Ol<sub>1</sub> ►►►► mRNA  
201 GCGGTGTTGA CATAAATACC ACTGGCGGTG ATACTGAGCA CATCAGCAGG  
*Hinc*II  
251 AC<sub>2</sub>GGCACTGAC CACCATGAAG GTGACGCTCT TAAAAATTAA GCCCTGAAGA  
301 AGGGCAGCAT TCAAAGCAGA AGGCTTG<sub>2</sub>GG GTGTGTGATA CGAACGAAG

